

# VSTŘÍC VI. SJEZDU SVAZARMU

Pod vedením KSČ za další úspěchy Svazarmu při budování a obraně socialistické vlasti

ŘADA B  
PRO KONSTRUKTÉRY

ČASOPIS  
PRO ELEKTRONIKU  
A AMATÉRSKÉ VYSÍLÁNÍ  
ROČNÍK XXVII/1978 ČÍSLO 3

## V TOMTO SEŠITĚ

Vstříc VI. sjezdu Svazarmu	81
Zajímavá a praktická zapojení 11 stabilizovaných zdrojů, napáječe, regulátory, měniče, indikátory stavu baterií	82
Stabilizovaný zdroj 0 až 38 V	82
Stabilizátor malých napětí	84
Rízení stejnosměrných motorů	85
Nf technika, doplňky elektronických hudebních nástrojů	86
Indikátory přebuzení	87
Trikové obvody pro elektronickou kytaru	89
Nf generátory	91, 93
Elektronické hry	93
Elektronické „tahání sirek“	93
Kolotoč	94
Číslicová technika	95
Jednoduchý generátor časových značek	95
Konvertor analogových veličin	96
Různé aplikované elektronika	96
Regulace motorů u modelů řízených radiem	96
Přístroj ke kontrole nastavené teploty	97
Zajímavé integrované obvody	97
Časovač 555 (556)	97
Nf zesilovač TDA2002	99
Nf zesilovač TDA2020	100
Dekodér 1310	101
Operační zesilovače $\mu A739$ a $\mu A749$	103
Operační zesilovače ZN424, LM3900	104
Napěťový regulátor SG1501A	106
TCA440	107
Konstrukční část	
Předzesilovač pro přenosku	107
Otáčkoměry	111
Úpravy zesilovače TEXAN	115

## AMATÉRSKÉ RADIO ŘADA B

Vydává ÚV Svazarmu ve vydavatelství Magnet, Vladislavova 26, PSČ 113 66 Praha 1, telefon 26 06 51-7. Šéfredaktor ing. F. Smolík, zástupce Luboš Kaloušek. Redakční rada: K. Bartoš, V. Brzák, K. Donát, A. Glanc, I. Harminc, L. Hlinský, P. Horák, Z. Hradský, ing. J. T. Hyán, ing. J. Jaroš, doc. ing. dr. M. Joachim, ing. Jan Klábal, RNDr. L. Kryška, PhDr. E. Křížek, ing. I. Lubomírský, K. Novák, ing. O. Petráček, ing. J. Vackář, CSc., laureát st. ceny KG, ing. J. Zíma, J. Ženíšek, laureát st. ceny KG. Redakce Jungmannova 24, PSČ 113 66 Praha 1, telefon 26 06 51-7, šéfred. linka 354, redaktor I. 353. Ročně vyjde 6 čísel. Cena výtisku 5 Kčs, celoroční předplatné 30 Kčs. Rozšiřuje PNS, v jednotkách ozbrojených sil vydavatelství Magnet, administrace Vladislavova 26, Praha 1. Objednávky přijímá každá pošta i doručovatel. Dohledací pošta Praha 07. Objednávky do zahraničí vyřizuje PNS, vývoz tisku, Jindřišská 14, Praha 1. Tiskne Naše vojsko, n. p. závod 08, 162 00 Praha 6-Liboc, Vlastina 710. Inzerce přijímá vydavatelství Magnet, Vladislavova 26, PSČ 113 66 Praha 1, telefon 26 06 51-7, linka 294. Za původnost a správnost příspěvku ručí autor. Návštěvy v redakci a telefonické dotazy pouze po 14. hodině. Číslo indexu 46044.

Toto číslo mělo vyjít podle plánu 17. 5. 1978.

© Vydavatelství MAGNET, Praha

Jak jsme si uvedli v minulém čísle, sjezd každé organizace je určitým mezníkem v jejím vývoji, v celé její činnosti, neboť na sjezdu se přijímá program organizace na příští období. Proto předsjezdová doba by měla být pro všechny členy organizace, jejíž sjezd je oznámen, obdobím zvýšené aktivity, údobím, v němž vyvrcholí činnost mezi dvěma sjezdy, údobím, v němž se jednak završí úkoly dané minulým sjezdem a jednak „přidává něco navrch“ – v našem případě, před sjezdem Svazarmu, je třeba dosáhnout vyšší kvality činnosti, lepších než předpokládaných výsledků, patřičné komplexnosti v obsahu i formách naplňování funkce Svazarmu.

To vše závisí především na iniciativě členů organizace – členů Svazarmu. Již sám socialismus ve kterém lidé vědí, že pracují sami pro sebe a nikoli pro vykořisťovatele, že plány, které uskutečňují, jsou současně plány zabezpečující jejich zájmy a potřeby, podněcuje iniciativu lidí a probouzí jejich pracovní i občanskou aktivitu. To však vůbec neznamená, že jde o nějaký samočinný, automatický proces či o živelnost. Vždyť hovoříme-li o iniciativě jako o jednom z významných zdrojů bohatství, pak je třeba s tímto zdrojem cílevědomě, uvážlivě a pečlivě nakládat, neboť právě tento zdroj se dotýká lidí, jejich vztahu ke společnosti, k práci a k životu.

Proto předsednictvo ÚV Svazarmu v souladu s úkoly vyplývajícími ze závěrů XV. sjezdu KSČ pro naši brannou organizaci doporučuje zaměřit rozvoj iniciativy a aktivity členů a organizací Svazarmu před nastávajícím VI. sjezdem Svazarmu, který se koná v prosinci tohoto roku, především k těmto hlavním úkolům:

1. Pod vedením KSČ zvyšovat společenské poslání Svazarmu a prohlubovat spolupráci s ostatními organizacemi Národní fronty.

Společenské poslání Svazu pro spolupráci s armádou jako branné vlastenecké organizace pracujícího lidu spočívá v aktivní pomoci při upevňování obranné schopnosti země a v branné výchově občanů v souladu s programem vojenské politiky KSČ, usnesením orgánů strany a směrnicemi vlády. Aby se tedy dále upevňovalo společenské postavení Svazarmu a aby se zvýšil jeho vliv na široké vrstvy obyvatelstva včetně mládeže, doporučuje předsednictvo ÚV Svazarmu zaměřit pozornost v předsjezdové kampani k těmto požadavkům:

- ve veškeré činnosti důsledně vycházet z úkolů a požadavků politiky KSČ a rozpracovávat je do podmínek činnosti Svazarmu; sjednocovat členy organizace kolem KSČ a získávat je k aktivní účasti na realizaci jejího programu; pravidelně informovat stranické orgány o stavu svazarmovské činnosti a opírat se o jejich pomoc;
- zvyšovat účast a angažovanost svazarmovců na rozvoji společenského života v mís-

tech působení. Ve spolupráci se složkami Národní fronty se podílet na plnění volebních programů, zapojovat členy Svazarmu do veřejné činnosti, pomáhat poslancům zastupitelských orgánů při výkonu jejich funkcí a využívat spolupráce s nimi k dalšímu rozvoji branné výchovy ve Svazarmu. Aktivně se účastnit oslav významných jubileí (1. máj, Den osvobození apod.) a dalších významných ideově politických akcí;

- zlepšovat a rozvíjet spolupráci s útvary ČSLA, ministerstva vnitra a Lidových milic s cílem zesílit společenské úsilí v oblasti branné přípravy, v přípravě branců a záloh, v přípravě obyvatelstva k civilní obraně apod. Objašňovat především mladým lidem úlohu a místo ČSLA v rámci naší společnosti i v rámci armád států Varšavské smlouvy;
- zesílit a zkvalitnit metodickou pomoc v branné výchově školám, národním výbo-

rům, podnikům a společenským organizacím. Mimořádnou pozornost věnovat spolupráci s orgány a organizacemi SSM a PO SSM a rozšiřovat vliv i na neorganizovanou mládež. Věnovat větší péči školení instruktorů, cvičitelů, rozhodčích a organizátorů pro potřeby organizací SSM a PO SSM a podle možnosti těmto organizacím poskytovat i materiální pomoc;

- na počest VI. sjezdu Svazarmu získávat za kolektivní členy organizace školy, závody, JZD, případně i společenské organizace;
- k propagaci branné sportovních a technických činností Svazarmu organizovat v obcích, městech a na závodech „Dny Svazarmu“ a spojit je s výstavkami a ukázkami činnosti jednotlivých odborností Svazarmu.

Při plnění tohoto prvního hlavního úkolu pro rozvoj iniciativy a aktivity před VI. sjezdem Svazarmu by měl pro radioamatéry být nejnázřejší splnitelný poslední bod – seznámit veřejnost s obsahem

i formami radioamatérské činnosti, s radioamatérskými sporty a s vysíláním. Tyto činnosti jsou totiž samy o sobě velmi atraktivní, i když náročné na čas a většinou i na materiální zabezpečení. A právě tady by se daly využít i další podněty z ostatních bodů tohoto prvního hlavního úkolu pro rozvoj předsjezdové iniciativy a aktivity – spolupráce s ostatními organizacemi Národní fronty, při zabezpečování hladkého průběhu významných ideově politických akcí, při plnění volebních programů, při výcviku cvičitelů, rozhodčích apod., především spolupráce se SSM a jeho Pionýrskou organizací a s ČSLA. Při propagačních akcích a při přípravě výsta-



VI. SJEZD  
SVAZARMU  
1978

vek a ukázek činnosti nezapomínat též na Hi-Fi kluby Svazarmu, které pěstují velmi populární a široce oblíbenou činnost, která si získává stále další a další zájemce; přitom lze ukázat a dokázat, jaké výhody má právě organizovaná činnost v organizacích Svazarmu.

Je nepochybné, že mnoho dalších konkrétních námětů při plnění tohoto a nejen tohoto hlavního úkolu předsjezdové iniciativy a aktivity může poskytnout plán rozvoje radistické činnosti ve Svazarmu, o němž jsme podrobně referovali v úvodních v minulém ročníku AR řady B a k nimž komentář vycházel i v AR řady A.

Druhým hlavním úkolem předsjezdové iniciativy a aktivity je:

## 2. Prohlubovat kvalitu a účinnost politicko-výchovné práce s důrazem na výchovu mladé generace.

V souladu se závěry XV. sjezdu je úkolem politicko-výchovné práce ve Svazarmu rozvíjet angažovanou výchovu členů v duchu socialistických idejí naší společnosti, dosáhnout, aby požadavky XV. sjezdu a dalších usnesení ÚV KSČ pronikaly do celkové branně výchovné činnosti Svazarmu, vést členy organizace k tomu, aby se stali skutečnými socialistickými občany, připravenými budovateli i obránci socialistické vlasti.

Je třeba dbát, aby politicko-výchovné působení bylo uplatněno v celém komplexu mnohostranné činnosti základních organizací, aby působilo také vně a napomáhalo k vytváření kladného vztahu občanů k branné výchově a přispívalo k jejich získávání k aktivní branné a sportovní činnosti; aby pomáhalo objasňovat společenskou úlohu naší organizace.

Cílevědoměji bude nutno rozvíjet socialistické soutěžení jako jednu z forem výchovného působení, které zvyšuje angažovaný vztah a odpovědnost jednotlivce ke kolektivu a ke společnosti a pomáhá vytvářet a upevňovat jednotu mezi individuálními a celospolečenskými zájmy.

V předsjezdovém období zaměříme rozvoj iniciativy a aktivity v politicko-výchovné práci především na plnění těchto úkolů:

- cílevědoměji pokračovat v dalším provádění přitažlivých a zajímavých forem ideově výchovné a masové politické práce, ve zvyšování jejich kvality a účinnosti;
- uskutečnit v každé ZO nebo v klubu besedy se zasloužilými svazarmovci, vynikajícími svazarmovskými sportovci, podobné besedy organizovat i s mládeží na školách, v závoděch apod. Kromě toho využívat všech příležitostí k besedám a k přátelským setkáním s důstojníky

a vojáky Sovětské armády, zasloužilými členy KSČ a s příslušníky LM;

- uskutečnit v ZO nebo v klubech branné závody a soutěže jako propagační akce k VI. sjezdu Svazarmu;
- získávat a zapojovat další členy do plnění úkolů v masové politické práci (přednášky a besedy, setkání, exkurse);
- rozvíjet názornou agitaci k významným politickým událostem, především pak k systematické propagaci dosažených úspěchů Svazarmu od jeho V. sjezdu, zřizovat propagační skřínky nebo tabule k popularizaci činnosti ZO;
- soutěžit ve svazarmovských základních a okresních organizacích v odběru a využití svazarmovského tisku, získávat dopisovatele a propagovat svazarmovskou činnost v místním, okresním a krajském rozhlasovém vysílání. Nezapomínat (a propagovat) na novinářskou soutěž k VI. sjezdu Svazarmu;
- organizovat výstavky nebo krajské fotografické soutěže a pořádat přehlídky těchto prací u příležitosti výročních členských schůzí a konferencí nebo při jiných vhodných příležitostech;
- získávat závazky na dokončení výstavby síní bojových tradic a branných kabinětů. Zbývající úkoly předsjezdové aktivity si probereme příště.

—ou—

# ZAJÍMAVÁ A PRAKTICKÁ ZAPOJENÍ 11

František Michálek

## Úvod

Na základě dopisů čtenářů jsem pro letošní Zajímavá a praktická zapojení vybral převážně jednodušší obvody a zapojení, která by bylo možno realizovat s našimi součástkami. I když se zapojení tohoto druhu s diskretními součástkami objevují v zahraničních časopisech stále řidčeji, domnívám se, že z předkládaných zapojení si může vybrat přístroj k realizaci podle svých zájmů převážná většina čtenářů tohoto časopisu. Při popisu zapojení jsem se snažil postupovat tak, aby (především u jednodušších zapojení, která budou předmětem zájmu těch méně zkušených) byla vysvětlena činnost obvodů a součástek co možno nejpodrobněji, aby se při uvádění do chodu a při případných úpravách vyskytlo co nejméně obtíží. I tak ovšem nebude škodit, budou-li se zapojení realizovat nejen rukama, ale i hlavou, ba právě naopak.

Na rozdíl od minulých Zajímavých a praktických zapojení jsou letos též na přání čtenářů doplněny informace o zahraničních nepoužívanějších integrovaných obvodech. Kromě jiného také proto, aby bylo zřejmé, jak používání integrovaných obvodů ovlivňuje činnost konstruktérů, z nichž se pomalu ale jistě místo návrhářů obvodů stávají návrháři systémů, což vyžaduje určitý základní přesun ve způsobu myšlení a nazírání na celou elektroniku. Nejvýrazněji je to vidět na

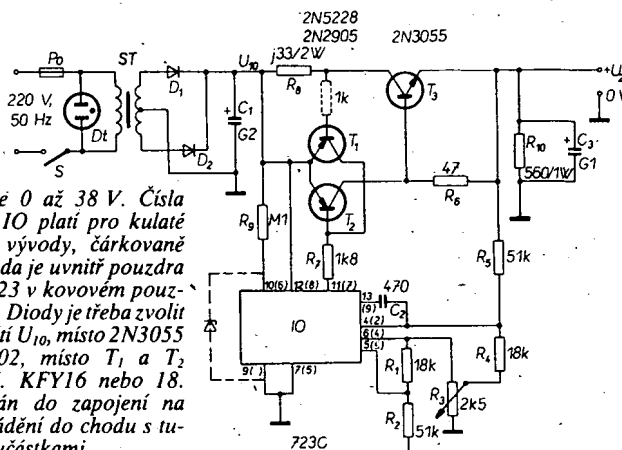
mikroprocesorech a problematice s nimi spojené – včdyt již dnes v průmyslově vyspělých státech se sdružují dospívající i dospělí zájemci o tuto oblast elektroniky v klubech stejně tak, jako u nás např. zájemci o Hi-Fi a elektroakustiku. Ale o tom snad až v některém z příštích čísel Zajímavých praktických zapojení.

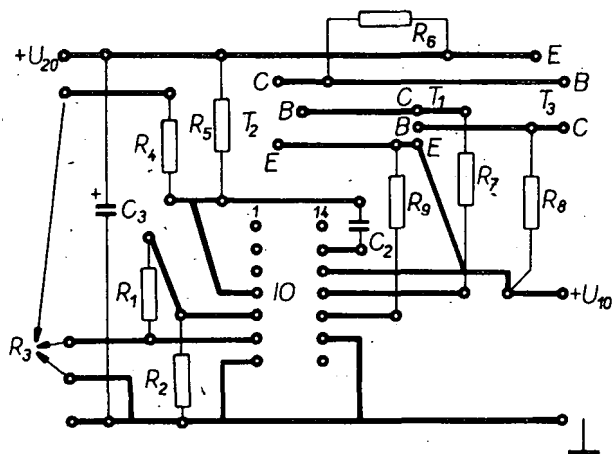
## Stabilizované zdroje, napáječe, regulátory, měniče, indikátory stavu baterií

### Stabilizovaný zdroj s nastavitelným výstupním napětím od 0 do 38 V

I když se potřeba malých stabilizovaných napětí (menších než 1,5 V) vyskytuje velmi zřídka, přece jen občas taková napětí v laboratorii potřebujeme. Přitom s běžně používaným stabilizátorem MAA723 v běžně používaných zapojeních nelze výstupní napětí regulovat od nuly. Použijeme-li ve stabilizovaném zdroji diskretní prvky, je pro regulaci výstupního napětí od nuly třeba obvykle používat síťový transformátor se dvěma vinutími nebo dva síťové transformátory (jeden pro vlastní zdroj a druhý pro zdroj referenčního napětí). Článek ve Funktechnik (který byl v principu převzat z časopisu Electronics,

Obr. 1 Zapojení zdroje 0 až 38 V. Číslo v závorkách u vývodů IO platí pro kulaté kovové pouzdro s 10 vývody, čárkované zakreslená Zenerova dioda je uvnitř pouzdra DIL, při použití MAA723 v kovovém pouzdrě je ji třeba zapojit vně. Diody je třeba zvolit podle maximálního napětí  $U_{10}$ , místo 2N3055 lze použít např. KD602, místo  $T_1$  a  $T_2$  tuzemské KF517, popř. KFY16 nebo 18. Odpor 1 k $\Omega$  byl přidán do zapojení na základě zkušeností z uvádění do chodu s tuzemskými součástkami





Obr. 2. Návrh desky s plošnými spoji pro integrovaný stabilizátor v pouzdru DIL. Úprava pro kulaté kovové pouzdro je minimální. Pohled ze strany součástek

únor 1975) však ukazuje, jak lze postavit stabilizovaný zdroj, regulovatelný od nuly do 38 V (horní mez napětí, povolená výrobcem integrovaného obvodu) s monolitickým stabilizátorem napětí  $\mu A723$  (MAA723).

Volba součástek zapojení (obr. 1) se řídí těmito základními vztahy

$$U_{20\max} = (R_2/R_1)U_{ref}$$

( $U_{ref}$  je typický 7,15 V),

$$R_2 = (U_{20\max}/U_{ref})R_1$$

$$R_1 = (U_{10}/10 - 0,62) \text{ [k}\Omega\text{]}$$

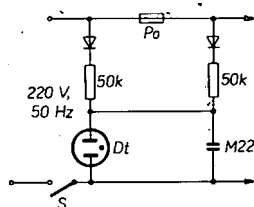
Výstupní napětí  $U_{20}$  lze volit v rozmezí 0 až napětí  $U_{10}$  za usměrňovačem (maximálně 38 V) zmenšené o úbytek napětí na přechodu řízeného výkonového tranzistoru.

Autor původního článku použil jako síťový transformátor typ se dvěma vinutími po 15 V pro 2,5 A. Odpor  $R_{10}$  byl do zapojení přidán na základě zkušenosti s nastavováním malých výstupních napětí (jde o tzv. předzátěž).

Zapojení je jinak velmi jednoduché, autor původního článku ho realizoval na desce s plošnými spoji, jejichž základní uspořádání je zřejmé z obr. 2. K obrázkům je jen třeba připomenout, že  $\mu A723$  se vyrábí ve dvou provedeních – v pouzdrě DIL se čtrnácti vývody a v kulatém kovovém pouzdrě s deseti vývody (naš ekvivalent obvodu  $\mu A723$ , tj. MAA723, se vyrábí pouze v kovovém pouzdrě s deseti vývody). Návrh desky s plošnými spoji je pro obvod v pouzdrě DIL, není ovšem problém upravit desku pro obvod s deseti vývody, změny na desce budou minimální, stačí porovnat číslování vývodů u DIL a kovového pouzdra (obr. 1).

Na výstup zdroje lze připojit ampérmetr i voltmetr, ampérmetr s rozsahem do 2 A, voltmetr podle zvoleného maximálního výstupního napětí.

Zajímavým doplňkem zapojení stabilizovaného zdroje je obvod na obr. 3. Obvod



Obr. 3. Indikace přerušení tavné pojistky

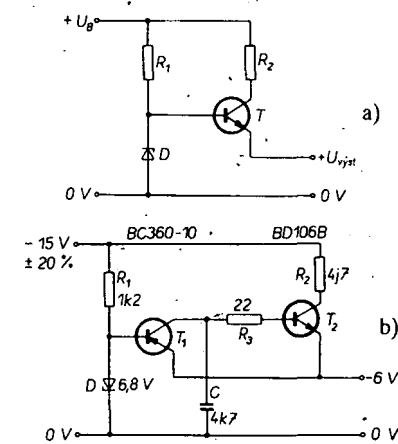
pracuje tak, že při přerušení tavné pojistky začne blikat síťová doutnavka Dt, neboť přes odpor 3 M $\Omega$  se nabíjí kondenzátor 0,22  $\mu F$  na její zápalné napětí. Odpor 50 k $\Omega$  omezuje proud doutnavkou za běžného provozu.

Funk-technik č. 1/1977

### Jednoduchý sériový stabilizátor

Pro průměrné nároky na stabilitu výstupního stabilizovaného napětí a při požadavku

na minimální množství součástek stabilizátoru je nejvhodnější sériový stabilizátor dnes již klasické konstrukce. Zapojení takového stabilizátoru, vhodného např. k úpravě palubního napětí motorových vozidel pro napájení nejrůznějších zařízení spotřební elektroniky; je na obr. 4.



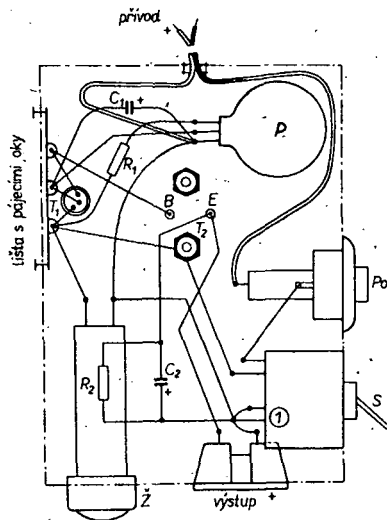
Obvykle používaná Zenerova dioda (paralelně k  $P_1$ ) byla ze zapojení vypuštěna, neboť napětí palubní sítě je relativně konstantní a jeho změny ovlivňují výstupní napětí regulátoru pouze v té míře, která je pro napájení uvažovaných spotřebičů přípustná.

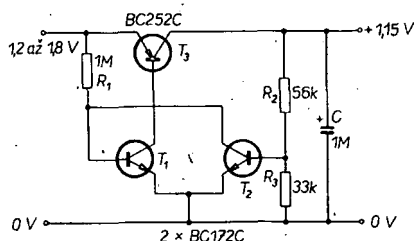
Rozdíl mezi nastaveným výstupním napětím a napětím palubní sítě násobený odebíraným proudem udává výkonovou ztrátu, podle níž je třeba volit typ tranzistoru  $T_2$ . Jako  $T_2$  je třeba ve většině případů používat výkonové typy, z našich tranzistorů jsou vhodné typy z řady NU72, NU73 nebo NU74. Kolektorová ztráta  $T_1$  je minimální, proto lze na tomto místě použít libovolný germaniový tranzistor p-n-p malého výkonu.

Autor konstrukce uvádí v původním prameni, že ve vzorku přístroje byly použity tranzistory GC121 ( $T_1$ ) a GD120 ( $T_2$ ), druhý tranzistor byl přitom umístěn na chladiči, který byl současně využit jako šasi celého regulátoru (tlustší hliníkový plech).

#### Technické údaje

Rozsah výstupního napětí: 6 až 10 V.  
Maximální výstupní proud (pro  $T_1$  a  $T_2$  podle obr. 5): 250 mA.  
Hmotnost: asi 150 g.  
Rozměry: 8 × 4,8 × 3 cm.





Obr. 9. Stabilizátor malých napětí pro malé výstupní proudy. Jako tranzistory  $T_1$  a  $T_2$  lze použít tuzemské typy z řady KC (např. KC508 nebo KC148; popř. dvojici těchto tranzistorů v jednom pouzdře), jako  $T_3$  tranzistor KF517

odpovídá poměru odporů děliče  $R_2$ ,  $R_3$  a lze ho určit ze vztahu

$$U_{\text{výst}} = \frac{R_2 + R_3}{R_3} U_{\text{BE } T_2}$$

Pro součástky podle obr. 9 je tedy

$$U_{\text{výst}} = \frac{(56 + 33) \cdot 10^3}{33 \cdot 10^3} \cdot 0,42 = 1,14 \text{ V.}$$

#### Technické údaje

Vstupní napětí: 1,2 až 1,8 V.

Výstupní napětí: asi 1,14 až 1,15 V.

Max. výstupní proud: 5 mA.

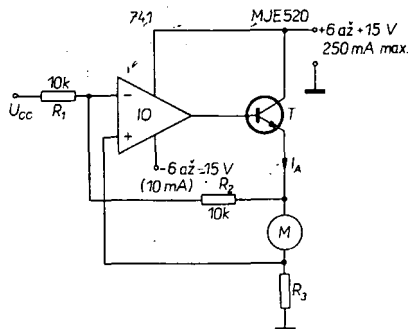
Vnitřní odpor: 1 až 2  $\Omega$ .

Větší odběr proudu je možný při zmenšení odporu  $R_1$ . Změna vstupního napětí v mezích uvedených v technických údajích vyvolá změnu výstupního napětí asi o 70 mV.

Schaltbeispiele mit diskreten Halbleiterbauelementen ITT

#### Regulační obvod k řízení rychlosti otáčení stejnosměrných motorů

Rychlost otáčení stejnosměrných motorů lze regulovat zapojením na obr. 10.



Obr. 10. Obvod k řízení rychlosti otáčení malých stejnosměrných motorů.  $R_3$  je náhradní odpor k určení proudu kotvou motoru

Vyloučíme-li různé vlivy indukčnosti vinutí motoru, lze pro stejnosměrný motor napsat vztah pro napětí na jeho přívodech

$$U_m = I_A R_A + U_{zp}$$

kde  $U_m$  je napětí na motoru,  $I_A$  a  $R_A$  jsou označeny ve schématu na obr. 10,  $U_{zp}$  je „zpětná“ elektromotorická síla. Lze tedy předpokládat, že  $U_{zp}$  je přímo úměrná rychlosti.

K určení odporu kotvy a proudu kotvy (tj. k určení součinu  $R_A I_A$ ) je použit odpor  $R_3$ . Operační zesilovač a regulační tranzistor generují napětí

$$2(I_A R_A) - U_{cc}$$

Proto napětí na motoru je

$$U_m = I_A R_A - U_{cc}$$

Kontrolní napětí je potom co do velikosti stejné jako „zpětná“ elektromotorická síla a je přitom proporcionální rychlosti otáčení motoru.

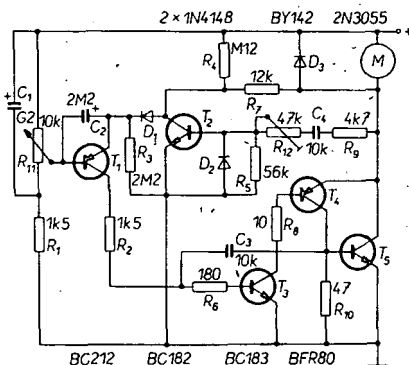
Rozsah kontrolního napětí v mezích od -0,1 do -5 V umožní regulovat rychlost otáčení motoru v mezích asi od 40 do 2000 ot/min., a to nezávisle (do jisté míry) na napájecím napětí a na změnách zatížení.

Zapojení je vhodné pro stejnosměrné motorky s odběrem proudu asi až do 200 mA, při napájecím napětí do 12 V. Tranzistor je možné nahradit tuzemským typem z řady KU nebo KD podle odebíraného proudu (podle typu motoru), operační zesilovač je typu 741.

Practical Electronics, duben 1977

#### Jiný regulační obvod k řízení rychlosti otáčení stejnosměrných motorů

Podle autora původního článku umožňuje obvod na obr. 11 řídit rychlost otáčení většiny stejnosměrných motorů a umožňuje dosáhnout maximálního točivého momentu těchto motorů při každé nastavené (zvolené) rychlosti až do spodní meze 100 ot/min.



Obr. 11. Regulační obvod k řízení rychlosti otáčení stejnosměrných motorů

Tranzistory  $T_3$ ,  $T_4$  a  $T_5$  pracují jako spínací regulátor, u něhož je řídicí napětí pro bázi  $T_3$  odvozeno od okamžitého úbytku napětí na přechodu báze-emitor tranzistoru  $T_5$ . Předností tohoto zapojení je jednak možnost ovládat relativně velké proudy motorkem relativně malým okamžitým úbytkem napětí, a jednak úspora ochranné diody v bázi  $T_3$ , neboť napětí na  $C_3$  se samočinně omezuje na mezivrcholovou velikost 1 V.

Je-li  $T_3$  v uzavřeném stavu, je zpětná elektromotorická síla motoru srovnávána s referenčním napětím, daným nastavením  $R_{11}$ . Výsledný kolektorový proud tranzistoru  $T_1$  určuje pak poměr impulsu-mezera regulátoru. Odporů  $R_4$  a  $R_7$  zmenšují napětí motoru o 10 % a zajišťují tak, že mezních rychlostí motoru může být dosaženo v rozsahu změn napětí na bázi  $T_1$ , daných změnou nastavení běžce  $R_{11}$ .

Abyste potlačili špičky napětí na indukčnosti vinutí motoru, vznikající při sepnutí tranzistoru  $T_5$ , je do zapojení vložen obvod s tranzistorem  $T_2$ , který pracuje jako „čidlo“ pro tyto impulsy a odvádí je z bodu spojení  $R_4$ ,  $R_7$  k zemi.

Abyste bylo možno nastavit obvod optimálně pro různé druhy motorů, je odpor  $R_{12}$  volen jako proměnný – lze jím volit délku řídicího (klampovacího) impulsu a je ho třeba nastavit tak, aby přiváděný příkon byl co nejméně ovlivňován změnami zátěže.

Obvod pracuje při napájecím napětí jakéhokoli druhu, tj. z baterií, ze síťových usměr-

ňovačů apod. Použije-li se k napájení síťový usměrňovač, je třeba napájecí napětí dobře filtrovat, aby se zaručila stabilita zvolené rychlosti otáčení.

Protože není stabilizováno napětí na  $R_{11}$ , bude rychlost otáčení motoru závislá na napájecím napětí. Požaduje-li se přesnost a neměnnost rychlosti otáčení v závislosti na napájecím napětí, musí být napájecí napětí pro bázi  $T_1$  (tj. napětí na  $R_{11}$ ) stabilizované (např. Zenerovou diodou).

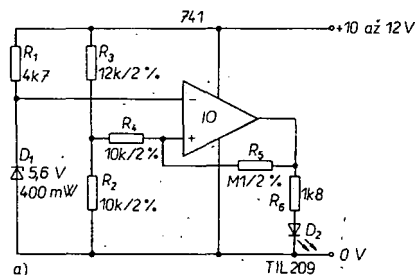
Pokud jde o náhrady součástek tuzemskými typy, bylo by možné jako  $T_1$  a  $T_4$  použít KF517 (pro  $T_4$  s chladičem), jako  $T_2$  a  $T_3$  KF508 (popř. i KC508) a jako  $T_5$  výkonový tranzistor z řady KU nebo KD podle proudu motoru. Jako  $D_1$  a  $D_2$  vyhoví libovolné křemíkové diody z řady KA (např. KA501), jako  $D_3$  jakákoliv plošná křemíková dioda se závěrným napětím podle napájecího napětí motoru (např. z řady KY).

Wireless World, září 1977

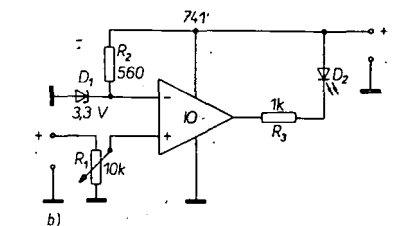
#### Indikátor stavu baterie

Obvod na obr. 12a zkonstruoval autor původního článku jako náhradu drahého měřidla ve vysílaci soupravy pro dálkové ovládání modelů.

Ve vysílaci se jako zdroj napájecího napětí používají obvykle niklokadmiové akumulátory se jmenovitým napětím 12 V. Jsou-li akumulátory plně nabitý, mají celkové napětí až 14 V. Přitom se doporučuje vybit akumulátory tak, aby napětí na články nebylo menší než 1 V, tzn. tak, aby akumulátory v popisovaném napájecím neměly napětí menší než 10 V.



Obr. 12. Indikátor stavu baterie, nahrazující např. u vysílaců souprav dálkového ovládání drahé ručkové přístroje (a) a podobný obvod k indikaci úrovně malých stejnosměrných napětí (b)



Obr. 12. Indikátor stavu baterie, nahrazující např. u vysílaců souprav dálkového ovládání drahé ručkové přístroje (a) a podobný obvod k indikaci úrovně malých stejnosměrných napětí (b)

Obvod na obr. 12a je v podstatě Schmittův klopný obvod, z jehož výstupu se ovládá svítivá dioda (LED). Referenční napětí bylo zvoleno 5,6 V (Zenerova dioda 400 mW,  $U_z = 5,6 \text{ V}$ , odpovídá to tuzemskému typu 1N270). Hystereze zapojení je zvolena volbou odporů  $R_4$  a  $R_5$  a je asi 1 V. Vybavovací napětí lze ovládat poměrem odporů napěťového děliče  $R_2$ ,  $R_3$ . Pro přesné nastavení vybavovacího napětí lze zaměnit odpor  $R_3$  za

odporový trimr 2,2 k $\Omega$  v sérii s odporem 10 k $\Omega$  (nebo za jinou vhodnou kombinací trimru a pevného odporu).

Zmenší-li se napětí napájecích niklokadmiových akumulátorů na 10 V, zmenší se výstupní napětí integrovaného operačního zesilovače a dioda  $D_2$  přestane svítit. Po připojení nabíječe se dioda opět rozsvítí, až se napětí niklokadmiových akumulátorů zvětší opět na 12 V. Při cenách součástek v zahraničí je uvedený obvod mnohem levnější, než běžné používané měřidlo.

Jedinou relativní nevýhodou zapojení je nutnost použít přesné odpory. Zapojení však lze snadno využít k indikaci i jiných vstupních napětí v různém rozsahu – k tomu stačí vhodně zvolit velikost referenčního napětí (Zenerovu diodu) a odpory děličů.

Variantou obvodu podle obr. 12a by se dal nazvat obvod na obr. 12b. V tomto zapojení se operační zesilovač používá jako napěťový komparátor a budič indikační diody. Na invertující vstup operačního zesilovače se přivádí část napětí, jehož velikost se má indikovat. Toto napětí (podle nastavení potenciometru) se porovnává s referenčním napětím na invertujícím vstupu. V tomto případě se svítivá dioda rozsvítí, zmenší-li se vstupní napětí pod určitou mez (danou nastavením potenciometru). Autor zapojení tvrdí, že takto lze indikovat změnu úrovně napětí i několik milivoltů. K indikaci vstupních napětí do 12 V je třeba obvod napájet napětím 12 V, pro indikaci napětí do 13,8 V musí být napájecí napětí 15 V. Jako operační zesilovač lze použít libovolný univerzální typ, např. 741.

Practical Electronics, prosinec 1977.  
Popular Electronics, září 1977

## Zdvojovač stejnosměrného napětí bez transformátoru

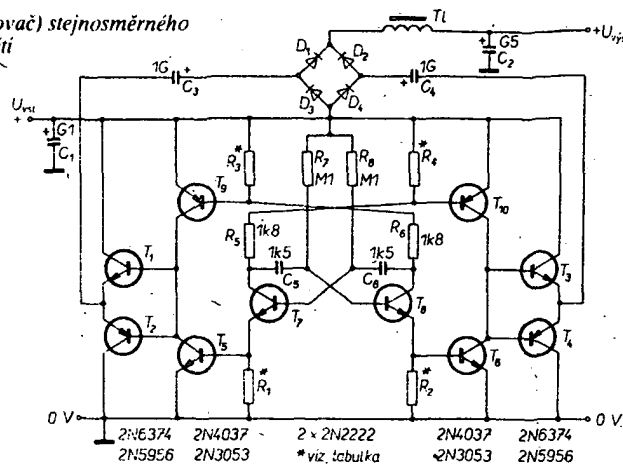
Ještě před několika lety bylo třeba k přeměně poměrně malého stejnosměrného napětí na větší stejnosměrné napětí používat elektromechanické měniče, které pracovaly s malou účinností, nebo oscilátory s transformátorem, které také nevynikaly dobrými vlastnostmi, kromě toho byl návrh měniče relativně složitý, nebo byla složitá jeho mechanická část.

Napěťový zdvojovač s kondenzátory přináší v tomto ohledu mnoho nejrůznějších výhod. Nemá žádné mechanické části, jeho účinnost je dobrá a dobře vyhoví pro dnešní zařízení s tranzistory, která bývají napájena ze zdrojů s relativně malým výstupním napětím.

Měnič podle obr. 13 může být zdrojem napájecího napětí např. pro výrobky spotřební elektroniky, používané v motorových vozidlech, které mají odběr proudu až řádu jednotek ampérů. Pro úplnost je na obr. 14 graficky znázorněna účinnost měniče pro nejběžnější napětí akumulátorů ve vozidlech v závislosti na odběru proudu. Z křivek je zřejmé, že např. při nejrozšířenějších akumulátorech 12 V je účinnost v celém rozsahu odebraných proudů až do 3 A lepší než 80 %, což v praxi plně vyhoví všem požadavkům.

Měnič je konstruován jako rychlý elektronický spínač, který střídavě nabíjí kondenzátory  $C_3$  a  $C_4$  na vstupní napětí a pak je připojuje v sérii s napájecím napětím k zátěži. Výstupní napětí se tak vzhledem k napájecímu napětí zvětší na dvojnásobek vstupního napětí. Protože se kondenzátory  $C_3$  a  $C_4$  nabíjejí se vzájemným fázovým posuvem 180°, pracuje obvod jako „pravý“ celovlnný napěťový zdvojovač.

Obr. 13. Měnič (zdvojovač) stejnosměrného napětí



Tranzistory  $T_7$  a  $T_8$  a součástky v jejich obvodu tvoří multivibrátor, který pracuje při napájecím napětí 12 V na kmitočtu asi 5000 Hz. Tento oscilátor generuje dvě stejné napětí pravoúhlého průběhu, která mají fázi vzájemně posunutou o 180°. Tyto dva fázové posunutě signály ovládají činnost tranzistorů  $T_5$ ,  $T_6$  a  $T_9$ ,  $T_{10}$ . Odpory  $R_1$  až  $R_4$  jsou vybrány tak, aby byl proud báze uvedených tranzistorů 3 mA.

Dvojice tranzistorů  $T_5/T_6$  a  $T_9/T_{10}$  produkuje stejné a opačně polarizované napětí pravoúhlého průběhu s extrémně strmými náběžnými (čelními) a sestupnými tylovými hranami a jsou schopny poskytovat proud až 100 mA k buzení dvojice výstupních tranzistorů ( $T_1/T_2$  a  $T_3/T_4$ ).

Vede-li  $T_7$ , jsou tranzistory  $T_2$ ,  $T_3$ ,  $T_5$  a  $T_{10}$  otevřeny do saturace (v nasyceném stavu). Kondenzátor  $C_3$  se nabíjí přes  $T_2$  a  $D_3$ , zatímco kondenzátor  $C_4$  se vybíjí přes  $T_3$ ,  $D_2$  na výstupu. Vede-li  $T_8$ , celý jev se opakuje pouze v obráceném smyslu, nabíjí se  $C_4$  a vybíjí se  $C_3$ .

Kondenzátor  $C_1$  potlačuje šíření vf impulzů na vstupu měniče, kondenzátor  $C_2$  a tlumivka  $TL$  vyhlazují výstupní napětí.

K největším ztrátám, pokud jde o účinnost měničů těchto typů, dochází úbytky napětí na přechodech tranzistorů a diod. Z téhož důvodu nelze počítat s tím, že by výstupní napětí bylo přesným dvojnásobkem vstupního napětí. Z téhož důvodu se také výstupní napětí mění v závislosti na zátěži – v daném případě je výstupní napětí naprázdno menší asi o 1,4 V, než by odpovídalo dvojnásobku vstupního napětí a při odběru proudu 3 A se zmenší až o 4,8 V. Protože jsou tyto ztráty napětí lineární funkcí výstupního proudu, celková účinnost zapojení pro výstupní proudy do 3 A se značně zvětšuje v závislosti na velikosti vstupního napájecího napětí – čím větší je vstupní napětí, tím lepší je účinnost (viz obr. 14).

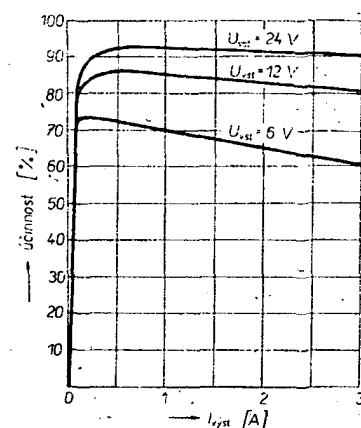
Účinnost dále zmenšuje i odběr proudu multivibrátorem a budičnými tranzistory. Tyto ztráty jsou při napájecím napětí 12 V asi kolem 150 mW.

Měnič je osazen křemíkovými polovodičovými prvky. Jeho účinnost lze zvětšit, použijí-li se jako  $T_1$  až  $T_4$  germaniové tranzistory a jako  $D_1$  až  $D_4$  germaniové diody.

Při výstupních proudcích do 100 mA lze ze zapojení vypustit tranzistory  $T_1$  až  $T_4$ , současně lze zmenšit kapacitu elektrolytických kondenzátorů  $C_3$  až  $C_4$  na 50  $\mu$ F.

Ztrojovač napětí by bylo možno konstruovat tak, že by se přidaly usměrňovací můstky mezi zem a spojené emitory výstupních tranzistorů – u ztrojovačů napětí je však třeba počítat s mnohem menší účinností a s menším možným odběrem proudu.

Odpory  $R_1$  až  $R_4$  jsou, jak již bylo napsáno, voleny tak, aby proud bázemi tranzistorů  $T_5$ ,  $T_6$ ,  $T_9$  a  $T_{10}$  byl 3 mA. Proto se pro různá napájecí napětí volí takto:



Obr. 14. Závislost účinnosti měniče z obr. 13 na vstupním napětí při různém odběru proudu

pro napájecí napětí 6 V – odpory se vypustí,  
10 V –  $R_1$  až  $R_4$  = 1000  $\Omega$ ,  
12 V –  $R_1$  až  $R_4$  = 330  $\Omega$ ,  
15 V –  $R_1$  až  $R_4$  = 180  $\Omega$ ,  
18 V –  $R_1$  až  $R_4$  = 120  $\Omega$ ,  
21 V –  $R_1$  až  $R_4$  = 100  $\Omega$ ,  
24 V –  $R_1$  až  $R_4$  = 82  $\Omega$ .

Pokud jde o náhradu zahraničních součástek našimi výrobky, lze jako  $T_7$  a  $T_8$  použít např. KS500, KC508, KC148 apod. Ostatní tranzistory je třeba volit podle požadovaného výstupního proudu, mohou být jak germaniové, tak křemíkové. Stejně podle požadovaného výstupního proudu je třeba volit i diody v můstku. Tlumivka  $TL$  má indukčnost 100  $\mu$ H při proudu 4 A (stejněsměrný proud vinutí asi 0,1  $\Omega$  nebo méně). Podle požadovaného výstupního proudu bude také třeba opatřit koncové tranzistory příslušnými chladiči.

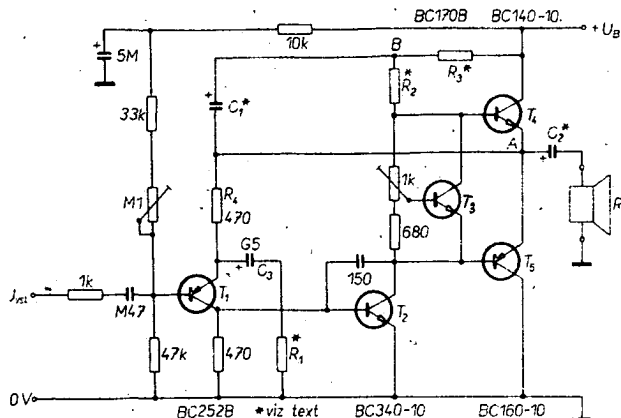
Popular Electronics, září 1977

## Nf technika, doplňky elektronických hudebních nástrojů

### Dvojčinný nf koncový zesilovač s komplementárními tranzistory malého výkonu

Svého času byly velmi oblíbeny návody na stavbu nf zesilovačů pro výkony kolem 100 mW – v nf zesilovačích se ovšem používaly převážně germaniové tranzistory, protože jiné nebyly k dispozici. Zesilovač podobné koncepce s křemíkovými tranzistory s malým šumem, jimž by bylo možno staré zesilovače





např. v rozhlasových přijímačích nahradit, je na obr. 15.

Zesilovač na obr. 15 je dvojitý nf zesilovač s doplňkovými křemíkovými tranzistory středního výkonu, z našich tranzistorů by jako koncová dvojice byly vhodné tranzistory KF507 a KF517. Všechny stupně nf zesilovače jsou přímovězané, bez elektrolytických kondenzátorů, proto je možné stabilizovat pracovní režim zesilovače stejnosměrnou zápornou zpětnou vazbou přes všechny stupně a to z výstupu přes odpor  $R_4$  do emitoru vstupního tranzistoru. „Střídavě“ lze tuto zpětnou vazbu omezit na vhodnou velikost volbou kapacity kondenzátoru  $C_3$  a odporu  $R_1$ .

Tak zvaným zapojením bootstrap (kondenzátor  $C_1$  z výstupu před kondenzátorem  $C_2$  ke společnému bodu  $B$  odporů  $R_2$ ,  $R_3$ ) se dosáhlo toho, že vybudování kladnými špičkami signálu je určeno pouze saturačním napětím tranzistoru  $T_4$ . Tranzistor  $T_3$  spolu s odporovým trimrem  $1\text{ k}\Omega$  určují klidový proud dvojice koncových tranzistorů. Při nastavování je třeba běžec odporového trimru nastavit nejprve na ten kraj odporové dráhy, který je spojen s kolektorem  $T_3$ , a pak jeho postupným otáčením nastavit klidový proud asi 15 až 20 mA. Tranzistor  $T_3$  stabilizuje klidový proud při změnách teploty okolí a napájecího napětí.

Proměnným odporem  $100\text{ k}\Omega$  se nastavuje souměrnost omezování sinusového signálu; souměrnost omezování se obvykle dosáhne při stavu, kdy je napětí na emitorech koncových tranzistorů rovno polovině napájecího napětí.

Kondenzátor  $150\text{ pF}$  i odpor  $1\text{ k}\Omega$  na vstupu zesilovače zamezují rozkmitání zesilovače na vysokých kmitočtech.

Při daném zatěžovacím odporu (impedance reproduktoru) a saturačním napětí koncových tranzistorů  $0,7\text{ V}$  závisí dosažitelný výstupní výkon na napájecím napětí podle vztahu

$$P_{\text{vyst}} = \frac{(U_B - 1,4)^2}{8 R_z}$$

Přitom ovšem nesmí být překročen špičkový kolektorový proud dvojice koncových tranzistorů, z čehož vyplývá, že

$$P_{\text{vyst}} = 0,5 I_{C_{\text{max}}}^2 R_z$$

Menší z výstupních výkonů, který po dosazení do rovnic vyjde, je použitelným výstupním výkonem pro použité tranzistory, určité napájecí napětí a danou zátěž. Při výpočtu je vhodné volit jako  $I_{C_{\text{max}}}$  pouze 80 % kolektorového špičkového proudu vzhledem ke katalogovým údajům, neboť jinak by byl potřebný budící výkon příliš velký.

Velikost zpětnovazebního napětí je volena tak, aby plného výkonu bylo dosaženo při vstupním napětí asi  $100\text{ mV}$ . Vstupní odpor je přitom větší než  $20\text{ k}\Omega$  a činitel zkrácení je i při plném výkonu menší než 1 %.

Pro různé zátěže a různá napájecí napětí jsou v tabulkách jednak údaje  $R_1$  a  $R_2$ ,  $R_3$ , popř.  $C_1$  a  $C_2$  a jednak dosažitelné výstupní výkony.

Tab. 1. Údaje součástek zesilovače podle obr. 15, které se mění při změně napájecího napětí nebo zatěžovacího odporu

$U_B$	$R_z [\Omega] = 4 \quad 8 \quad 16$			$R_z = R_3 [\Omega]$			$C_1 [\mu F]$			$C_2 [\mu F]$		
	27	27	—	47	100	—	100	50	—	1G	500	—
6 V	—	15	15	15	47	100	220	100	50	25	1G	500
9 V	—	10	10	—	100	220	100	50	25	—	500	250
12 V	—	—	—	—	100	220	100	50	25	—	500	250

Tab. 2. Dosažitelné výstupní výkony zesilovače v závislosti na napájecím napětí a odporu zátěže

$R_z =$	4 $\Omega$	8 $\Omega$	16 $\Omega$
$U_B$	$P_{\text{vyst}} [\text{W}]$	$P_{\text{vyst}} [\text{W}]$	$P_{\text{vyst}} [\text{W}]$
6 V	0,6	0,36	—
9 V	1,5	0,95	0,48
12 V	—	1,7	0,87

Údaje v tabulkách platí samozřejmě pro osazení původními polovodičovými prvky, lze však s dobrou přesností odhadnout, že se nebudou příliš mnoho lišit, použijí-li se součástky tuzemské výroby podle následujícího přehledu:  $T_1$  – p-n-p křemíkový tranzistor BC178 (na skladě v pardubické prodejně TESLA),  $T_2$ ,  $T_3$  KC509 a KC508,  $T_4$ ,  $T_5$  KF507, KF517. Jako  $T_3$  by bylo možno použít i typ KF508, ja  $T_1$  KF517. Koncové tranzistory je pro větší výkony třeba chladit. *Schaltbeispiele mit diskreten Halbleiterbauelementen ITT*

### Indikátor pro přebuzení nf zesilovače

Před časem bylo popisováno v AR řady A zapojení indikátoru, reagujícího na modulační špičky (při záznamu na pásek), které nemůže registrovat ručka měřidla díky své setrvačnosti vzhledem k době jejich trvání. Přitom zkrácení, které nutně reprodukcí záznamu takových špiček doprovází, může znehodnotit celou nahrávku.

Proto bylo v poslední době v různých časopisech uveřejněno několik podobných indikátorů, jeden z nich je na obr. 16a. Jde o indikátor špiček pro zesilovač, napájený napětím  $24\text{ V}$ . Napětové špičky jsou indikovány svítivou diodou. Svítivá dioda se při součástkách uvedených ve schématu rozsvítí při napětové špičce, odpovídající úrovni sinusového napětí o efektivní hodnotě  $5\text{ V}$ ; při napětí asi o 3 dB menším, než odpovídá maximálnímu rozkmitu napětí na zesilovacím stupni, pracujícím s napájecím napětím  $24\text{ V}$ .

Obvod indikuje jak kladné, tak záporné napětové impulsy. Aby byla indikace stoprocentní, použila se při návrhu obvodu metoda „roztahování“ impulsů, takže jsou bezpečně indikovány i velmi krátké a úzké špičky.

Integrovaný operační zesilovač pracuje jako komparátor, který detekuje impulsy obou polarit. Obě odporové děliče na vstupu operačního zesilovače A jsou navrženy,

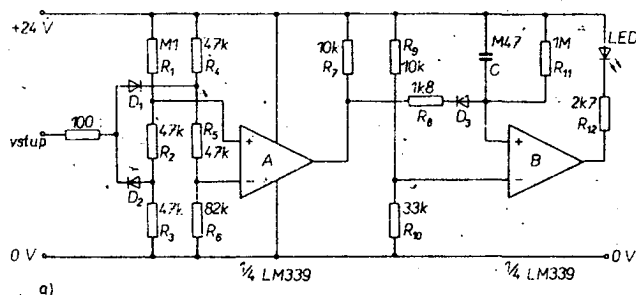
tak, aby napětí na invertujícím vstupu bylo asi o  $400\text{ mV}$  menší, než je napětí na neinvertujícím vstupu. Bude-li mít špička přiváděného nf signálu kladnou úroveň, povede dioda  $D_1$  napětí na invertujícím vstupu se zvětší a komparátor změní svůj stav. Stejně tak se změní stav komparátoru, přijde-li přes diodu  $D_2$  záporná špička nf signálu, neboť neinvertující vstup pak bude „zápornější“ než při rovnovážném stavu.

V obou případech se bude napětí na výstupu komparátoru zmenšovat, „paměťový“ kondenzátor  $C$  se bude rychle nabíjet přes diodu  $D_3$  a odpor  $R_8$ . Skončí-li špička nf napětí, kondenzátor zůstane nabitý na určité napětí, které vyvolá na výstupu komparátoru B malé výstupní napětí. Svítivá dioda se proto rozsvítí a svítí po celou dobu vybíjení kondenzátoru. Vybije-li se paměťový kondenzátor  $C$  přes odpor  $R_{11}$ , svítivá dioda zhasne, neboť na výstupu komparátoru se pak změní úroveň napětí z malé na velkou.

Autor v závěru článku upozorňuje, že indikační obvod špiček je třeba napájet z místa zesilovače s malou výstupní impedancí, neboť v opačném případě by diody na vstupu mohly zkracovat zesilovaný signál.

Jako operační zesilovač bylo v původním návrhu použito pouzdro LM339, v němž jsou sdruženy čtyři jednotlivé operační zesilovače, takže pro konstrukci stereofonního indikátoru pak vystačí jeden integrovaný obvod. Z tuzemských operačních zesilovačů by bylo možno použít např. MAA741, pravděpodobně bez podstatných úprav. Diody jsou univerzální křemíkové typy.

Wireless World, listopad 1977



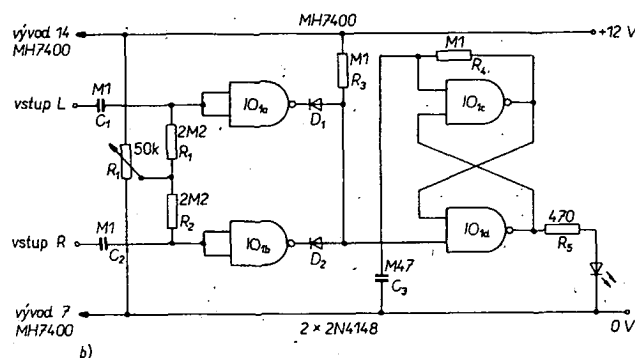
Obr. 16a. Indikátor modulačních špiček pro nf zesilovač s operačními zesilovači

## Detektor špiček pro kazetový magnetofon

Mnohé z jakostních kazetových magnetofonů bývají vybaveny tzv. VU-metrem, což je ručkový přístroj, který by měl indikovat i špičky signálu – tj. ty části nf zaznamenaného signálu, které jsou obvykle při nesprávném nastavení úrovně vybuzení pásku při reprodukci zkresleny. Jak píše autor původního článku, podle jeho zkušeností však tato měřidla indikují špičky různé – u magnetofonů, které zkušel, nebyla indikace špiček uspokojivá – beze zbytku ani v jednom případě.

Proto vyvinul jednoduchý přídavný obvod, který bezpečně indikuje špičky v zaznamenaném signálu – navíc lze podle použitého záznamového materiálu a podle druhu zaznamenaného pořadu nastavit indikaci tak, aby byly indikovány skutečně jen ty špičky, které jsou pak při reprodukci slyšitelně zkresleny.

Vstupní signál z pravého a levého kanálu je veden na hradla, která tvoří Schmittův klopný obvod (obr. 16b). Hradla mají určité



Obr. 16b. Detektor špiček pro kazetový magnetofon

stejněsměrné předpětí, jímž lze nastavit úroveň, od které jsou špičky signálu indikovány. Výstupy hradel jsou vedeny na vstupy monostabilního obvodu, jehož výstup ovládá rozsvícení a zhasínání svítivé diody, která slouží jako indikační prvek. Diody jsou buzeny při špičce na vstupu obvodu krátkým impulsem.

Jako aktivní prvek je v zapojení použito pouzdro SN7400, které obsahuje čtyři hradla NAND. Ekvivalentním tuzemským obvodem je obvod MH7400. Diody jsou běžné univerzální křemíkové typy (např. z řady KA500 nebo KA200 apod.).

Practical Electronics, leden 1978

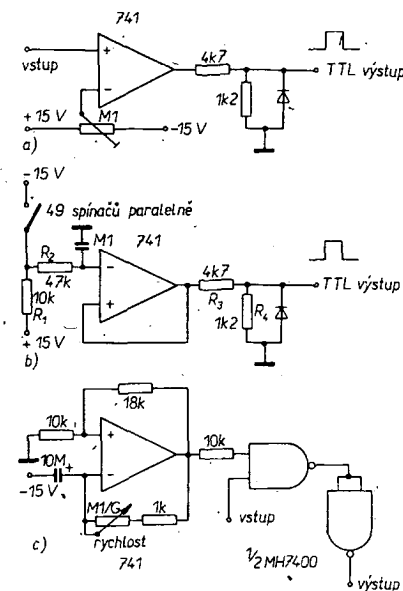
## Přechodný (přechodový) generátor

Tento podivný a nezvyklý název je přesným překladem titulu originálního článku v zahraničním časopisu – transient generator. Jde o zajímavý obvod, kterého lze využít např. v elektronických hudebních nástrojích, syntezátorech apod. V podstatě jde o to, že obvod elektronicky napodobuje úpravou impulsů tónových kmitočtů stav, který nastává u klasických hudebních nástrojů – u těch totiž tón po zahrání (tj. např. po stisku klávesy) samočinně doznívá. Přístroj podle obr. 17 upravuje vstupní impulsy pravoúhlého tvaru podle požadavků na výsledný zvuk tak, jak je to zřejmé z obr. 18. Na svislé ose je vynešena amplituda impulsu, na vodorovné ose doba, po níž je kontakt (klávesa) elektronického hudebního nástroje sepnuta a současně i doba doznění impulsu. Všechny čtyři díly impulsu podle obr. 18 lze zařízením upravovat a volit – tj. lze volit dobu náběhu impulsu 1, dobu

počátečního útlumu 2, dobu trvalého stavu (sustain) 3 a dobu doznění (konečného útlumu) 4 po rozpojení kontaktu (klávesy) elektronického hudebního nástroje.

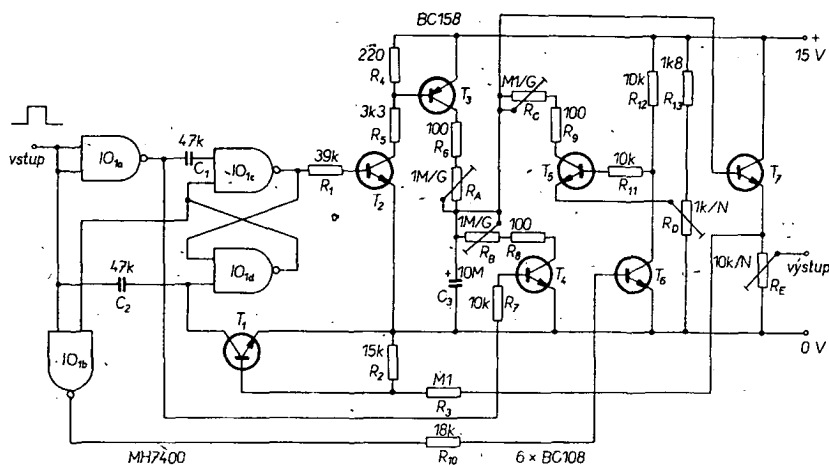
Ke své činnosti vyžaduje obvod na obr. 17 vstupní napětí, odpovídající úrovni logickým signálům TTL, tj. po stisknutí klávesy (sepnutí kontaktu) musí být na vstupu úroveň log. 1, po uvolnění klávesy (rozpojení kontaktu) log. 0. Hradla NAND IO10c a IO10d tvoří blokovací obvod, spouštěný hranou impulsu. Do jednoho stavu se obvod uvádí signálem přes C1, do druhého stavu (výchozího) signálem přes C2 nebo tranzistor T1. Je-li klávesa stisknuta, je na výstupu IO10c úroveň log. 1. Tranzistory T2 a T3 jsou otevřeny, kondenzátor C3 se nabíjí přes R6 a odporový trimr RA – nastavením trimru RA se volí doba náběhu 1 podle obr. 18. Napětí na kondenzátoru ovládá činnost emitorového sledovače T4, který zabezpečuje malou výstupní impedanci obvodu. Napětí na výstupu se tedy zvětšuje s pokračujícím nabíjením kondenzátoru. Toto zvětšující se napětí se vede z výstupu i na tranzistor T1 (přes odpor R3) a bude-li jeho mezivrcholová velikost asi

du. Tím je ukončen průběh 1 impulsu podle obr. 18, na výstupu hradla IO10b se změní úroveň na log. 0. Tranzistor T6 se uzavře, T3 se otevře a kondenzátor C3 se vybíjí přes R9 a odporový trimr RC. Odporovým trimrem RC lze měnit délku počátečního útlumu impulsu – tj. délku části 2 na obr. 18. Kondenzátor C3 se bude vybíjet tak dlouho, dokud na něm nebude stejné napětí, jako je na běžící odporového trimru RD. Nastavením běžce tohoto trimru lze tedy řídit dobu trvání trvalého stavu (sustain), tj. délku části 3 impulsu podle obr. 18. V popsaném stavu setrvá obvod až do té doby, než je přerušen

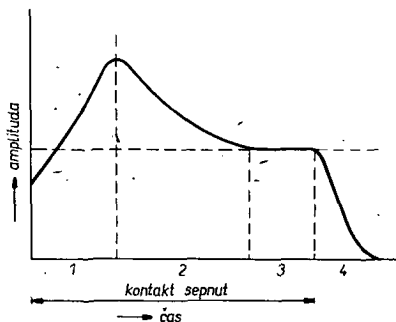


Obr. 19. Interface s výstupem TTL – (a), doplněk k mechanickým spínačům (b) a jednoduchý generátor signálu nízkého opakovacího kmitočtu (c)

5 V, poteče tranzistorem tak velký proud, že se změní stav na výstupu blokovacího obvo-



Obr. 17. „Přechodný“ („přechodový“) generátor



Obr. 18. Části průběhu impulsu, jejichž dobu lze generátorem měnit

kontakt (uvolněna klávesa nástroje). Na výstupu IO10a se objeví úroveň log. 1, která uvede do vodivého stavu tranzistor T4. Pak se zcela vybije náboj kondenzátoru přes R8 a odporový trimr RB. Změnou nastavení odporového trimru RB lze nastavit dobu trvání konečného útlumu impulsu, tj. části 4 na obr. 18.

Stiskneme-li klávesu před uplynutím doby náběhu nebo počátečního útlumu, signálem přes C2 se uvede generátor do takového stavu, který odpovídá počátku konečného útlumu (části 4 na obr. 18) impulsu.

Bude-li se tento generátor používat ve spojení se stávajícím syntezátorem, je k získání potřebného vstupního napětí pro generátor třeba „interface“, tj. meziobvod, který



upraví výstupní signál syntezátoru na signál o úrovních TTL. Příslušný obvod je na obr. 19a. Je upraven pro stav, kdy stisku klávesy odpovídá napětí větší, než je napětí po uvolnění klávesy. V opačném případě je třeba zaměnit vstupy komparátoru.

Spínání mechanických spínačů nese s sebou různé problémy (záškrt, kliky). Úprava odstraňující tyto problémy je na obr. 19b. Odpor  $R_2$  a kondenzátor  $0,1 \mu F$  tvoří dolní propust, která redukuje nežádoucí záškrt. Výstupní signál z propusti se vede na integrovaný obvod, který je zapojen jako Schmittův klopný obvod s hysterezí 28 V. Obvod podle obr. 19b lze např. použít k přímému ovládní „přechodného“ generátoru spínače.

Digitální obvod z obvodů na obr. 19a nebo 19b není třeba zavádět přímo do generátoru. Je-li totiž přiveden na jeden ze vstupů hradla NAND, zatímco na druhý vstup je přiveden signál z oscilátoru, dosáhneme opakovaného efektu, vhodného např. k imitaci hry na mandolinu. V tomto konkrétním případě je kmitočet oscilátoru 5 Hz, na generátoru se nastaví co nejkratší úsek podle obr. 18 a zvolí se vhodně trvalá úroveň (sustain). Vhodný oscilátor opakovač kmitočtu je na obr. 19c.

Autor zařízení doporučuje pro první pokusy použít popsaný generátor s filtrem a se dvěma oscilátory, což odpovídá sestavě jednoduchého syntezátoru.

V každém případě bude asi možno získat díky tomuto přístroji různé zajímavé zvukové efekty – a to celkem jednoduše a poměrně levně.

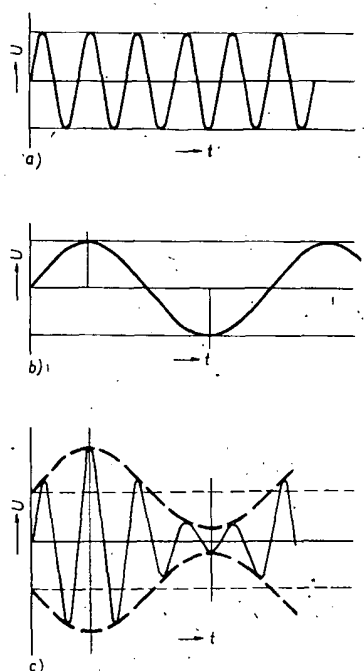
Jako IO<sub>1</sub> poslouží z tuzemské výroby pouzdro MH7400. Všechny tranzistory kromě  $T_2$  lze beze změny součástek nahradit našimi výrobky KC508 nebo KC148. Jako  $T_2$  lze použít buď BC177 nebo KF517, popř. KFY18. Odporové trimry lze nahradit potenciometry a vyvést na panel přístroje, pak lze upravit výsledný zvuk i za hry nástroje. *Practical Electronics, duben 1977*

## Trikové obvody pro elektronickou kytaru

### Kytarové tremolo

Moderní hudba je poznamenána používáním nejrůznějších elektronicky „vytvořených“ efektů, k nimž nesporně patří i tremolo – rychlá, periodická změna hlasitosti hraného tónu, která dodává hrané skladbě určité hudební „napětí“. Tremolo lze samozřejmě používat nejen u kytary, je vhodné i pro elektronické varhany apod.

Popisovaný obvod – elektronické tremolo – se používá jako mezipřechod mezi vývodem



Obr. 20. Vznik tremola; a – vstupní nf signál, b – modulační signál, c – výstupní signál tremola

z kytary a vstupem do zesilovače. Schematicky lze funkci tremola znázornit průběhem základního signálu a modulačního signálu, kterým je základní signál pravidelně „potlačován“ a „zdůrazňován“. Na obr. 20 je nf signál z kytary na obr. a, na obr. b je modulační signál a výsledný modulovaný signál – tremolo – je na obr. 20c. Při technické realizaci se signál na obr. 20a získává z kytary (ze snímače nebo z mikrofonu), signál na obr. 20b z multivibrátoru a na obr. 20c z modulatoru.

Zapojení tremolové jednotky je na obr. 21. Tranzistory  $T_1$  a  $T_2$  tvoří astabilní multivibrátor, tranzistory  $T_3$  a  $T_4$  pracují jako modulator. Amplituda tremolového signálu se mění v rytmu kmitočtu multivibrátoru.

Přístroj se napájí napětím, stabilizovaným Zenerovou diodou a odporem  $R_1$ , aby bylo možno napájet jednotku napětím, jaká obvykle bývají k dispozici – tj. od 9 do 30 V. Zenerova dioda má mít Zenerova napětí asi 7,5 V, z našich výrobků je tedy vhodná např. dioda 2N270. Podle skutečného napájecího napětí ze zdroje je pak pouze třeba volit zatížení odporu  $R_1$  tak, aby proud diodou násobený úbytkem napětí na odporu (tj. ztrátový výkon odporu) nepřekročil povolené zatížení odporu.

Ve výchozím stavu je vždy jeden z tranzistorů multivibrátoru otevřen a druhý uzavřen:

Po uplynutí určité doby, dané volbou odporů  $R_2$  až  $R_5$  a kapacitou kondenzátorů  $C_1$  a  $C_2$  (a bázovým předpětím tranzistorů), se multivibrátor „překlopí“; původně otevřený tranzistor se uzavře a uzavřený povede proud. Protože se tyto dva stavy neustále opakují, bude na kolektorovém odporu  $R_3$  tranzistoru  $T_2$  napětí pravoúhlého průběhu: povede-li tranzistor  $T_2$ , bude na jeho kolektoru napětí asi 7 V, bude-li uzavřen, bude jeho kolektor nulové napětí.

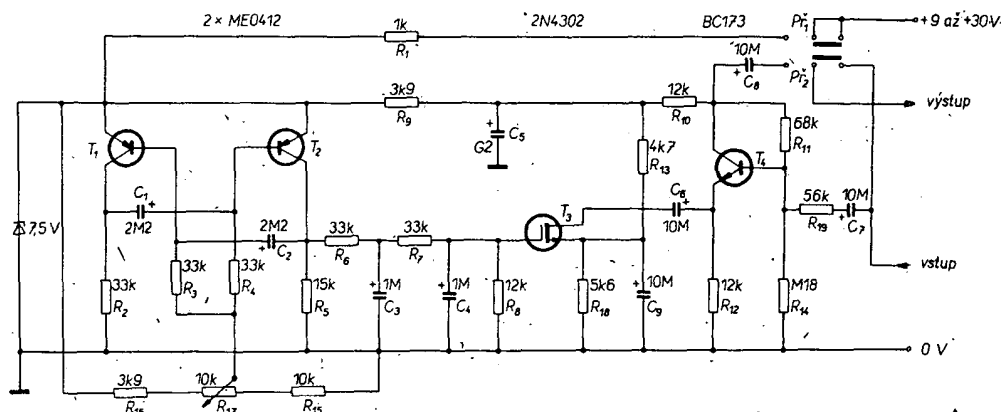
Dobu překlacení multivibrátoru a tím i kmitočet výstupního signálu lze měnit potenciometrem  $R_{17}$ . Potenciometr je součástí odporového děliče napětí pro báze tranzistorů multivibrátorů a v daném uspořádání dovoluje měnit kmitočet tremola v mezích od 0,2 do 10 Hz.

Kdyby se nf signál moduloval napětím pravoúhlého průběhu, byl by výsledný efekt poněkud „tvrdý“, tóny by byly jakoby hranaté. Proto je na výstup multivibrátoru připojena dvoustupňová dolní propust z odporů  $R_6$ ,  $R_7$  a z kondenzátorů  $C_3$  a  $C_4$ . Propust „oproštuje“ výstupní signál z multivibrátoru od harmonických kmitočtů, takže na výstupu tohoto dvojitého článku RC – tedy na elektrodě G tranzistoru řízeného polem – je signál blízký sinusovému signálu. Odpory  $R_8$ ,  $R_7$  a  $R_6$  tvoří napěťový dělič, který upravuje amplitudu signálu z multivibrátoru na úroveň, vhodnou pro další zpracování v modulatoru.

Nf signál se do zařízení vede přes kondenzátor  $C_5$  a odpor  $R_{19}$  a to na bázi tranzistoru  $T_4$ . Na kolektoru tohoto tranzistoru, který pracuje jako zesilovač s kolektorovým odporem  $R_{10}$ , je zesílený nf signál. V tomto stupni se používají velmi silné zpětné vazby, a to jednak přes mezi kolektorem a zemí zapojený napěťový dělič  $R_{11}$  a  $R_{14}$  (dělič báze) a jednak přes emitorový neblokovatelný odpor  $R_{12}$ . Stupeň má zesílení asi 1.

Paralelně k emitorovému odporu je však vzhledem ke střídavému napětí zapojen kondenzátor  $C_6$  a přechod elektroda D – elektroda S tranzistoru řízeného polem. V takto zapojeném obvodu se tranzistor řízený polem chová jako lineární odpor, jehož hodnota závisí na napětí mezi elektrodami D a S. Protože se napětí na elektrodě G mění v rytmu signálu z multivibrátoru, mění se odpovídajícím způsobem i emitorový odpor  $R_{12}$  změnou odporu přechodu S–D, který je k němu, jak jsme uvedli, zapojen paralelně. Tím se mění i velikost zpětné vazby a tím i zesílení tranzistoru  $T_4$  v rytmu signálu multivibrátoru (D – kolektor, S – emitor).

Bude-li tedy např. na okamžik na elektrodě G tranzistoru  $T_3$  signál z multivibrátoru, bude odpor přechodu S–D velmi malý a zmenší se i stupeň zpětné vazby; zesílení  $T_4$  bude velké. Tak se dosáhlo požadované modulace nf signálu napětím multivibrátoru; výstupní signál na kolektoru  $T_4$  bude mít tvar podle obr. 20c.



Obr. 21. Zapojení doplňku ke kytarě – tremola

Člen  $RC$ ,  $R_0$ ,  $C_3$  omezuje vliv kolísání napájecího napětí pro  $T_1$  v závislosti na činnosti multivibrátoru. Odpor  $R_{13}$  spolu s kondenzátorem  $C_3$  a odporem  $R_{14}$  tvoří dělič napětí, kterým se upravuje pracovní bod tranzistoru  $T_3$  v závislosti na výstupním napětí multivibrátoru.

Přepínač  $Pf_1$  připojuje napájecí napětí,  $Pf_2$  slouží k volbě tremola – bez tremola.

Vstupní odpor zařízení je 56 k $\Omega$ , vstupní napětí do 300 mV jsou zpracovávána se zkreslením menším než 2 %. Výstupní odpor je 4,7 k $\Omega$ .

Byl-li by požadavek měnit nejen kmitočet, ale i velikost (výraznost) tremola, lze mezi elektrody  $D$  a  $S$  tranzistoru  $T_3$  zapojit proměnný odpor asi 47 k $\Omega$ . Čím bude tento odpor menší, tím menší bude i hloubka modulace, tím méně výrazné tedy tremolo bude.

Pokud jde o náhradu součástek, lze jako  $T_1$  a  $T_2$  použít libovolné nf tranzistory, křemíkové nebo germaniové. Jako  $T_3$  by bylo třeba vyzkoušet KF520 nebo 521, jako  $T_4$  lze bez změny zapojení použít např. KC508 (KC148). Na ostatní součástky nejsou kladeny žádné zvláštní nároky. V originálu jsou sice použity kapkové tantalové kondenzátory, pro správnou činnost zařízení to však není podmínkou.

ELO, červen 1976

### Fuzz pro elektronickou kytaru

Tento článek má v originálu titul, který, přesně přeložen, by zněl „Žádá se zkreslení – s fuzzem pro kytaru“. Autor tím chtěl naznačit skutečnost, že v podstatě všechny elektronické doplňky tohoto typu pro hudební nástroje, jako je elektronická kytara, se konstruují jako „zkreslovače“ signálu, který poskytuje snímač kytary nebo mikrofon. Elektronické doplňky pak mění nejen charakter výsledného zvuku, ale i jeho barvu – ke zcela zvláštním efektům lze pak použít např. několik snímačů, jejich signály různě upravovat a po úpravě smíchat – tím lze získat „přehrášili“ nejrůznějších zvuků a současně i zábavu pro volné chvíle, v níž je vhodně spojena tvořivá technická činnost s činností hudební.

Fuzz sám o sobě je zařízení, které z původně sinusových nebo téměř sinusových signálů vytváří signály pravouhlého tvaru s velkým obsahem harmonických kmitočtů. Fuzz se obvykle konstruuje tak, že se v něm signál ze snímače zesiluje na takovou úroveň, aby byl zesilovač fuzzu přebuzen. V popisovaném zařízení je pak za přebuzený zesilovač zařazen ještě Schmittův klopný obvod, který upravuje omezený sinusový signál (vznikl přebuzením zesilovače) na signál přesně pravouhlého tvaru.

Zesilovač fuzzu je na obr. 22 – skládá se z tranzistorů  $T_1$  a  $T_2$ . Díky přímé vazbě mezi stupni zesilovače a zpětné vazbě z emitoru  $T_2$

na bázi  $T_1$  pracuje zesilovač dobře i při širokých mezích napájecího napětí (5 až 12 V). Jsou-li použity součástky podle obr. 22, má zesilovač zisk asi 40 dB, tj. zesílení 100. Vstupní odpor je asi 200 k $\Omega$ . Zesilovač lze snadno upravit – chceme-li získat zesílení v závislosti na kmitočtu přiváděného signálu, stačí zaměnit odporový dělič ve zpětné vazbě za články  $RC$ .

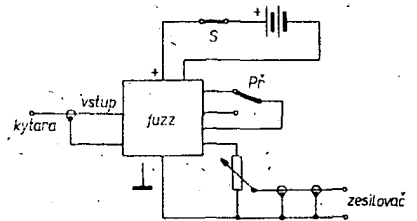
Odběr proudu zesilovače je asi 2 mA.

Aby se získalo více druhů signálů, je výstupní signál zesilovače, kromě toho, že se vede na následující tvarovací obvod, přiveden i na kontakt 2 přepínače, takže připojeným výkonovým zesilovačem lze zesilovat nejen signál za tvarovačem, ale i výstupní signál ze zesilovače.

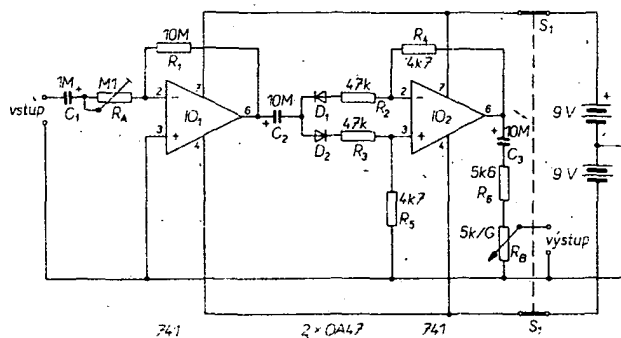
Tvarovací obvod (Schmittův klopný obvod) je osazen tranzistory  $T_3$  a  $T_4$ . Je-li vstupní napětí pro tvarovač malé, bude uzavřen tranzistor  $T_3$  a povede tranzistor  $T_4$ . Zvětšuje-li se vstupní napětí tak, že bude větší než určitá úroveň, daná mezi překlopení tvarovacího obvodu, povede  $T_3$  a uzavře se  $T_4$ . Přitom napětí potřebné k překlopení klopného obvodu do původního klidového stavu je menší, než napětí, potřebné k překlopení klopného obvodu z klidového stavu – tomuto rozdílu obou napětí se říká hystereze. V našem případě je hystereze určena prahovým napětím tranzistoru  $T_3$  a odporem 330 k $\Omega$  v bázi  $T_3$  – bude-li tento odpor nahrazen větším odporem, lze měnit činnost celého zapojení, místo klopného obvodu dostaneme zesilovač.

Výstupní signál z tvarovacího klopného obvodu se vede na kontakt 1 přepínače  $Pf$ .

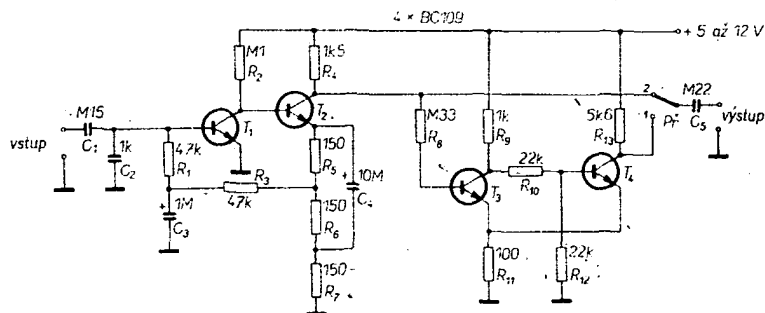
Vhodné mechanické uspořádání fuzzu je na obr. 23. Autor původního článku vestavěl



Obr. 23. Příklad možného uspořádání fuzzu a ovládacích prvků



Obr. 24. Zdvajovač kmitočtu pro kytaru s operačními zesilovači



Obr. 22. Zapojení fuzzu pro kytaru; tranzistory  $T_1$  a  $T_2$  tvoří přebuzený zesilovač a tranzistory  $T_3$  a  $T_4$  tvarovač (Schmittův klopný obvod) výstupních signálů.

fuzz na desce s plošnými spoji do podlouhlé skříňky, u níž se velikost výstupního signálu reguluje nožním pedálem, umístěným na jedné straně skříňky, přepínač je na druhé straně skříňky a ovládá se též nohou.

Vstupní a výstupní signál je třeba vést stíněnými kabely, jinak by mohl být užitečný signál narušen brumem.

Jako tranzistory byly v originálu použity univerzální křemíkové typy n-p-n BC173B, BC109 atd. Lze je bez změny zapojení nahradit našimi typy KC509 v kovovém, nebo KC149 v plastickém pouzdře.

Vzhledem k tomu, že zapojení je velmi jednoduché a umožňuje navíc různé experimenty, při nichž lze jednak ověřovat činnost obou základních obvodů při změně jednotlivých součástek a jednak i „dělat hudbu“, lze ho doporučit k realizaci i těm méně zkušeným.

ELO č. 4/1977

### Zdvajovač kmitočtu pro kytaru

Dalším ze zajímavých obvodů pro elektronické kytary je zařízení, jímž lze získat ze vstupního signálu o určitém kmitočtu výstupní signál o dvojnásobku tohoto kmitočtu. Zdvajování kmitočtu výstupního signálu se dosahuje jednoduchým způsobem: celovlnným usměrněním zesíleného vstupního signálu. Přitom se výstupní signál pochopitelně značně zkresluje, což výrazně mění i jeho barvu vzhledem ke vstupnímu signálu.

V zapojení na obr. 24 pracuje  $IO_1$  jako zesilovač signálu z kytarového snímače, signál se upravuje na velikost vhodnou ke zpracování v usměrňovači s diodami  $D_1$  a  $D_2$ . Odporový trimr  $R_A$  je třeba nastavit tak, aby na společném bodu obou diod a elektrolytického kondenzátoru  $C_2$  bylo efektivní napětí asi 4 V – to odpovídá vstupnímu napětí kolem 50 mV. Při tomto napětí na diodách je na výstupu druhého operačního zesilovače efektivní napětí asi 180 mV, které lze upravit napětovým děličem  $R_6$  a  $R_8$  tak, že dostaneme výstupní napětí v rozsahu 0 až asi 80 mV.

Druhý operační zesilovač pracuje tak, že záporné půlvlny vstupního sinusového napětí za  $D_1$  jsou vedeny na invertující vstup, takže se na výstupu objeví v kladné polaritě.

Kladné půlvlny za diodou  $D_2$  přejdou na výstup  $IO$  bez změny. V důsledku toho bude mít signál na výstupu druhého operačního zesilovače vzhledem k signálu na vstupu dvojnásobný kmitočet.

Požaduje-li uživatel zařízení menší obsah harmonických kmitočtů ve výstupním signálu, lze paralelně k potenciometru  $R_8$  připojit kondenzátor s kapacitou kolem 22 nF.

Použité operační zesilovače jsou typy 741, lze je nahradit tuzemskými ekvivalentními výrobky MAA741, popř. operačními zesilovači řady MAA500, u nichž se udělá kmitočtová kompenzace, odpovídající přenesenému kmitočtovému pásmu (nf).

Practical Electronics, srpen 1977

## Elektronická siréna

Jako varovný signál je nejhodnější signál, u něhož se mění jak hlasitost, tak i výška tónu (zdánlivě nebo i ve skutečnosti). Jedno z nejednodušších zapojení zdroje takového signálu je na obr. 25 – jde o elektronickou sirénu, k jejímuž výstupu lze přímo připojit reproduktor. V původním článku je siréna určena jako součást hlídacího zařízení pro motorová vozidla, napájí se tedy ze zdroje 12 V (z akumulátoru) a doplňuje se čidlem, které ji spouští.

Tranzistory  $T_1$  a  $T_2$  tvoří multivibrátor, tranzistor  $T_3$  a  $T_4$  pracují jako nf zesilovač. Protože multivibrátor dodává tón určité amplitudy a hlasitost sirény musí kolísat (tón musí být modulován), musí se tranzistor  $T_1$  a  $T_2$  vybrat tak (důvod vyplývá z dalšího výkladu), aby jejich zesilovací činitel byl větší než 250 (malá změna předpětí bázi musí vyvolat velkou změnu proudu kolektoru).

Multivibrátor pracuje s časovými konstantami, danými články  $RC - C_1, R_1, C_2, R_2$ . Těmi je dán výstupní signál určitého konstantního kmitočtu (a konstantní amplitudy). Tento střídavý signál se dále zpracovává dvojovacím napětím s kondenzátory  $C_3$  a  $C_4$  a diodami  $D_1$  a  $D_2$ . Tím se získá záporné napětí, které přes proměnný odpor  $R_A$  mění napětí na kladné elektrodě elektrolytického kondenzátoru  $C_5$  (asi o 1 V). V důsledku toho bude i na bázi tranzistorů  $T_1$  a  $T_2$  „méně kladné“ předpětí. Tím se změní jak amplituda, tak i kmitočet výstupního signálu.

Při zmenšujícím se výstupním napětí se bude i nadále usměrněné napětí (diodou  $D_1$ ) na kondenzátoru  $C_5$  stále zmenšovat, což bude mít za následek, že se kmitočet i ampli-

tuda výstupního signálu opět zvýší na původní velikost. Nastavení odporových trimrů  $R_A$  a  $R_B$  určuje velikost změny kmitočtu a amplitudy. Odporovým trimrem  $R_B$  se mění pracovní bod tranzistorů  $T_1$  a  $T_2$  – v základním zapojení by na jeho běh mělo být napětí asi 4,8 V. Pak by na anodě diody  $D_1$  mělo být napětí asi -4 V a na kladné elektrodě elektrolytického kondenzátoru  $C_5$  asi +0,5 V. Pro uvádění do chodu poslouží i napětí na kolektorech  $T_1$  (asi +7 V) a  $T_2$  (asi 6,5 V). To vše za předpokladu, že Zenerova dioda má Zenerovo napětí 7,5 V (za odporem  $R_7$ ).

Amplituda výstupního napětí na  $R_2$  je asi 7 V (mezivrcholová velikost), signál má nesymetrický pravouhlý průběh. Tento výstupní signál je na nf zesilovač navázán odporem  $R_3$ .

Sirénu lze napájet z libovolného zdroje napětí od 10 do 15 V, zmenší-li se odpor  $R_7$  asi na 150  $\Omega$  lze k napájení použít i zdroj 9 V.

Po uvedení do chodu se součástkami podle schématu lze sirénu „prověřit“ i s jinými součástkami článků  $RC$ : změnou  $C_1$  v mezích 5  $\mu F$  až 50  $\mu F$  lze ovládat rychlost změny amplitudy tónu, změnou  $C_3$  a  $C_4$  v mezích 47 nF až 0,15  $\mu F$  citlivost a „polohu“ tónu, změnou  $C_1$  a  $C_2$  v mezích 2,2 nF až 5,6 nF změnu kmitočtu základního tónu multivibrátoru.

Při náhradě polovodičových součástek použijeme jako  $T_1$  a  $T_2$  tuzemské tranzistory KC509 nebo KC149 bez změny v zapojení – současně je zaručeno, že tranzistory mají požadovaný zesilovací činitel (větší než 250). Jako  $T_3$  lze použít KF506 až KF508 (KFY34, KFY46), popř. opět KC509 nebo KC508,

jako koncový tranzistor bude pravděpodobně nevhodnější KD602, popř. jiný z řady KD600 nebo KD500, nebo i z řady KU.

Diody jsou univerzální křemíkové typy, nahradit je lze diodami buď z řady KA500 nebo KA200.

ELO č. 10/1977

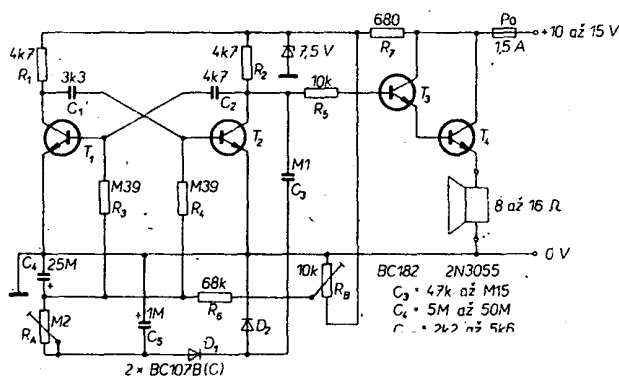
## Nf generátor signálu sinusového a pravouhlého průběhu

Jedním z nejpoužívanějších přístrojů v dílně i v laboratorii je generátor nf signálu, jímž lze zkoušet, měřit a čečkovat nf, číselnicová a mnoho dalších zařízení (např. otáčkoměry pro motorová vozidla apod.).

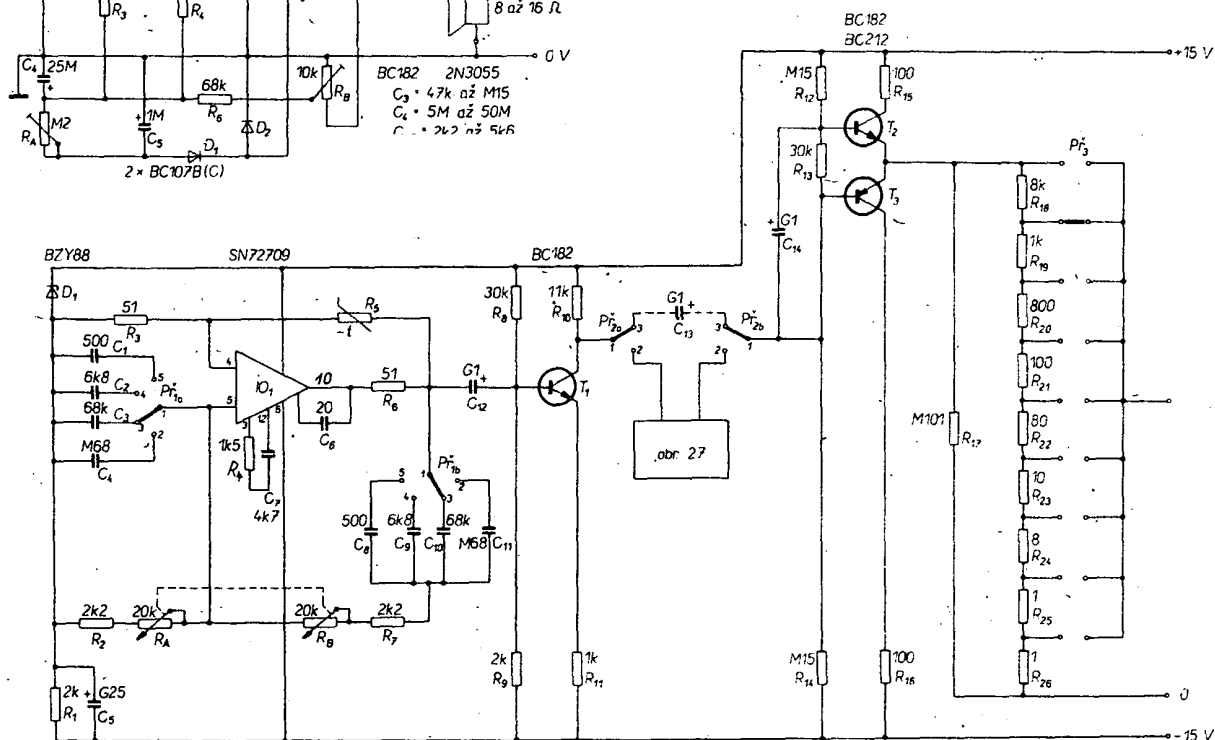
Jednoduchý nf generátor, který je vhodný pro běžné použití, je na obr. 26. Kmitočet výstupního signálu lze plynule měnit od 10 Hz do 100 kHz, maximální mezivrcholová hodnota výstupního signálu je 10 V a lze ji měnit po stupních až do 1 mV. Z výstupu lze napájet všechny zátěže až do 600  $\Omega$  (do výstupního napětí 10 mV) a přes 100 k $\Omega$  na rozsazích nad 20 mV.

Základem nf generátoru je oscilátor. V tomto zapojení je jako oscilátor s Wienovým můstkem použit integrovaný operační zesilovač typu SN72709 (ekvivalentem tuzemské výroby je MAA501, 502, 503 nebo 504). Jako zpětnovazební odpor, na němž závisí zesílení zesilovače, je použit termistor – teplotně závislý odpor. Základní zesílení je určeno poměrem odporů  $R_3$  a  $R_4$  a je asi 3. Obvod dále obsahuje kmitočtové kompenzační prvky  $C_7$ ,  $C_8$  a  $R_4$ , které zabezpečují stabilitu oscilátoru ve zvoleném kmitočtovém rozsahu.

Velikost výstupního napětí je tedy kontrolována termistorem – zvětší-li se napětí, termistorem protéká větší proud, tj. více se ohřívá, jeho odpor se zmenšuje; proto se zmenšuje i zesílení operačního zesilovače a výstupní napětí se tedy zmenší na požadovanou velikost. A stejně obráceně: zmenší-li se výstupní napětí, termistorem protéká menší proud, jeho odpor se zvětší a tím se



Obr. 25. Zapojení elektrické sirény s jednoduchým nf zesilovačem



Obr. 26. Zapojení nf generátoru s operačním zesilovačem pro kmitočty od 10 Hz do 100 kHz a s výstupním napětím až 10 V. Generátor má čtyři základní rozsahy, volené přepínačem  $P_1$ : údaj na stupnici krát 10, krát 100, krát 1000 a krát 10 000

zmenší i zpětná vazba, což má za následek větší výstupní napětí. Toto uspořádání dovo-luje dosáhnout konstantního výstupního na-pětí na vývodu 10 operačního zesilovače (číslování platí pro obvod v pouzdře DIL, tj. pro MAA503, u kulatého kovového pouzdra typů MAA501, 502, 504 je jako výstup zapojen vývod 6).

Oscilátor je v tomto zapojení vytvořen z operačního zesilovače kladnou zpětnou vazbou z výstupu přes kmitočtové selektivní články RC ( $C_8$  až  $C_{11}$  a  $R_8$ ) na neinverující vstup.

Kmitočet oscilátoru je určen vztahem

$$f = \frac{1}{2\pi RC}$$

Protože  $R_8$  má v sérii ještě pevný odpor, bude v rovnici pro výpočet kmitočtu osciláto-ru odpor  $R$  reprezentován součtem odporu potenciometru  $R_8$  (zapojeného jako pro-měnný odpor) a odporu  $R_7$ , 2,2 kΩ. Jako  $C$  se do vztahu dosazuje kapacita kondenzáto-ru, zvoleného přepínačem  $Pf_1$ .

Protože je charakteristickým jevem pro operační zesilovač typu 749, že je jeho výstupní signál, překročí-li určitou velikost (na vysokých kmitočtech), dosti zkreslen, je výstupní signál omezen na několik voltů. Zenerova dioda zajišťuje spolu s odporem  $R_{11}$ , že je výstupní signál souměrný vzhledem k „zemi“, tj. k 0 V.

Výstupní signál z operačního zesilovače se vede na zesilovací tranzistor  $T_1$  přes oddělo-vací kondenzátor 100 μF. Zesílený signál se snímá z odporu v kolektoru  $T_1$ , vede se na přepínač  $Pf_2$  a z něho buď do tvarovacího obvodu (viz obr. 27), nebo přímo na koncový zesilovač s tranzistorem  $T_2$  a  $T_3$ . Na výstupu generátoru je zapojen dělič s odpory  $R_{18}$  až  $R_{26}$ , z jednotlivých odporů lze snímat napětí 1 mV až 10 V. Zátěže do 600 Ω na rozsazích 1 až 10 mV a nad 100 kΩ (na ostatních rozsazích) nemají vliv na velikost výstupního napětí jednotlivých rozsahů generátoru.

Přepne-li se přepínač  $Pf_2$  do polohy 2, vede se signál do tvarovače, který upravuje sinusové napětí na napětí pravoúhlého prů-běhu. Tranzistory  $T_1$  a  $T_2$  (obráz. 27) tvoří Schmittův klopný obvod; je-li např.  $T_1$  uzav-řen, je  $T_2$  otevřen, neboť jeho báze je napájena přes odpory  $R_4$  a  $R_6$  ze zdroje -15 V. V tomto stavu obvod setrvá tak dlouho, dokud bude na bázi  $T_1$  kladná půlvlna sinusového signálu (přes  $R_1$ ). V okamžiku, kdy sinusovka vstupního signá-lu bude procházet vodorovnou osou a začne se měnit její úroveň na zápornou (napětí se rovná nule), na bázi  $T_1$  se začne zvětšovat záporné napětí (záporná část sinusovky), první tranzistor povede a napětí na jeho kolektoru se začne zmenšovat. Tato změna se přenesle přes emitor  $T_2$  i na emitor  $T_1$  a „donutí“ tento tranzistor, že se „vypne“

mnohem rychleji, než při běžném zapojení. Podobný pochod proběhne i při změně zá-porné části sinusovky na kladnou. Výsled-kem bude napětí pravoúhlého průběhu na kolektorech  $T_1$  a  $T_2$  – signál z  $T_2$  se pro další zpracování zesílí na ±10 V tranzistorem  $T_3$  a vede na vývod 2 přepínače  $Pf_2$  a z něho opět na koncový zesilovač a na výstupní dělič.

Vhodný napájecí zdroj pro generátor je na obr. 28. Síťový transformátor má sekundární napětí 40 V.

Stejnoseměrné napětí na  $C_1$  má být asi 55 V.

A ještě k součástkám generátoru: číslování vývodů operačního zesilovače SN72749 odpovídá našemu typu MAA503, jako  $T_1$  lze použít KF508, jako  $T_2$  a  $T_3$  doplňkovou dvojici KF507/KF517, popř. KFY46/ /KFY18. Dvojici  $T_1$  a  $T_2$  Schmittova klopného obvodu lze nahradit tranzistorem KF517, jako  $T_3$  lze použít opět KF508.

Pro správnou činnost je třeba mít dvojitý potenciometr ( $R_A$  +  $R_B$ ) s co nejlepším sou-během a linearitou odporových drah a kon-denzátory  $C_1$  až  $C_4$  a  $C_6$  až  $C_{11}$  s tolerancí 1 %. Pak pro nejčastěji se vyskytující maximální úhel otočení hřídele dvojitého potenciomet-ru  $R_A$  +  $R_B$  (většinou 285°) platí při cejcho-vání následující tabulka (tab. 3).

Practical Electronics, červen 1975

Tab. 3. Údaje ke kalibraci generátoru

Kmitočet [kHz]	Odpor potenco- metru $R_A$ ( $R_B$ ) [kΩ]	Násobič <sup>1)</sup>	Typický úhel <sup>2)</sup> natočení [°]
1,05	20,10	1,000	285
1,5	13,40	0,652	190
2	9,50	0,475	135
2,5	7,16	0,358	102
3	5,60	0,280	78,8
3,5	4,49	0,224	64
4	3,65	0,182	52
4,5	3,00	0,150	43
5	2,48	0,124	35
5,5	2,05	0,100	28,5
6	1,70	0,085	24
6,5	1,40	0,07	20
7	1,14	0,057	16
7,5	0,92	0,046	12,8
8	0,72	0,036	10,2
8,5	0,55	0,028	7,9
9	0,40	0,020	5,7
9,5	0,26	0,013	3,7
10	0,14	0,007	1,9
10,6	0,01	0,000	0

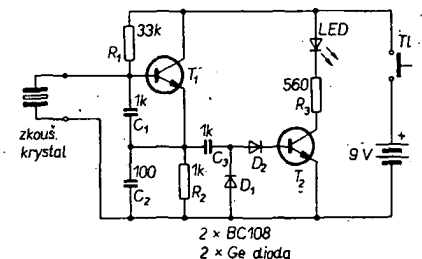
<sup>1)</sup> Násobič slouží k získání potřebného údaje o vzdá-lenosti nebo o úhlu mezi dvěma sousedními body stupnice.

<sup>2)</sup> Tento údaj slouží k nakreslení stupnice, použije-li se např. přesný úhломěr. Přičemž 0° odpovídá kmitočtu 10,6 ve zvoleném rozsahu, 285° kmitočtu 1 ve zvoleném rozsahu (např. 10,6 až 1 kHz).

## Jednoduchý zkoušeč krystalů

Často je třeba zjistit, nekmitá-li krystalový oscilátor „díky“ krystalu, nebo je-li chyba v zapojení. V takovém případě poslouží jednoduchý zkoušeč, jehož schéma je na obr. 29.

Zkoušeč pracuje aperiodicky, tzn. že ho není třeba nijak nastavovat. Zkoušený krys-tal je zapojen spolu s tranzistorem  $T_1$  a se součástkami  $R_1$ ,  $C_1$ ,  $R_2$ ,  $C_2$  jako Colpittsův oscilátor, který kmitá na kmitočtu krystalu. Vf napětí z oscilátoru se usměrňuje v napěto-vém zdvojovalci s diodami  $D_1$  a  $D_2$  a s kon-denzátorem  $C_3$  a otvírá tranzistor  $T_2$ . V ko-lektoru tranzistoru je zapojena svítivá dioda (LED), která bude svítit více či méně v závis-



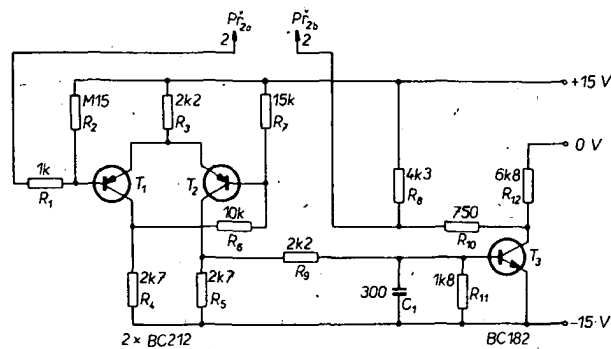
Obr. 29. Jednoduchý zkoušeč krystalů s indi-kací svítivou diodou. Zkoušeč je zapojen jako Colpittsův oscilátor.

losti na velikosti usměrňovaného a zdvojova-ného vf napětí, z čehož lze částečně usuzovat i na jakost použitého (zkoušeného) krystalu. Vadné krystaly pochopitelně diodu neroz-svítlí.

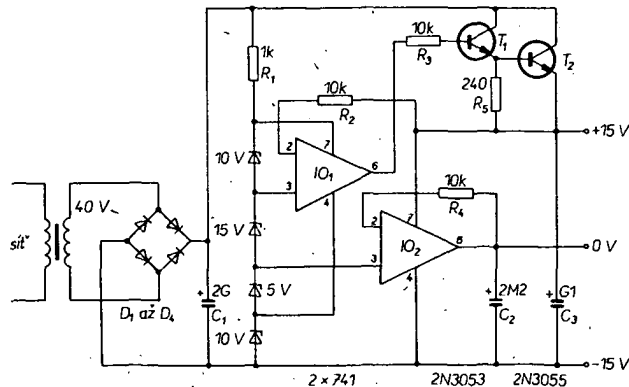
Na výstup oscilátoru by bylo pochopitelně možno připojit i nějaký měřič kmitočtu, pak by zkoušeč mohl být použit i k identifikaci kmitočtu, na němž krystal kmitá.

Pro zkoušení krystalů do souprav pro dálkové řízení modelů, do hodin, do občan-ských radiostanic apod. lze jako  $T_1$  a  $T_2$  použít libovolné tzv. nf křemíkové tranzisto-ry jako např. KC508, KC148 apod., lze samozřejmě použít i tranzistory vf, např. KF525 apod. Diody jsou univerzální, germa-niové, např. z řady GA. Svítivá dioda je univerzální typ. Kondenzátory jsou keramíc-ké, tlačítko slouží jako spínač napájecího napětí, protože ke kontrole neporušenosti krystalu stačí přivést napájecí napětí pouze na okamžik.

Bude-li zkoušeč používán např. v mode-lářském kroužku nebo v radioklubu, tj. častěji, je výhodné opatřit ho objímkou pro zkoušené krystaly, v opačném případě lze krystal připojovat i např. krokosvorkami. ELO č. 12/1977



Obr. 27. Tvarovací obvod, v němž se upra-vuje vstupní sinusové napětí na napětí pra-vouhlého průběhu



Obr. 28. Zapojení zdroje, vhodného k napájení generátoru na obr. 26. Protože zdroj je navržen na souměrnou zátěž představovanou generátorem nf signálu na obr. 26, bude pracovat pouze s ním – nelze ho proto použít jako univerzální zdroj pro jiné účely!

## Nf generátor jako stavebnice

V zahraničí jsou velmi oblíbeny jednoduše-  
lové stavebnice nejrůznějších přístrojů, od  
jednoduchých až po značně složitě – typic-  
kým příkladem byla např. stavebnice kalku-  
lačky, popsána v AR před několika lety.  
Stavebnice bývají obvykle velmi dobře pro-  
pracované a bezpečně splňují technické úda-  
je, uvedené v jejich příloze.

Jednou ze zajímavých stavebnic, které  
vyvinula a uvedla na trh firma ITT, jeden  
z největších světových výrobců polovodič-  
ových součástek, je stavebnice nf generátoru.  
Generátor dodává sinusový signál o kmitočtu  
20 až 200 000 Hz ve čtyřech základních  
rozsazích 20 až 200 Hz, 200 až 2000 Hz, 2 až  
20 kHz, 20 až 200 kHz. Při správném nastave-  
ní má výstupní signál zkreslení menší než  
1 %. Výstupní impedance je 10 až 70 Ω a je  
závislá na nastavení potenciometru, jímž se  
reguluje úroveň výstupního signálu. Maxi-  
mální úroveň výstupního napětí je 1 V.

Schéma generátoru je na obr. 30. Generá-

a napětově závislý odpor – žárovku 6 V/  
50 mA. Žárovka představuje napětově zá-  
vislý odpor s kladným teplotním součinitelem  
– její odpor se se zvyšující se teplotou  
zmenšuje. Zvětší-li se výstupní napětí nad  
zvolenou velikost, vlákno žárovky se ohřeje,  
jeho odpor se zmenší a zpětnovazební napětí  
se zvětší. Proto se zmenší i zesílení tranzistoru  
T<sub>1</sub>, neboť se napětí báze přiblíží napětí  
emitoru.

Stejný jev v opačném smyslu nastává při  
zmenšení napětí na výstupu.

Základní úroveň zpětné vazby lze nastavit  
proměnným odporem R<sub>13</sub> (trimr 220 Ω).  
Trimr se nastavuje tak, aby při běžci regula-  
toru úroveň výstupního napětí v horní poloze  
bylo výstupní efektivní napětí asi 1 V.

Aby byly pracovní podmínky generátoru  
co nejstálší, je přístroj napájen ze síťového  
zdroje stejnosměrným napětím 24 V. V ori-  
ginálním zapojení se toto napětí získává  
zdvojovacím napětím; při praktické realizaci  
by však postačilo použít transformátor se  
sekundárním napětím asi 18 až 20 V a to

usměrnit buď dvojcestně nebo můstkově.  
Jako vyhlázkovací kondenzátor by pravděpo-  
dobně stačil jeden kondenzátor o kapacitě  
1000 až 2000 μF. Pro vyšší nároky by bylo  
vhodné stabilizovat napájecí napětí Zenero-  
vou diodou (7 nebo 8NZ70).

Použité polovodičové prvky lze nahradit  
tuzemskými součástkami takto: T<sub>1</sub> – křemi-  
kový tranzistor n-p-n, např. KC508  
(KC148), T<sub>2</sub> – křemíkový tranzistor p-n-p,  
např. GC520 nebo GC521. Žárovka je  
běžná, typ pro kapesní svítilny (nebo tzv.  
telefonní) pro napětí 6 V a proud 50 mA.

Stavební návody ITT

## Elektronické hry

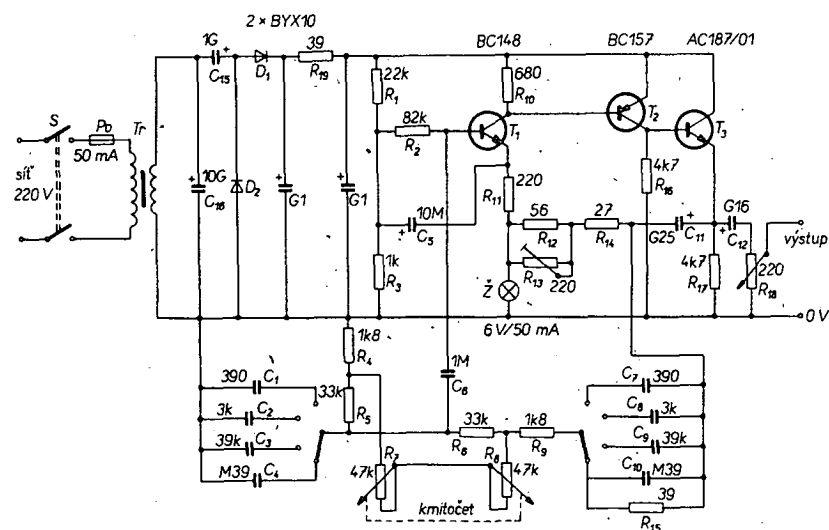
Velmi vhodnými předměty amatérských  
konstrukcí, při nichž lze snadno vnikat nená-  
silně do tajů např. číslicové techniky, jsou  
nejrůznější „transformace“ původně mecha-  
nických her a hraček. V tomto časopisu bylo  
popsáno již několik náhrad různých spole-  
čenských her elektronickými přístroji, napo-  
sledy to byla např. ruleta, několikrát byla  
popsána elektronická kostka, přístroj pro  
náhodnou volbu čísel loterie apod.

Dnes si popíšeme několik dalších elektro-  
nických náhrad původně mechanických her.

### Elektronické „tahání sirek“

V originálu se tento druh her nazývá  
Knobelspiel, v češtině není přesný ekvivalent  
tohoto slova, který by dokonale popsal tuto  
hru. Jde vlastně o druh elektronické hry,  
která u nás byla již popsána a která se nazývá  
NIM. Hra vznikla pravděpodobně tak, že se  
hledal způsob, jak demonstrovat „intelligen-  
ci“ počítače např. při exkurzi většího počtu  
zájemců ve výpočetním středisku. Jeden  
z návštěvníků pak hrál tuto hru s počítačem  
jako protihráčem – a ve valné většině případů  
prohrál.

Zapojení hry je na obr. 31. Pravidla hry  
jsou velmi jednoduchá: dva hráči přidávají



Obr. 30. Nf generátor s výstupním napětím 0 až 1 V, kmitočtový rozsah 20 Hz až 200 kHz, zkreslení max. 1 %

tor má tři přímovězané stupně. Kmitočt  
určující články RC se skládají z kondenzáto-  
rů C<sub>1</sub> až C<sub>10</sub> a odporů R<sub>4</sub> až R<sub>9</sub>. Celá tato  
odporově kondenzátorová „síť“ není nic  
jiného, než kombinace dvou filtrů – dolní  
a horní propusti. Signály vysokých kmitočtů  
jsou ve Wienově můstku zkratovány konden-  
zátozem C<sub>2</sub>, signály nízkých kmitočtů zesla-  
beny kondenzátorem C<sub>1</sub>. Přitom však existu-  
je signál jednoho kmitočtu, jehož úroveň je  
značná – jde o kmitočt f<sub>r</sub>, rezonanční kmito-  
čet článku RC, jehož velikost je určena  
vztahem

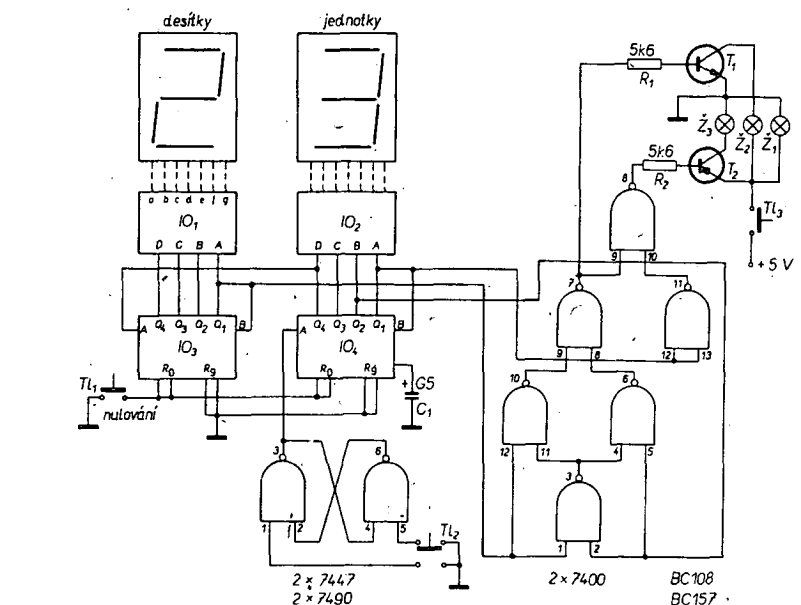
$$f_r = \frac{1}{2\pi RC}$$

Rezananční kmitočt lze měnit potenciomet-  
ry (proměnnými odpory) R<sub>7</sub> a R<sub>8</sub>.

Tranzistor T<sub>1</sub> zesiluje střídavý signál mezi  
svou bází a kolektorem a otáčí současně jeho  
fázi o 180°. Stejně pracuje i T<sub>2</sub>. Tranzistor T<sub>3</sub>  
je zapojen jako emitorový sledovač, měnič  
impedance. Emitorový sledovač fázi signálu  
neotáčí, proto má signál na jeho bázi i emito-  
ru fázový posuv 360° (2 × 180°). Vstupní  
a výstupní signály jsou tedy ve fázi.

Větev kladné zpětné vazby, která zabez-  
pečuje rozkmitání oscilátoru, je tvořena ces-  
tou C<sub>11</sub> – zvolené prvky článků RC. Touto  
cestou se dostává část výstupního napětí zpět  
na vstup (přes C<sub>6</sub> na bázi T<sub>1</sub>).

Aby byla amplituda výstupního signálu  
v celém kmitočtovém rozsahu generátoru co  
nejstálší, je použita další, tentokrát zápor-  
ná zpětná vazba, a to přes C<sub>11</sub>, R<sub>14</sub>, R<sub>13</sub>,



Obr. 31 Zapojení elektronické hry (varianta  
hry NIM) se sedmissegmentovými minitrono-  
vými displeji. Číslo u vývodů hradel NAND  
odpovídají vývodům pouzdra integrovaného  
obvodu MH7400 (jsou třeba dvě pouzdra).  
Doplňkovou dvojici tranzistorů lze nahradit  
tuzemskými typy KF507 a KF517. Žárovky  
jsou tzv. telefonní pro napětí 6 V a proud

50 mA. Při použití jiných dekodérů-budičů  
(MH74141) by k indikaci bylo možno použít  
i běžné dostupné digitrony

střídavě jednotlivá čísla od 1 do 3 včetně základu, začínajícímu nulou. Ten hráč, který jako první dosáhne určitého celkového počtu (např. 25, 45, 65 nebo 85), je vítězem hry. Jednoho z hráčů reprezentoval v uvedeném příkladu počítač, v našem případě je počítač velmi zjednodušen na „elektronického“ hráče, jehož schéma zapojení je částí celkového zapojení hry na obr. 31. Skutečný hráč v našem případě tedy přidává k základu střídavě jednak to číslo, které si zvolil sám, a jednak číslo podle volby přístroje.

Aby přístroj byl co nejjednodušší, vkládají se čísla do přístroje (čili přičítají se k základu) tlačítkem  $Tl_1$  jak při hře přístroje, tak při hře (tahu) skutečného hráče.

Na začátku každé hry se tlačítkem  $Tl_1$  nastaví na minitronovém ukazovateli stav 00, tj. 0 desítek, 0 jednotek. Pak se tlačítkem  $Tl_2$  (obě hradla NAND v sérii s tlačítkem tvoří tzv. bezzámitový spínač, je použita jedna polovina obvodu 7400) zvolí číslo 1, 2 nebo 3, tj. tlačítko se stiskne jednou, dvakrát nebo třikrát. Vzniklé impulsy se čítají desítkovými čítači 7490 a přes dekodéry – budiče typu BCD 7447 se pak rozsvítí odpovídající číslo na minitronovém displeji (sedmissegmentová indikace). Minitrony tedy indikují po každém herním kroku celkový stav hry (součet všech impulsů, tj. stisků  $Tl_2$  od zahájení hry).

Stav čítačů se dále přenáší přes obvod logiky ze šesti hradel NAND a tranzistor (p-n-p nebo n-p-n) na jeden pól žárovek  $Z_1$  a  $Z_2$ . Stiskne-li hráč tlačítko  $Tl_3$ , ukáže přístroj počtem rozsvícených žárovek, jaké číslo do hry volil, tj. jaké číslo od 1 do 3 musí hráč v zastoupení přístroje k původnímu stavu, indikovanému minitrony, přičíst, tj. kolikrát musí hráč stisknout tlačítko  $Tl_2$  za přístroj.

Kdo hru začíná, je zcela lhostejné. Má-li hru zahájit přístroj, je třeba nejprve stisknout tlačítko  $Tl_1$ , zjistit počet svítících žárovek a podle jejich počtu stisknout tlačítko  $Tl_2$ . Pak hráč stiskne tlačítko  $Tl_2$  podle své volby.

V zapojení je velmi důležitý kondenzátor  $C_1$ , který by měl být umístěn co nejbližší k  $IO_4$  mezi příklady napájecího napětí. V opačném případě mohou impulsy, vznikající ve větvi napájecího napětí při spínání tranzistorů a žárovek mít za následek falešné spouštění čítačů a tím i chybnou indikaci na minitronech.

Kdo nezná logiku této hry, bude velmi překvapen tím, že „přístroj“ téměř vždy vyhrává. Teprve po odhalení zákonitosti hry nemá přístroj žádnou šanci na vítězství.

Přístroj byl v originále zkonstruován na dvou deskách s plošnými spoji. Na jedné desce byly umístěny minitrony a integrované obvody  $IO_1$  a  $IO_2$ , ostatní součásti byly na druhé desce.

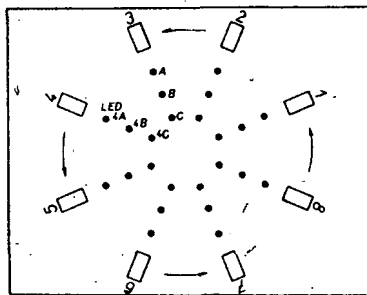
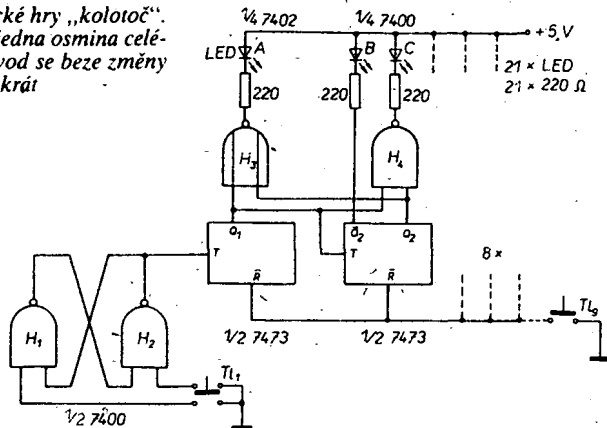
Přístroj lze napájet ze čtyř článků 1,5 V nebo ze stabilizovaného síťového zdroje s výstupním napětím 5 V.

Funkschau č. 25/1974

### Kolotoč

Pod tímto názvem byla uveřejněna společenská hra, jejímž charakteristickým rysem je důležitost zvolit určitou strategii „boje“. Ke hře je třeba běžná hrací kostka, hru mohou hrát dva hráči. Hráči střídavě házejí kostkou a příslušný počet „ok“ kostky vkládají pak do přístroje (stisknutím příslušného tlačítka) – obr. 32. Přitom platí toto pravidlo: každému hráči „patří“ polovina hracího pole (obr. 33) se čtyřmi tlačítky s dvanácti svítivými diodami. Podle počtu ok na kostce stiskne hráč odpovídající počet tlačítek (ve směru

Obr. 32. Zapojení strategické hry „kolotoč“. Na obrázku je nakreslena jedna osmina celého zapojení – uvedený obvod se beze změny opakuje osmkrát



Obr. 33. Uspořádání hracího pole. Tlačítka se stisknou pouze ve směru šipek, každému z hráčů patří jedna polovina hracího pole. Tlačítka jsou umístěna po obvodu hracího pole, ke každému z nich patří tři svítivé diody v řadě

šipky) za sebou, nesmí žádné vynechat. Místo startu (tj. číslo tlačítka, které stiskne jako první) si každý hráč volí libovolně po každém hodu kostkou s tím omezením, že startovat musí na své polovině hřiště.

(Např.: hráč A hodil kostkou, na kostce se objevilo pět ok. Jako startovací místo zvolí tlačítko 1 a stiskne tedy tato tlačítka: 1, 2, 3, 4 a 5. Hráč B hodí tři oka, jako startovací zvolí tlačítko 6 a stiskne tedy tlačítka: 6, 7 a 8).

Po každém stisknutí tlačítka se pak rozsvítí jedna ze svítivých diod, které jsou s ním v řadě, a zůstane rozsvícena. Stiskne-li se tedy během hry totéž tlačítko, budou svítit všechny tři diody v řadě. Po čtvrtém stisknutí tlačítka všechny tři diody zhasnou. Tento jev vede ke strategii hry, neboť celou hru vyhrává ten hráč, na jehož hracím poli jsou rozsvíceny všechny diody. Vhodnou volbou startu (prvního tlačítka) lze totiž zničit soupeřovy šance na výhru tím, že mu „pozhasináme“ co největší počet rozsvícených trojic diod.

K pravidlům hry je třeba dodat, že je zcela lhostejno, zvítězí-li hráč svým vlastním přičiněním, nebo chybou (nevhodnou strategií, špatnou volbou startu) soupeře. Je tedy jedno, rozsvítí-li se všechny diody po našem vlastním tahu, nebo po tahu soupeře.

Pokud jde o elektrické zapojení, je základní část hracího „strojek“ na obr. 32. V přístroji se opakuje osmkrát. Jedno oko kostky se vkládá do přístroje stisknutím jednoho z tlačítek  $Tl_1$  až  $Tl_8$  (na obrázku je pouze

jedno  $Tl_1$ ). Tlačítko je pro bezzámitové sepnutí doplněno dvěma hradly NAND. Záporná hrana stisknutím tlačítka vzniklého impulsu budi oba do série zapojené klopné obvody J-K (jedno pouzdro 7473). Výstupy těchto klopných obvodů budi přes logiku z hradla NOR a hradla NAND svítivé diody. Způsob dekodování je zřejmý z tabulky.

Tab. 4. Způsob dekodování pro zapojení z obr. 32

Takt	Výstupy	LED (obr. 33)
0	$\bar{Q}_1 \bar{Q}_2 \bar{Q}_3 \bar{Q}_4$	—
1	H L H L	A
2	H L L H	AB
3	L H L H	ABC
4	H L H L	—

Z tabulky pro LED A platí

$$A = Q_1 Q_2 + \bar{Q}_1 Q_2 + Q_1 \bar{Q}_2$$

Po použití minimalizační metody (Karnaugh, Quine-McCluskey) lze odvodit vztah ve zjednodušené formě

$$A = Q_1 + Q_2$$

Použije-li se hradlo NOR, platí vztah

$$\bar{A} = Q_1 + Q_2$$

Z tabulky dále platí pro LED B

$$B = \bar{Q}_1 Q_2 + Q_1 \bar{Q}_2$$

Po minimalizaci odvodíme vztah

$$B = Q_2$$

Aby bylo možno budit i tento LED signálem o úrovni L, musí být připojen k výstupu  $\bar{Q}_1$ .

Pro LED C lze z tabulky ihned zjistit, že

$$C = \bar{Q}_1 Q_2$$

Hradlo NAND bude mít i v tomto případě na výstupu úroveň L.

Všechny úlovační výstupy klopných obvodů jsou spojeny a vyvedeny na tlačítko  $Tl_9$ . Před zahájením hry zhasnou po stisknutí tohoto tlačítka všechny rozsvícené svítivé diody.

K napájení přístroje je třeba zdroj napětí 4,7 až 5 V. Odběr proudu je max. 400 mA. ELO č. 2/1977

### Kaliber – elektronický terč

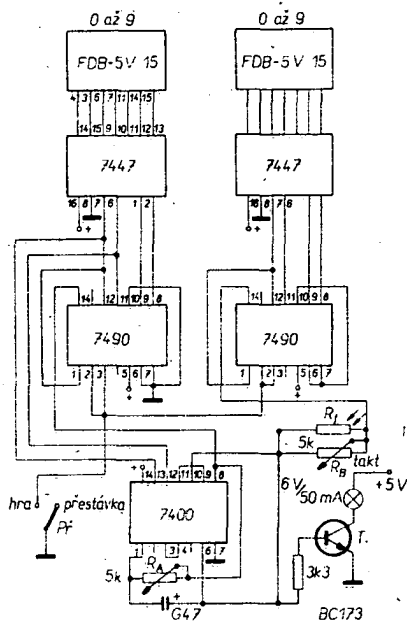
Před několika lety bylo v AR popsáno zařízení, určené k nácviku střelby v místnosti – maketa pušky byla opatřena zdrojem světla a optikou, soustřeďující světelné paprsky do svazku co nejmenších rozměrů a jako terč sloužilo zařízení, vyhodnocující zásahy touto „světelnou puškou“.

Přesnou náhradou onoho elektronického terče, ovšem mnohem jednodušší a dokonalejší, je zařízení podle obr. 34. Zařízení je vestavěno ve skřínce, jejíž přední část je tvořena běžným papírovým terčem, který má





v místě terčových kruhů pro 9 a 10 díru, v níž je umístěn fotoodpor. Dopadne-li na fotoodpor světelný paprsek, „zapracuje“ logika přístroje a na displeji, který je umístěn nad papírovým terčem, se objeví číslo, značící celkový počet zásahů (od 0 do 9). Kromě indikace počtu zásahů se indikuje na dalším displeji (každý je tvořen sedmissegmentovou číslicovkou LED) počet střel od 1 do 0 (tj. do desíti). V rytmu změn číslic na tomto druhém displeji musí střelec střilet, dobu mezi dvěma čísly (mezi dvěma výstřely) lze volit v určitém rozmezí. Oba dva údaje na číslicovkách lze vymazat nulovacím tlačítkem (v zapojení na obr. 34 v poloze „přestávka“). Je-li nulovací tlačítko (přepínač P<sub>F</sub>) v pravé krajní poloze, blíká též signální žárovka a to tak rychle, jak rychle bude třeba střilet, aby počet střel odpovídal maximálnímu možnému počtu – tj. 10. V této poloze přepínače se tedy střelec připravuje ke střelbě, střelba začíná současně s přepnutím nulovacího tlačítka do opačné polohy (poloha „hra“).



Obr. 34. Elektronický terč s indikací počtu pokusů (výstřelů) a zásahů číslicovkami LED

Základním prvkem elektronického terče je generátor hodinových impulsů, realizovaný třemi hradly NAND pouzdra 7400. Kmitočet generátoru je určen kapacitou kondenzátoru (470 μF) a polohou běžce potenciometru – proměnného odporu R<sub>A</sub>. Hodinové impulsy se vedou přímo na vstup prvního z čítačů (tj. na vývod 14 pouzdra 7490). Ten čítá impulsy od 0 do 9 tak dlouho, dokud je spojen nulovací vstup přes P<sub>F</sub> se zemí. Dosáhne-li čítač 9, je na vývodech 11 a 12 signál o úrovni H. Oba tyto signály se vedou na čtvrté z hradel pouzdra 7400. Na jeho výstupu je tedy signál o úrovni L, generátor hodinových impulsů přestane pracovat. Tento stav zůstane zachován do té doby, dokud nebude P<sub>F</sub> v opačné poloze; přitom se oba čítače (činnost druhého je popsána dále) vynulují.

Druhý čítač má na vstupu fotoodpor. Paralelně k fotoodporu je zapojen potenciometr jako proměnný odpor (R<sub>B</sub>). Potenciometrem lze nastavit citlivost zapojení tak, aby čítač reagoval pouze na intenzivní světelný signál a nikoli třeba na běžné denní světlo. Navíc má zapojení tu vlastnost, že registruje zásah pouze tehdy, přijde-li světelný impuls na fotoodpor v době kladného hodinového impulsu, tj. tehdy, rozsvítí-li se signální žárovka. V opačném případě (v době mezi dvěma rozsvíceními žárovky) se zásah neregistruje, stejně jako se neregistruje po skončení střeleckého cyklu (tj. indikuje-li displej, registrují taktovací impulsy; nulu).

Elektronický terč se napájí ze zdroje 5 V. Odběr proudu je asi 250 mA.  
ELO č. 5/1976

Pro zájemce uvádím ještě seznam článků s tematikou elektronických her, které jsem do této kapitoly nezahrnul především z důvodu velké složitosti zapojení nebo nedostupnosti většího množství součástek (obvykle integrovaných obvodů). Seznam není pochybitelně vyčerpávající.

Elektronisches Murnelspiel (elektronická obdoba hry s kuličkami, popř. hry, která se nazývá „blechy“). Elektor, leden 1977.

Electronic wheel of fortune (obdoba rulety). Popular Electronics, říjen 1975.

Superhirn (hra, cvičící logické, kombinatorní myšlení). Elektor, leden 1977.

Build electronic roulette (postavte si elektronickou ruletu). Radio-Electronics, prosinec 1976.

Formel-(simulované závody aut). ELO č. 6/1976.

## Číslicová technika

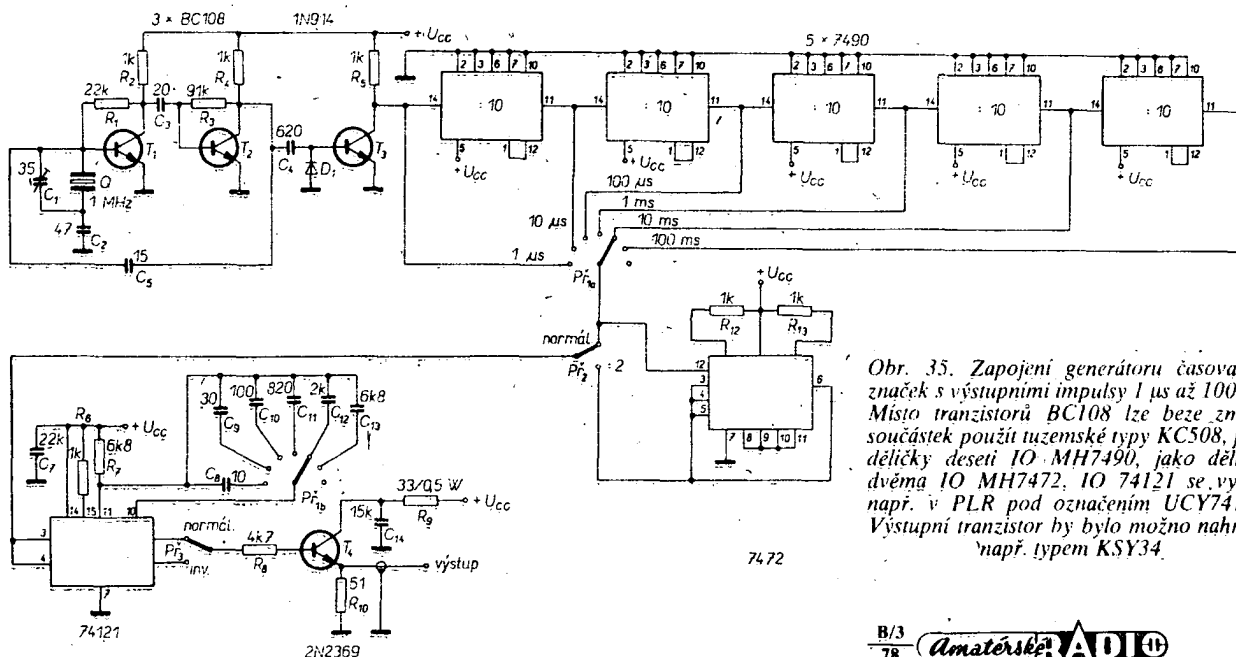
### Ekonomický generátor časových značek (jednoduchý časový a kmitočtový komparátor)

Při všech měřeních, při nichž se používá osciloskop, je velmi vhodným doplňkovým přístrojem generátor časových značek, kontrolující přesnost časové základny. Popsaný přístroj vhodně spojuje snadnou konstrukci a malý počet potřebných součástek s co největší dosažitelnou přesností. I když je v původním článku přístroj popisován jako ucelená stavební jednotka, lze ho použít i jako součást např. čítačů kmitočtu, popř. jako součást kalibrátoru osciloskopů apod.

Generátor časových značek (marker) je v podstatě generátorem impulsů, u něhož je interval mezi impulsy přesně definován. Přitom je šířka impulsů vzhledem k mezeře mezi nimi velmi malá, takže na obrazovce se jednotlivé impulsy jeví jako svislé čárky. To umožňuje např. nastavit časovou základnu osciloskopu tak, aby se jednotlivé impulsy kryly s linkami měřicí mřížky na obrazovce osciloskopu.

Generátor časových značek je na obr. 35. Základem přístroje je krystalový oscilátor, tvořený tranzistory T<sub>1</sub>, T<sub>2</sub> a krystalem 1 MHz. Tranzistor T<sub>3</sub> pracuje jako oddělovací zesilovač. Na jeho kolektoru jsou impulsy 1 MHz, jejichž amplituda se střídavě mění z nuly na 5 V. Výstupní signál z kolektoru třetího tranzistoru je přiveden přímo na vstup prvního z pěti desítkových děličů typu 7490. Na výstupech jednotlivých děličů jsou pak signály o kmitočtech 100 kHz, 10 kHz, 1 kHz, 100 Hz a 10 Hz. Požadovaný kmitočet výstupního signálu a tím i interval impulsů mezerou se volí přepínačem P<sub>F10</sub>. Signál se pak, vede na integrovaný obvod 74121 buď přímo, nebo přes integrovaný obvod 7472 (v závislosti na poloze přepínače P<sub>F2</sub>). Integrovaný obvod 7472 je zapojen jako dělička dvěma, takže kmitočet signálu na sběrači přepínače P<sub>F10</sub> je po průchodu tímto integrovaným obvodem poloviční.

Protože se při vývoji přístroje přišlo na to, že je při různých kmitočtech výstupního signálu třeba impulsů různé šířky, aby byla zachována jejich čitelnost na obrazovce osciloskopu, jsou upravovány šířky impulsů v závislosti na kmitočtu obvodem s IO MH74121. Optimální šířka impulsů, stano-



Obr. 35. Zapojení generátoru časovacích značek s výstupními impulsy 1 μs až 100 ms. Místo tranzistorů BC108 lze bez změny součástek použít tuzemské typy KC508, jako děličku deseti IO MH7490, jako děličku dvěma IO MH7472, IO 74121 se vyrábí např. v PLR pod označením UCY74121. Výstupní tranzistor by bylo možno nahradit např. typem KSY34.

vená experimentálně v rozmezí od 50 ns do 35  $\mu$ s, je v tabulce:

Tab. 5. Šířka impulsů v závislosti na poloze přepínačů  $P_{r1}$  a  $P_{r2}$

Rozsah	Kmitočet	Šířka impulsu
1 $\mu$ s	1 MHz	50 ns
2 $\mu$ s	500 kHz	
10 $\mu$ s	100 kHz	
20 $\mu$ s	50 kHz	150 ns
100 $\mu$ s	10 kHz	
200 $\mu$ s	5 kHz	
1 ms	1 kHz	4 $\mu$ s
2 ms	500 Hz	
10 ms	100 Hz	
20 ms	50 Hz	10 $\mu$ s
100 ms	10 Hz	
200 ms	5 Hz	

Integrovaný obvod 74121 pracuje jako monostabilní multivibrátor. Výstup Q na vývodu 6 má signál H, mění-li se úroveň vstupního signálu (vývody 3, 4) z H na L. Čas, po který bude na výstupu úroveň H, je dán časovacím článkem RC (odpor  $R_7$  a kondenzátor, zvolený přepínačem  $P_{r1b}$ ).

Kapacity časovacích kondenzátorů jsou vypočítány podle vztahu

$$t_{vyst} = C_T R_7 \ln 2,$$

kde  $t_{vyst}$  je šířka výstupního impulsu v ms,  $C_T$  kapacita časovacího kondenzátoru v  $\mu$ F,  $R_7$  časovací odpor v k $\Omega$  (v obr. 35 6,8 k $\Omega$ ),  $\ln 2 \approx 0,7$ .

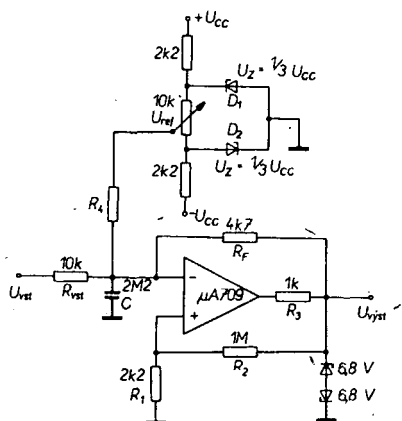
Vývod 1 pouzdra 74121 je výstupem  $\bar{Q}$  – je na něm signál inverzní k signálu na výstupu Q. Přepínačem  $P_{r3}$  se volí jako výstupní signál buď signál Q nebo  $\bar{Q}$ . Tranzistor  $T_4$  slouží jako oddělovací zesilovač a představuje zdroj o malé impedanci.

Generátor se napájí ze zdroje 5 V. Odběr proudu je asi 500 mA.

Wireless World, listopad 1977

### Konvertor analogových veličin na impulsy proměnné šířky

Zapojení s operačním zesilovačem  $\mu A 709$  (MAA501 až 4) na obr. 36 může sloužit jako konvertor analogových signálů ze senzorů a jiných snímačů a čidel na šířkově modulované pravouhlé impulsy, které se dají výhodně přenášet i na velké vzdálenosti například v průmyslových řídicích procesech apod.



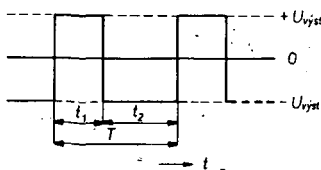
Obr. 36. Základní zapojení konvertoru analogových signálů na impulsy proměnné šířky

Základní obvod-konvertor je na obr. 36. Vstupní analogový napěťový signál  $U_{vst}$  se přivádí na invertující vstup operačního zesilovače (vývod „-“) přes odpor  $R_{vst}$ . Kondenzátor C, který je připojen ze stejného vstupu na zem, bude se nabíjet a vybíjet přes odpor  $R_{vst}$  a  $R_F$  (zpětnovazební odpor). Výstupní signál, omezený Zenerovými diodami se Zenerovým napětím 6,8 V, se přivádí na neinvertující vstup (vývod „+“) přes dělič z odporů  $R_1$  a  $R_2$ . Odpor  $R_3$ , zapojený ve výstupu operačního zesilovače, omezuje výstupní proud na zvolenou velikost. Celé zapojení je ještě doplněno nulovacím obvodem se dvěma Zenerovými diodami a potenciometrem, na jehož běžci se získává referenční napětí, které se přivádí na invertující vstup operačního zesilovače.

### Princip činnosti

Předpokládáme že je na vstup konvertoru přiložen kladný analogový signál a že výstupní signál konvertoru je též kladný. (Jak si ukážeme, napětí na výstupu může dosahovat pouze dvou úrovní – jedné kladné a jedné záporné). Za těchto podmínek se bude nabíjet kondenzátor C kladným napětím vzhledem k zemi, a to jednak kladným signálem ze vstupu přes odpor  $R_{vst}$  a jednak kladným signálem z výstupu přes odpor  $R_F$ . Pro tuto úvahu zanedbáváme proud z nulovacího obvodu se Zenerovými diodami. Napětí na kondenzátoru se zvětšuje až do té doby, až je poněkud větší než napětí na neinvertujícím vstupu. Pak bude výstupní napětí operačního zesilovače záporné a toto záporné napětí se okamžitě přenesou zpět na vstup (neinvertující) a „zpomaluje“ rychlost změny polarity výstupního napětí. Dosáhne-li výstupní napětí  $U_{vyst}$  maximální záporné úrovně, náboj na kondenzátoru C se vybije přes odpor  $R_F$  rychleji, než se stačí kondenzátor nabíjet přes odpor  $R_{vst}$  vstupním signálem. Zmenší-li se napětí na kondenzátoru C na velikost, která je poněkud menší než současně se vyskytující napětí na neinvertujícím vstupu operačního zesilovače, změní se výstupní napětí  $U_{vyst}$  na kladné a zůstane kladné až do počátku dalšího pracovního cyklu.

Nulovací obvod umožňuje nastavit šířku výstupních impulsů. S nulovým vstupním signálem lze nastavit potenciometr 10 k $\Omega$  tak, aby i výstupní napětí bylo nulové (jeho střední hodnota). Pro tento vyvážený stav platí, že  $t_1$  (doba trvání kladného výstupního napětí) se rovná  $t_2$  (doba trvání záporného výstupního napětí), viz obr. 37.



Obr. 37. Typický průběh výstupního napětí

Dobu  $t_1$  lze určit ze vztahu

$$\left( \frac{U_{vst}}{R_{vst}} + \frac{U_{vyst}}{R_F} + \frac{U_{ref}}{R_4} \right) t_1 = 2 C U_{vyst} \frac{R_1}{R_1 + R_2}$$

Dobu  $t_2$  lze určit ze vztahu

$$\left( \frac{U_{vst}}{R_{vst}} - \frac{U_{vyst}}{R_F} + \frac{U_{ref}}{R_4} \right) t_2 = 2 C U_{vyst} \frac{R_1}{R_1 + R_2}$$

Poměr doby  $t_1$  k periodě T napětí pravouhlého průběhu je dán vztahem

$$\frac{t_1}{t_1 + t_2} = \frac{1}{2} - \frac{\frac{U_{vst}}{R_{vst}} + \frac{U_{ref}}{R_4}}{2(U_{vyst}/R_F)}$$

Zajímavé je, že se v uvedených vztazích nevyskytuje kapacita kondenzátoru C. Změ-

ny kapacity kondenzátorů tedy nemají vliv na přesnost vztahu  $t_1$  a  $t_2$ , poměr obou časů je pouze lineární funkcí vstupního napětí.

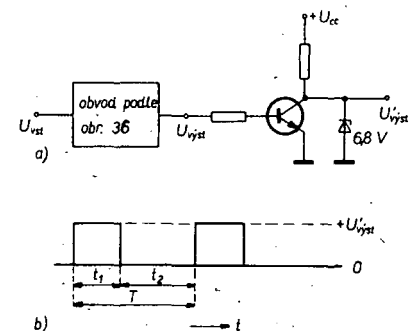
Přesnost konvertoru závisí tedy pouze na přesnosti, s jakou je udržována konstantnost výstupního a referenčního napětí s teplotou.

Kmitočet výstupního napětí pravouhlého průběhu je dán vztahem

$$f = \frac{1}{t_1 + t_2} = \frac{1 - \left( \frac{U_{vst}}{R_{vst}} + \frac{U_{ref}}{R_4} \right) \left( \frac{R_F}{U_{vyst}} \right)^2}{4 \frac{R_1}{R_1 + R_2} R_F C}$$

Z rovnice vyplývá, že vhodnou volbou rozsahu výstupního signálu lze dosáhnout toho, že kmitočet výstupního signálu bude téměř konstantní, což se při některých aplikacích vyžaduje.

Jednoduchou úpravou obvodu lze pak dosáhnout i výstupního napětí jedné polarity, což je též při některých aplikacích potřebné (obr. 38).



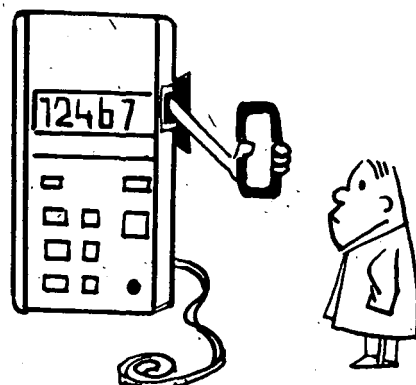
Obr. 38. Doplněk obvodu z obr. 36 k získání výstupního napětí jedné polarity

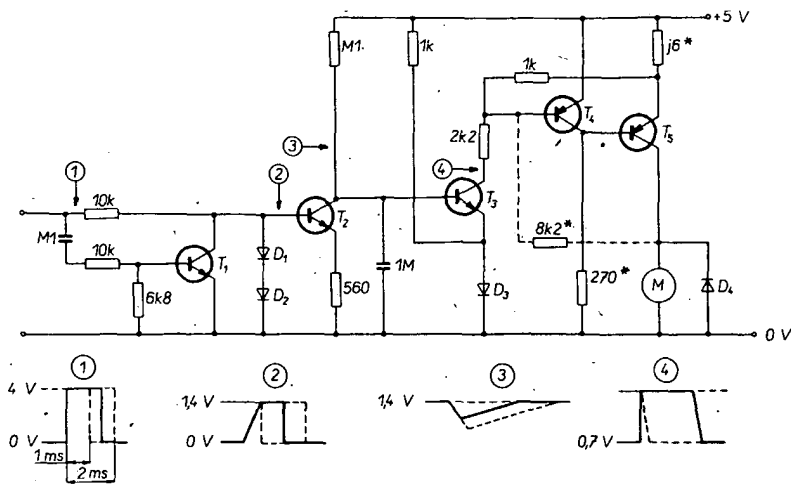
Obvod lze aplikovat všude tam, kde analogové výstupní napětí z různých teplotních, tlakových a jiných čidel je třeba převést na tvar, vhodný k digitálnímu zpracování. The complete linear book. Firemni literatura Fairchild

## Různě aplikovaná elektronika

### Regulace rychlosti otáčení motoru u modelů řízených radiem

Proporcionální soupravy k dálkovému ovládání modelů produkují každých 20 ms kontrolní impulsy délky 1 až 2 ms. Zapojení na obr. 39 vytváří z těchto impulsů impulsy 0 až 20 ms, jimiž se budí motor. Vzhledem k době života napájecích článků je takové zařízení





Obr. 39. Regulátor rychlosti otáčení motorků pro modely např. lodí, řízené radiem

(napájení) rychlosti otáčení motoru mnohem ekonomičtější, než řízení změnou sériového odporu, především při malých rychlostech otáčení.

Náběžná hrana přicházejícího impulsu otevře přes kondenzátor 0,1  $\mu\text{F}$  tranzistor  $T_1$ . To má za následek, že  $T_2$  je pro první ms impulsu uzavřen. Zbytek impulsu však otevře tranzistor  $T_2$ , ten pak pracuje jako zdroj proudu a hlídá velikost náboje kondenzátoru 1  $\mu\text{F}$ . Tranzistory  $T_2$  a  $T_4$  budou v nevodivém stavu a přes tranzistor  $T_3$  se budí motor do té doby, než se nabije kondenzátor 1  $\mu\text{F}$  přes odpor 100 k $\Omega$  tak, aby byl tranzistor  $T_3$  v saturaci. To má za následek, že motor přestane být buzen po dobu, úměrnou šířce vstupního impulsu. Po uplynutí této doby je obvod schopen zpracovat další vstupní impuls.

Výstupní obvod je jistěn volbou příslušných odporů proti zpětnému proudu a přepětí – je však třeba podle druhu použitého motorku vhodně vybrat součástky ve schématu, označené hvězdičkou.

Použité typy tranzistorů nejsou kritické – podle údaje autora lze použít libovolné tranzistory příslušného typu vodivosti, přitom je třeba výstupní tranzistor volit podle maximálního proudu použitého motorku. *Wireless World*, únor 1978

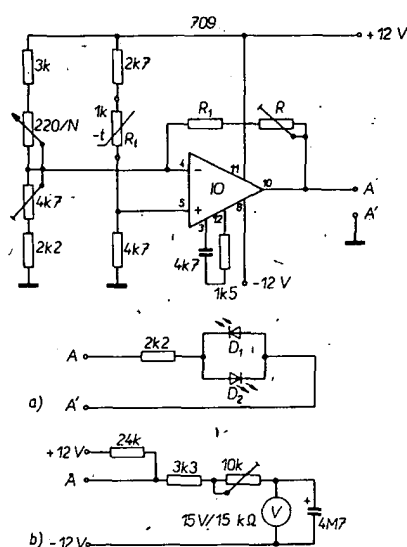
### Přístroj ke kontrole nastavené teploty v rozmezí 0 až 70 °C

Při nejrůznějších příležitostech je třeba hlídat teplotu v určitém rozmezí. Např. ve fotolaboratoriu se požaduje, aby teplota lázni byla konstantní v mezích  $\pm 0,5$  °C. Změnil-li se jmenovitá teplota více, než je uvedena mez, je třeba, aby nějaké indikační zařízení na tuto skutečnost upozornilo.

Přístroj, který splňuje uvedené požadavky, je na obr. 40. Napájí se ze sítě a lze ho umístit do malé krabičky – podle rozměrů indikačního měřidla – nebo, použijí-li se k indikaci svítivé diody, podle rozměrů desky s plošnými spoji, síťového transformátoru a dalších použitých součástí.

K měření teploty se používá odpor se záporným teplotním součinitelem – termistor. Termistor je zapojen jako součást měřícího můstku, v jehož úhlopříčce jsou zapojeny vstupy operačního zesilovače typu 709 (čs. ekvivalentem je jakýkoli typ z řady MAA500). Paralelně k termistoru je zapojen pevný odpor, který slouží k tomu, aby se alespoň poněkud linearizovalo vstupní napětí operačního zesilovače v závislosti na teplotě.

Jmenovitou teplotu, jejíž velikost má zařízení hlídat, lze nastavit v rozmezí od 0 do

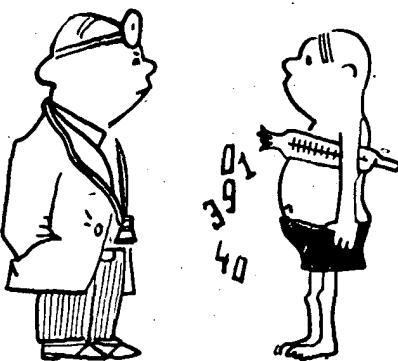


Obr. 40. „Hlídač“ teploty s operačním zesilovačem typu 709. Pro verzi s diodami je  $R_1 = 1,5 \text{ M}\Omega$ ,  $P_1 = 4,7 \text{ M}\Omega$ , pro verzi s měřidlem je  $R_1 = 0,75 \text{ M}\Omega$ ,  $P_1 = 1 \text{ M}\Omega$

(Číslování vývodů IO odpovídá typu MAA503)

70 °C potenciometrem v jedné z větví můstku. Při cejchování doporučuje autor použít potenciometr s lineárním průběhem odporové dráhy, pak je i stupnice téměř lineární.

Změnil-li se teplota termistoru, můstek se rozváží a na vstupech operačního zesilovače se objeví napětí (u součástek podle schématu je teplotní součinitel 3,5 mV/°C). Výstupní napětí z operačního zesilovače lze indikovat buď měřidlem – voltmetrem, nebo, což např. temné komoře vyhoví mnohem lépe, svítivými diodami. Obě varianty jsou na obr. 40



uvedeny. Výstupní napětí operačního zesilovače je pro teplotní rozdíl 0,5 °C od jmenovité teploty asi 4 V. Jsou-li zapojeny na výstupu diody, svítí při poklesu teploty jedna dioda, při zvětšení teploty druhá dioda; přitom čím je rozdíl od jmenovité teploty větší, tím větší jas mají diody.

K napájení obvodu stačí síťový transformátor se sekundárním vinutím asi 25 V/50 mA. Střed napájecího napětí („zem“) lze vytvořit Zenerovými diodami, které současně stabilizují napájecí napětí  $\pm 12 \text{ V}$ . *Elektronik* č. 5/1976

## Zajímavé integrované obvody

Do této kapitoly jsem vybral některé z nejvíce používaných zahraničních integrovaných obvodů, jak lineárních (převážně), tak i číslicových, neboť právě integrované obvody jsou jasně přesvědčivým důkazem, jak daleko a rychle pokročila technická revoluce. Navíc bych chtěl ozřejmit, že není možno, jak se někteří čtenáři domnívají (a to vysvitá z jejich dopisů), nahrazovat integrované obvody jednotlivými (diskrétními) součástkami. Někdy je možno nahradit integrovaný obvod (především číslicový) několika jinými integrovanými obvody – náhrada je však vždy náročná na počet součástí (tj. i na stavební prostor) a po technické stránce je vždy jen východiskem z nouze.

Začneme nejdříve s lineárními integrovanými obvody. U každého uvedeného typu bude vždy především zapojení patice (a to všech druhů patic, s nimiž se obvod vyrábí), příp. blokové schéma, z něhož vysvitá princip činnosti a někdy i ekvivalentní schéma s diskretními součástkami (pokud není příliš složitě), aby si každý mohl udělat představu o složitosti toho či onoho obvodu. Dále si uvedeme nejdůležitější mezní a pracovní technické údaje a nakonec typická nebo doporučená zapojení, příp. i grafy nejdůležitějších závislostí hlavních parametrů.

### Časovač (timer) typu 555 (556)

Časovač 555 vyrábí většina předních světových výrobců polovodičových součástek. Podle výrobce je před číslicový znak předřazeno jedno nebo několik písmen nebo opět číslice (např. fy Signetics vyrábí tento časovač pod označením NE555 nebo SE555, které se liší pouze rozsahem pracovních teplot, NE555 může pracovat v rozmezí 0 až +70 °C, SE555 v rozsahu od –55 do +125 °C; druhý typ má i některé ostatní parametry kvalitativně lepší, např. horní mezní napájecí napětí je 18 V, zatímco NE555 pouze 16 V apod.).

Monolitický obvod typu 555 je velmi stabilní časovač, který může produkovat přesné časově zpožděné signály nebo může pracovat jako oscilátor. Obvod má vstupy pro spouštěcí a mazací signál. Pracuje-li obvod jako časovač zpožďující signál, lze dobu zpoždění přesně nastavit vnějším odporem a kondenzátorem. Pracuje-li jako oscilátor, lze kmitočet a pracovní cyklus přesně řídit dvěma vnějšími odpory a jedním kondenzátorem. Činnost obvodu lze ovládat (tj. lze ho spouštět a mazat, nulovat) sestupnou hranou ovládacího signálu. Výstupní proud obvodu je až 200 mA; z výstupu lze řídit obvody TTL.

Obvod lze použít jako velmi přesný časovač, může pracovat jak v astabilním, tak monostabilním režimu, může sloužit ke generování impulsů, sekvencí časování, ke generování časových prodlev, k šířkové impulsové modulaci, k modulaci polohou impulsu, k detekci chybějících impulsů atd.

Ekvivalentní zapojení obvodu 555 je na obr. 1, na obr. 2 je blokové schéma; na obr. 3 zapojení vývodu. K tomu jen poznámku: obvod 556 je časovač, který je složen ze dvou obvodů 555 v jednom pouzdře, údaje pro 555 platí samozřejmě i pro 556.

#### Mezní údaje

Napájecí napětí: + 18V.

Výkonová ztráta: 600 mW.

Teplota vývodu

(pájení po dobu 60 s): 300 °C.

#### Pracovní údaje

Napájecí napětí: 4,5 až 16 V.

Odběr proudu při  $U_{cc} = 5$  V,  $R_i = \infty$ : 3 až 6 mA.

při  $U_{cc} = 15$  V,  $R_i = \infty$ : 10 až 15 mA.

Teplotní stabilita: 0,005 %/°C.

Doba náběhu výstupu: 100 ns.

Doba doběhu výstupu: 100 ns.

Časovací chyba v závislosti na napájecím napětí: 0,05 až 0,2 %/V.

Prahové napětí:  $2/3 U_{cc}$ .

#### Astabilní režim

Spouštěcí proud: 0,5  $\mu$ A.

Nulovací napětí: 0,4 až 1 V.

Nulovací proud: 0,1 mA.

Napěťová kontrola:  $U_{cc} = 5$  V, 2,6 až 4 V,  $U_{cc} = 15$  V, 9 až 11 V.

Prahový proud: 0,1 až 0,25  $\mu$ A.

Výstupní napětí:  $U_{cc} = 15$  V, 0,1 až 2,5 V.

Úbytek výstupního napětí:

při  $U_{cc} = 5$  V asi 2,75 až 3,3 V,

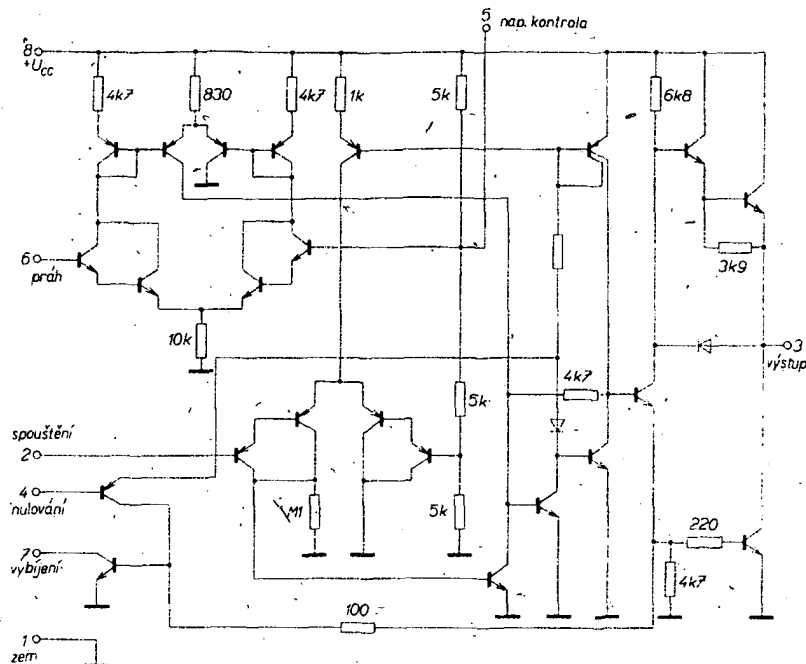
při  $U_{cc} = 15$  V asi 12,5 až 13,3 V.

(Pro informaci. Má-li zájemce zahraniční katalog, jsou jednotlivé parametry v originálu označeny takto: práh – threshold, nulování – reset, spouštění – trigger, napěťová kontrola – control voltage, vybíjení – discharge).

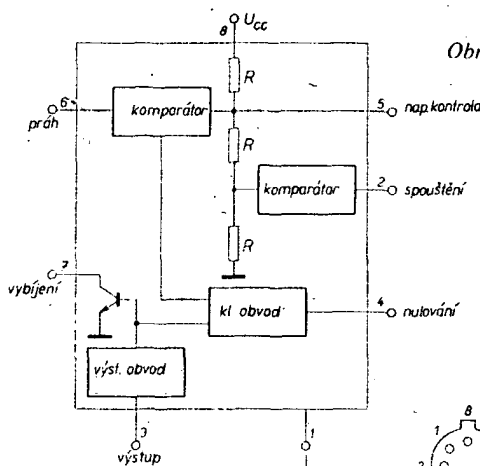
#### Základní zapojení

Časovač může být zapojen především jako monostabilní nebo astabilní. Pracuje-li v monostabilním režimu, je zapojen podle obr. 4 (čísla v závorkách u vývodů označují čísla vývodů u typu 555). Kondenzátor C je v počátku udržován ve vybitém stavu díky tranzistoru v monolitické struktuře obvodu. Přiloží-li se na vývod 6 (2) záporný spouštěcí impuls, překlápí se klopný obvod (obr. 2), zruší se zkrat na vnějším kondenzátoru a na výstupu se objeví napětí. Napětí na kondenzátoru C se začne zvětšovat exponenciálně s časovou konstantou  $R_A C$ . Dosáhne-li napětí na kondenzátoru  $2/3 U_{cc}$ , komparátor překlápí klopný obvod do původního stavu, napětí na kondenzátoru se zkratuje na zem (přes tranzistor u vývodu 7), na výstupu bude velmi malé napětí. Činnost je zřejmá i z průběhů křivek v grafu na obr. 5.

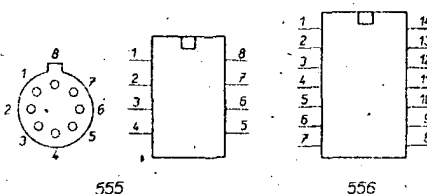
Obvod je spouštěn záporným vstupním signálem, dosáhne-li jeho úroveň  $1/3 U_{cc}$ . Je-li jednou spouštěn, setrvává v tomto stavu po celou zvolenou dobu, i když je přiveden další spouštěcí signál. Doba, po níž je na výstupu velké napětí, je dána vztahem  $1,1 R_A C$  (tj. doba, po níž je zavřen tranzistor u vývodu 7). Tato doba může být snadno zvolena volbou  $R_A$  a C podle grafu na obr. 6. Pozoruhodné je, že i když jsou doba nabíjení kondenzátoru a prahové napětí komparátoru proporcionální napájecímu napětí, časovací interval je na napájecím napětí zcela nezávislý.



Obr. 1. Ekvivalentní zapojení časovače 555 (1/2 556)



Obr. 2. Blokové schéma 555 (1/2 556)



Obr. 3. Zapojení vývodů 555 a 556: 1 - zem, 2 - spouštění, 3 - výstup, 4 - nulování, 5 - napěťová kontrola, 6 - práh (prahová úroveň), 7 - vybíjení, 8 - napájení, 9 - napájení, 10 - napájení, 11 - napájení, 12 - napájení, 13 - napájení, 14 - napájení.

Přivede-li se záporný impuls současně na spouštěcí i nulovací vstup, vybíjí se a nabíjí se kondenzátor C během časovacího cyklu a časovací cyklus začíná vždy znovu; jeho začátek pak závisí na kladné hraně nulovacího impulsu. Během doby, po níž trvá nulovací impuls, je na výstupu obvodu napětí malé úrovně. Nepoužívá-li se nulovací vstup, doporučuje se spojit ho s přívodem kladného napájecího napětí, aby se vyloučilo chybné spouštění obvodu.

Pracuje-li obvod v astabilním režimu, je jeho základní zapojení podle obr. 7. V tomto případě se obvod spouští samočinně a kmitá „volně“ jako multivibrátor. Vnější kondenzátor C se nabíjí přes  $R_A$  a vybíjí přes odpor  $R_B$ . Proto lze pracovní cyklus velmi přesně nastavit volbou těchto odporů. V astabilním režimu se kondenzátor nabíjí a vybíjí od napětí  $1/3 U_{cc}$  do napětí  $2/3 U_{cc}$ . Stejně jako při monostabilním režimu nezávisí vybíjecí a nabíjecí doba a tedy ani kmitočet na napájecím napětí. Charakteristické průběhy pro toto zapojení jsou na obr. 8.

Nabíjecí doba kondenzátoru (tzn. doba, po níž je na výstupu signál velké úrovně) je dána vztahem

$$t_1 = 0,693 (R_A + R_B) C,$$

vybíjecí doba (tj. doba, po níž je na výstupu signál malé úrovně) je určena vztahem

$$t_2 = 0,693 R_B C.$$

Celá pracovní perioda je tedy

$$T = t_1 + t_2 = 0,693 (R_A + 2R_B) C.$$

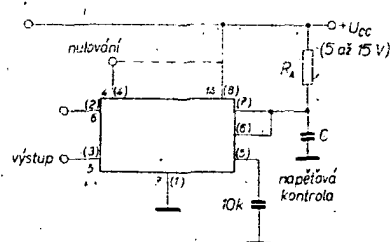
Kmitočet oscilací je

$$f = 1/T = 1,44 / (R_A + 2R_B) C$$

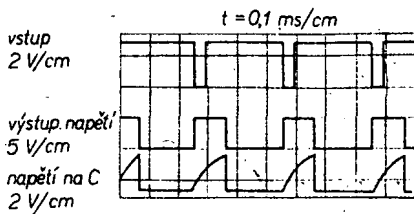
a lze ho snadno určit z grafu na obr. 9.

Pracovní cyklus D je určen vztahem

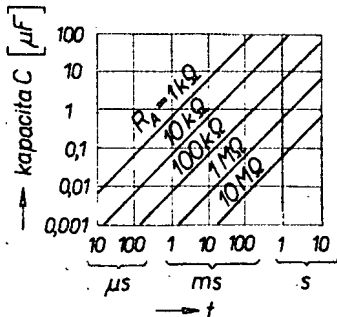
$$D = R_B / (R_A + 2R_B).$$



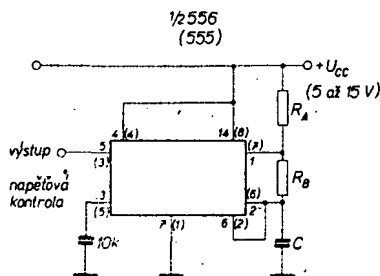
Obr. 4. Monostabilní zapojení časovače 1/2 556 (555)



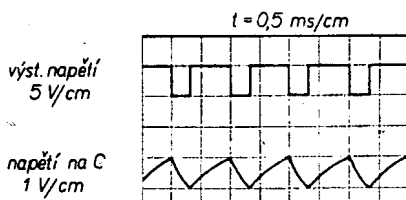
Obr. 5. Průběhy v zapojení podle obr. 4.  
 $R_A = 9,1 \text{ k}\Omega$ ,  $C = 10 \text{ nF}$ ,  $R_z = 1 \text{ k}\Omega$



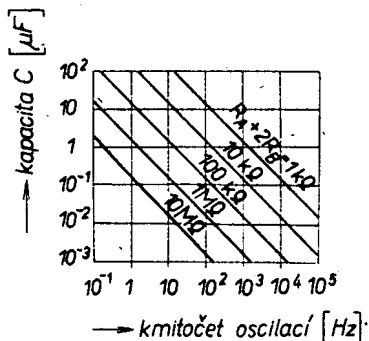
Obr. 6. Trvání výstupního napětí velké úrovně v závislosti na  $R_A$  a  $C$



Obr. 7. Astabilní zapojení časovače 555 (1/2 555)

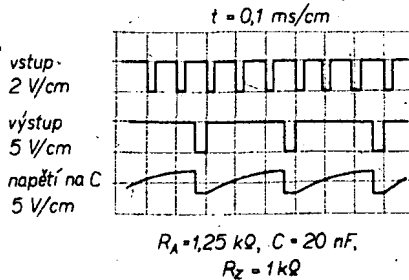


Obr. 8. Průběhy v zapojení podle obr. 7



Obr. 9. Závislost kmitočtu na  $R_A$ ,  $R_B$  a  $C$

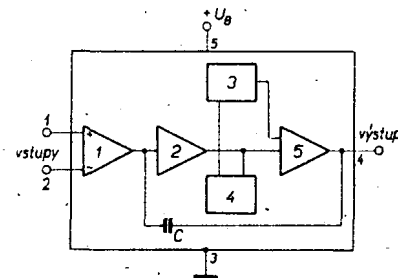
Je-li znám kmitočet vstupních impulsů, lze použít časovač 555 volbou délky časovacího cyklu jako dělič kmitočtu. Na obr. 10 jsou průběhy napětí na obvodu, je-li časovač podle obr. 1 zapojen jako dělič třemi. Při této aplikaci časovače se využívá faktu, že obvod nemůže být znovu spuštěn v době časovacího cyklu.



Obr. 10. Průběhy při zapojení časovače 555 podle obr. 1 jako dělice kmitočtu

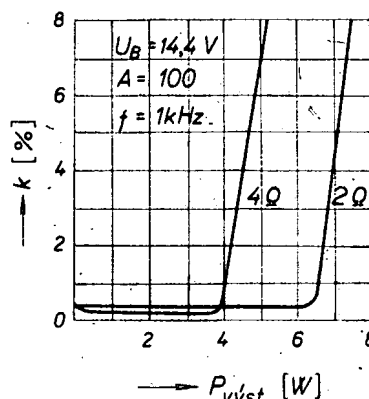
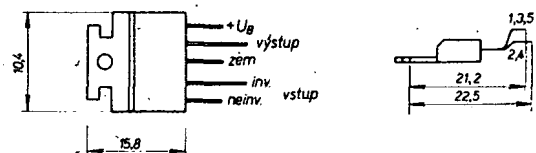
### Nizkofrekvenční zesilovač TDA 2002, zesilovač s velkým výstupním napětím při malých napájecích napětích

Integrovaný nf zesilovač TDA2002 je jedním z posledních výrobků výrobce, který se specializoval i na výrobu integrovaných nf zesilovačů – z jeho vývoje a výroby je i u nás známý zesilovač TBA810 (u nás MBA810). O zesilovači TDA2002 by bylo možno říci, že je vylepšeným typem zesilovače MBA810. Blokové schéma zesilovače je na obr. 11. Jeho typickými parametry jsou kmitočtový přenos prakticky od 0 Hz (v můstkovém



Obr. 11. Blokové schéma nf integrovaného zesilovače TDA2002. 1 – diferenciální vstupní zesilovač, 2 – předzesilovač, 3 – přepětová ochrana, 4 – teplotní ochrana, 5 – koncový stupeň, pracující ve třídě B, C – vnitřní kompenzační kondenzátor (zesílení obvodu závisí na kmitočtu, do 1000 Hz je zisk konstantní, a to 80 dB, pak se zmenšuje na 60 dB na kmitočtu 10 000 Hz a na 40 000 Hz je asi 50 dB)

Obr. 12. Zapojení vývodů obvodu TDA2002 a tvar i rozměry pouzdra (tzv. pouzdro Pentawatt)



Obr. 13. Závislost zkreslení a výstupního výkonu na impedanci zátěže pro  $U_B = 14,4 \text{ V}$ , zesílení 100 a kmitočet 1 kHz

zapojení bez elektrolytických kondenzátorů na výstupu), výstupní výkon 7 W na impedanci 2  $\Omega$ , 15 W v můstkovém zapojení a velký rozsah možných napájecích napětí.

Zesilovač se vyrábí v tzv. pouzdru Pentawatt, jehož tvar je zřejmý z obr. 12, na němž je i zapojení vývodů integrovaného obvodu. Výrobce, SGS ATES, vyrábí kromě základního typu i odvozené typy TDA2002H a TDA2002V, které se vyznačují zlepšenou ochranou proti přetížení a přehřátí. Ochrana proti přetížení pracuje tak, že se při teplotě čipu větší než 150 °C samočinně omezi výstupní výkon. Další ochranný obvod chrání integrovaný zesilovač proti trvalému zkratu na výstupu a proti přepólování napájecího napětí. Kromě toho je integrovaný zesilovač chráněn i proti přepětí až 28 V a proti napájecím špičkám až 40 V.

Výborné jsou vlastnosti integrovaného obvodu i pokud jde o zkreslení – na obr. 13 je závislost zkreslení a výstupního výkonu na impedanci reproduktoru. Je zřejmé, že se nabízí příležitost zapojit paralelně dva reproduktory 4  $\Omega$  (výsledná impedance je pak 2  $\Omega$ ), neboť pak se využijí výborné vlastnosti zesilovače (velký výstupní výkon a malé zkreslení).

### Technické údaje

#### Mezní údaje

Špičky napájecího napětí: 28 V.  
Provozní napájecí napětí: 18 V.  
Výstupní špičkový proud: 4,5 A.  
Ztráta při teplotě pouzdra 90 °C: 15 W.

#### Provozní údaje

Rozsah napájecích napětí: 8 až 18 V.  
Klidový proud: 45 mA.  
Výstupní výkon  
při  $U_B = 16 \text{ V}$ : 6,5 W na 4  $\Omega$   
při  $U_B = 16 \text{ V}$ : 10 W na 2  $\Omega$ .  
Kmitočtový rozsah: 40 až 15 000 Hz, –3 dB.  
Zisk naprázdno: 80 dB.  
Vstupní citlivost pro zesílení 100,  $R_z = 4 \Omega$ :  
pro 0,5 W 15 mV,  
pro 5,2 W 55 mV.

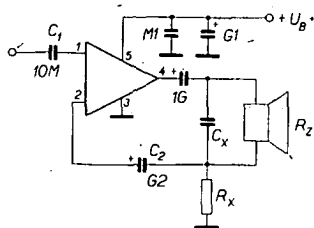
Základní zapojení integrovaného zesilovače je na obr. 14. Odpor  $R_z$  je v praktickém provedení zesilovače pro běžnou potřebu zhotoven na desce s plošnými spoji jako spoj šířky asi 1 mm a délky asi 10 cm. Podle požadavků na zesilovač (pokud jde o kmitočtový rozsah přenášeného signálu) je třeba volit kapacitu kondenzátoru  $C_z$  vzhledem k zatěžovacímu odporu – impedanci repro-

duktoru. Vztah k určení  $R_z$  a  $C_z$  je uveden v textu pod obrázkem.

Nejnižší přenášený kmitočet je v podobných zapojeních určen kapacitou výstupního kondenzátoru – pro zapojení, u nichž se požaduje co nejnižší přenášený kmitočet, u nichž by byla kapacita výstupního elektrolytického kondenzátoru příliš velká, tj. u nichž by byl kondenzátor příliš rozměrný, lze volit můstkové zapojení integrovaných zesilovačů bez výstupního kondenzátoru podle obr. 15. V tomto zapojení je výstupní výkon pro napájecí napětí v mezích 12 až 14 V asi 15 W – zesilovač je proto vhodný i pro provoz v motorových vozidlech.

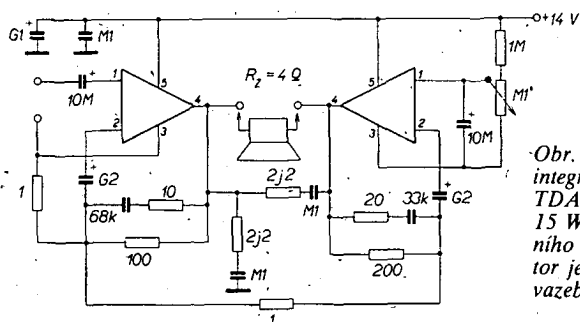
V praktickém provedení můstkového zesilovače upozorňuje výrobce na nutnost dob-

TDA2002



Obr. 14. Jednoduché zapojení nf zesilovače podle doporučení výrobce (s minimem vnějších součástek). Kapacitu kondenzátoru  $C_x$  lze určit podle požadavků na zesilovač a podle zatěžovacího odporu ze vztahu  $C_x = 1/2\pi BR_x$ , kde  $B$  je požadovaný kmitočtový rozsah.  $R_x$  se určí ze vztahu  $R_x = R_z/(A-1)$ , kde  $A$  je zesílení. Pro běžné požadavky se  $R_x$  realizuje jako spoj na desce s plošnými spoji, viz text

2 x TDA2002



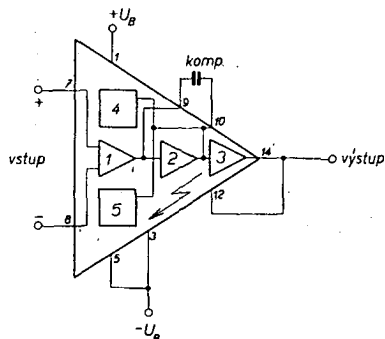
Obr. 15. Můstkové zapojení dvou integrovaných nf zesilovačů TDA2002 s výstupním výkonem 15 W k získání co nejnižšího dolního mezního kmitočtu. Reprodukční je k výstupům IO připojen bez vazebních elektrolytických kondenzátorů

rého zemního spoje obou integrovaných obvodů (musí být co nejkratší a dimenzován na příslušný proud).

Podobné můstkové zapojení lze aplikovat i na řízení stejnosměrného motoru se špičkovým proudem až 3,5 A. Motor je zapojen místo reproduktoru, ze zapojení jsou vypuštěny všechny korekční prvky a kompenzační kondenzátory. Otáčení motoru lze pak řídit výstupním signálem integrovaných obvodů s prvky logiky TTL nebo MOS, neboť k řízení postačí pravouhlé napětí od 1 do 5 V.

### Integrovaný monolitický nf zesilovač s velkým výkonem, TDA2020

Mohutnějším a výkonnějším „bratrem“ předchozího integrovaného obvodu – mono-



Obr. 16. Blokové schéma výkonového integrovaného zesilovače TDA2020. 1, 2 – zesilovací stupně, 3 – výkonový zesilovač, 4 – omezení proudu a výkonu, 5 – teplotní pojistka

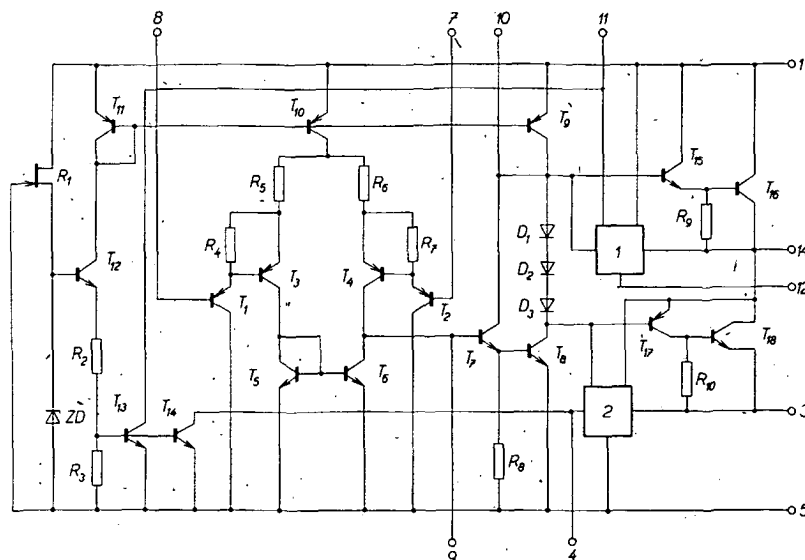
litického nf zesilovače typu TDA2002 – je monolitický zesilovač typu TDA2020, který si popíšeme poněkud podrobněji, neboť se jeho výroba připravuje i v n. p. TESLA Rožnov. Zesilovač je určen pro zátěž 4 a 8 Ω, je napájen souměrným napětím a jeho výstupní výkon může být až 20 W pro celkové harmonické zkreslení menší než 1 %. Zesilovač má originální řešení pojistky proti zkratu na výstupu, dále obsahuje obvod, samočinně omezující výkonovou ztrátu tak, aby nebyl překročen ani proud, ani napětí pracovního bodu koncových tranzistorů, a konečně má i vnitřní teplotní ochranu proti přetížení. Při konstrukci obvodu byla použita i nová technologie při výrobě pouzdra – tak se podařilo zmenšit teplotní odpor na velikost menší než 3 °C/W.

Integrovaný obvod je zesilovačem třídy Hi-Fi, k němuž se zátěž (reprodukční soustava) připojuje přímo, bez vazebních elektrolytických kondenzátorů.

Blokové schéma zesilovače je na obr. 16. Zesilovač může být považován za klasický operační zesilovač, který má dva vstupy a jeden výstup, dále pak i dva vývody k připojení externího kmitočtově kompenzačního členu.

Ekvivalentní elektrické schéma z diskretních součástek je na obr. 17. V zesilovači se používá diferenciální Darlingtonovo uspořádání tranzistorů, které se skládá z „vertikálního“ páru tranzistorů p-n-p, na který je navázán „boční“ pár tranzistorů p-n-p. Díky velké aktivní kolektorové zátěži (zdroje proudu s tranzistory  $T_3$  a  $T_6$ ) a velké vstupní impedanci následujícího stupně ( $T_7$ ,  $T_8$ ) je celkový napěťový zisk prvních stupňů 40 dB.

Stupeň budiče s tranzistorem  $T_8$  a jeho zdroj proudu (tranzistor  $T_9$ ) určuje úroveň stejnosměrného napětí na předpětových diodách tak, že základní proud koncového stupně je stálý za všech pracovních podmínek ( $t_j$  za libovolné okolní teploty a při napájecím napětí v širokém rozsahu), a to asi 30 mA.



Obr. 17. Ekvivalentní schéma integrovaného výkonového zesilovače TDA2020 z diskretních součástek. 1, 2 – obvod k omezení proudu a výkonu

Jako výstupní obvod je použit koncový zesilovač kvazikomplementárního typu, pracující ve třídě AB.

Všechny stupně zesilovače mají předpětí určené tranzistory  $T_9$  až  $T_{12}$  a jejich obvody, k předpětovým obvodům patří dále i odpor  $R_1$  (který je realizován tranzistorem FET, u něhož se využívá tunelového jevu) a Zenerova dioda ZD.

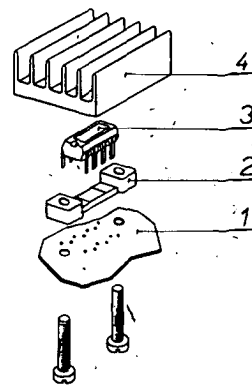
Protože předpětový proud je efektivně konstantní i při změnách teploty a napájecího napětí, je činnost integrovaného obvodu zaručena při napájecím napětí v mezích od  $\pm 5$  do  $\pm 20$  V a to při teplotách v mezích  $-25$  až  $+150$  °C.

### Teplotní ochrana proti přetížení

Obvod se Zenerovou diodou a s děličem z odporů  $R_2$  a  $R_3$  zabezpečuje referenční napětí asi 340 mV, které se vede na bázi tranzistorů teplotního „čidla“ (tranzistory  $T_{13}$  a  $T_{14}$ ). Toto napětí ovládá činnost tranzistorů  $T_{13}$  a  $T_{14}$  tak, že je otvírá pouze tehdy, dosáhne-li teplota  $T_{IO}$  asi 150 °C. Otevřené tranzistory pak zmenšují předpětový proud budiče, čímž omezují i výstupní výkon. V praxi je nemožné, aby došlo ke stejnému jevu, k němuž dochází u diskretních prvků – ke zničení prvku teplotním přetížením.

### Obvod omezující výstupní výkon

Některé nf zesilovače, napájené malým napětím, používají popsanou teplotní pojistku současně i jako ochranu proti zkratu na výstupu. Taková ochrana pracuje ovšem



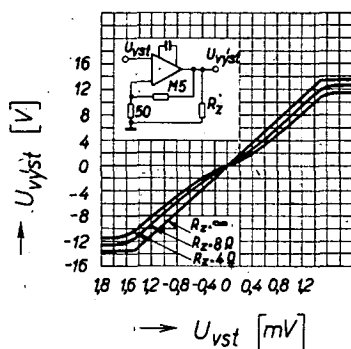
Obr. 18. Pouzdro obvodu TDA2020 a jeho upevnění. 1 – deska s plošnými spoji, 2 – podložka, 3 – kontaktní plocha ( $R_t = 0,5$  °C/W), 4 – chladič (2 až 8 °C/W)



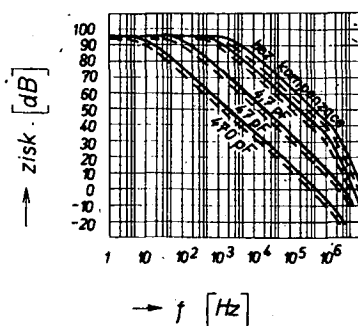
uspokojivě pouze tehdy, budou-li výstupní tranzistory pracovat v oblasti, která se nazývá bezpečná pracovní oblast (safe operating area), tzn. v oblasti, v níž nehrozí tzv. druhý průraz. U zesilovačů, které pracují s napětím až 40 V a s velkými výstupními výkony jsou však rozměry čipu, které by bylo nutno dodržet, aby se vyloučila možnost druhého průrazu, zcela nerealistické. Proto výrobce SGS-ATES používá v IO svůj patent. Podstatou ochranného obvodu je, že se při činnosti zesilovače neustále monitorují jak výstupní proud, tak i napětí  $U_{CE}$  koncových tranzistorů a porovnávají se s referenčními zdroji uvnitř IO – odchylky od stanovené meze se pak samočinně upravují. Tím je za všech podmínek dodržován výstupní výkon na bezpečné úrovni, která nemůže ohrozit výstupní tranzistory. Přitom všem mají tranzistory koncového stupně vynikající vlastnosti – i při svých zmenšených rozměrech (vzhledem k diskretnímu provedení) mají bezpečnou pracovní oblast v mezích proudů 0 až 2,5 A při 20 V a 0 až 1,5 A při 30 V napájecího napětí. Jejich typický zesilovací činitel je asi 150, proudové zesílení 30 při 3,5 A. Přitom je možno jako zajímavost uvést, že aktivní plocha emitoru je mnohem menší než 1 mm<sup>2</sup>! Teplotní zpětná vazba z výstupu na vstup je též velmi silně redukována a to na asi 100  $\mu V/W$  (u  $\mu A741$  je tato zpětná vazba např. 8 mV/W).

Pro obvod bylo též vyvinuto zvláštní pouzdro a způsob jeho upevnění. Pouzdro je na obr. 18, jde o typ pouzdra DIL se dvěma řadami vývodů. Potřebné montážní součásti jsou též na obr. 18.

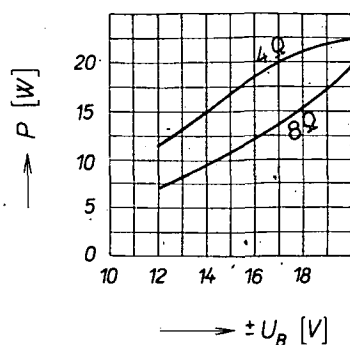
**Typické pracovní údaje**  
 Maximální napájecí napětí:  $\pm 20$  V.  
 Max. výstupní proud (omezen uvnitř IO): 3,5 A.  
 Teplotní odpor  $R_{\theta j}$ : 3 °C/W.  
 Zisk s otevřenou smyčkou zpětné vazby: 90 dB.  
 Výstupní odpor (s otevřenou smyčkou): 1  $\Omega$ .  
 Vstupní předpětový proud: 0,2  $\mu A$ .



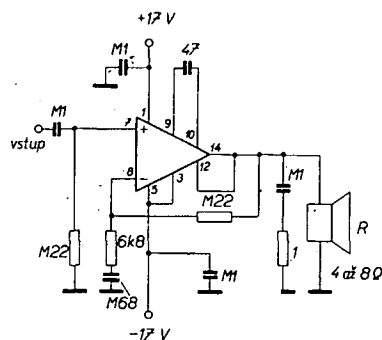
Obr. 19. Přenosová funkce pro zátěž  $R_L = 4 \Omega$ ,  $R_L = 8 \Omega$  a nekonečnou zátěž



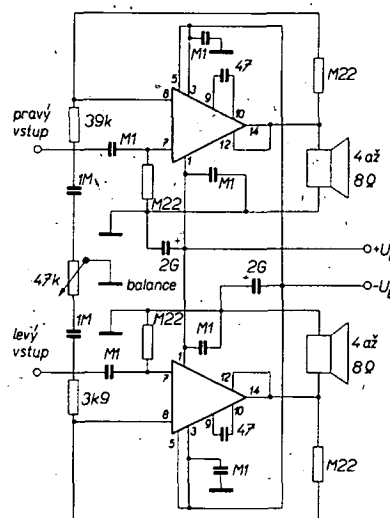
Obr. 20. Kmitočtová charakteristika pro různé kapacity kompenzačního kondenzátoru (čárkované  $R_L = 4 \Omega$ , plná čára nekonečná zátěž)



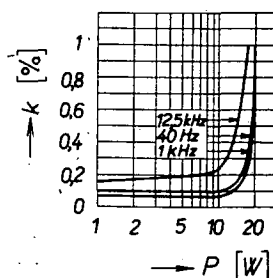
Obr. 21. Závislost výstupního výkonu na napájecím napětí (zkreslení 1 %,  $f = 1$  kHz, zesílení 50)



Obr. 22. Základní zapojení integrovaného výkonového zesilovače TDA2020 pro zátěž 4 a 8  $\Omega$  (pro 4  $\Omega$  musí mít chladič  $R_{\theta j} = 2$  °C/W, pro 8  $\Omega$   $R_{\theta j} = 8$  °C/W)



Obr. 23. Aplikace TDA2020 jako stereofonního zesilovače se stereofonním vyvážením, balancí



Obr. 24. Typická závislost celkového harmonického zkreslení na výstupním výkonu (pro  $R_L = 4 \Omega$ ,  $U_B = \pm 17$  V, zesílení 50)

Vstupní napětový offset: 5 mV.  
 Potlačení souhlasných signálů: 90 dB.  
 Vstupní efektivní šumové napětí (20 Hz až 20 kHz): 4  $\mu V$ .  
 Přenosová charakteristika: viz obr. 19.  
 Kmitočtová charakteristika: viz obr. 20.  
 Závislost výstupního výkonu na napájecím napětí: viz obr. 21.

#### Aplikace

Typické zapojení monolitického nf výkonového zesilovače jako zesilovače Hi-Fi je na obr. 22. Dosažitelný výstupní výkon závisí na napájecím napětí a na impedanci zátěže. Při napájecím napětí (stabilizovaném)  $\pm 17$  V a při zátěži 4  $\Omega$  je maximální výstupní výkon 20 W pro zkreslení 1 %, pro zátěž 8  $\Omega$  je výstupní výkon 13 W při stejném zkreslení.

Základní zapojení monolitického obvodu TDA2020 jako stereofonního zesilovače, napájeného nestabilizovaným napětím, je na obr. 23. Zmenší-li se při zatížení napájecí napětí nestabilizovaného zdroje např. na  $\pm 14$  V, lze na zátěži 4  $\Omega$  dosáhnout výstupního výkonu asi 13 W (sinus) a na zátěži 8  $\Omega$  výkonu asi 10 W. Pro zátěž 4  $\Omega$  je třeba umístit integrovaný obvod na chladič s teplotním odporem 5 °C/W, u stereofonního zesilovače (budou-li oba obvody na jednom chladiči) musí mít chladič teplotní odpor 13 °C/W (popř. 7 °C/W).

Typická závislost celkového harmonického zkreslení na výstupním výkonu je na obr. 24.

Použije-li se zesilovač v můstkovém uspořádání, lze jím napájet zátěž 8  $\Omega$  a dosáhnout výstupního výkonu až 36 W.

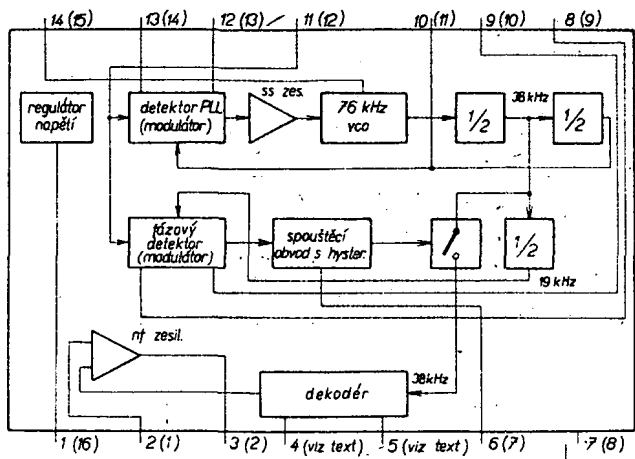
První zpráva o tomto monolitickém obvodu byla uveřejněna v listopadu 1974 v Transaction BTR.

#### Integrovaný stereofonní dekodér MC1310

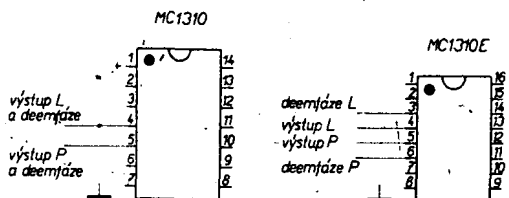
Jedním z nejrozšířenějších integrovaných obvodů ve spotřební elektronice je stereofonní demodulátor FM, využívající techniky fázového závěsu (PLL, phase locked loop) k obnově subnosné 38 kHz. Obvod se vyznačuje mnoha výhodnými vlastnostmi (např. možností použít napájecí napětí v širokém rozsahu, malé množství externích součástí apod.). Původním výrobcem je fa Motorola pod označením CA1310E, dále ho vyrábějí i další firmy, např. Signetics (MC1310 a MC1310E) apod.

Blokové schéma obvodu 1310 je na obr. 25. Ekvivalentní schéma z diskretních součástek neuvádím, neboť je velmi složité a k pochopení funkce není nutné, ta dobře vyplývá z blokového schématu. Obvod obsahuje 76 tranzistorů, téměř 90 odporů, Zenerovu diodu a několik dalších diod a jeden kondenzátor – to vše na jednom čipu.

Základním prvkem integrovaného obvodu je část k obnově nosné 38 kHz. Vnitřní oscilátor generuje signál o kmitočtu 76 kHz, jeho výstup se vede do dvou děličů dvěma, zapojených v sérii, na výstupu druhého děliče je tedy signál 19 kHz, který se vede na první modulátor – detektor PLL. Tento „zpětnovazební“ signál se se vstupním signálem násobí tak, že vždy vznikne stejnosměrná složka, přivede-li se na vstup obvodu signál s pilotním kmitočtem 19 kHz. Tato stejnosměrná složka prochází dolní propustí na ss zesilovač a řídí pak činnost vnitřního oscilátoru tak, že je fázově „odolný“ proti přítomnosti pilotního signálu. Proto má signál 38 kHz (za prvním děličem dvěma) správnou fázi, která umožňuje dekodovat stereofonní signál.



Obr. 25. Blokové schéma lineárního integrovaného obvodu – FM stereofonního dekodéru typu 1310. 1 – napájení (+), 2 – sdružený vstup, 3 – nf výstup, 4 – levý výstup a deefáze, 5 – pravý výstup a deefáze, 6 – indikace stereo, 7 – zem, 8, 9 – prahový filtr, 10 – výstup signálu 19 kHz, 11 – vstup fázového detektoru (modulátoru), 12, 13 – smyčka PLL, 14 – řízení VCO (napětově řízeného oscilátoru). V závorce jsou čísla vývodů obvodu 1310E se šestnácti vývody. Oba typy obvodů se liší tím, že u typu 1310E nejsou výstupy z dekodéru dva, ale čtyři, a to na vývodu 3 je připojen článek deefáze pro levý kanál, na vývodu 4 výstup levého kanálu, na vývodu 5 výstup pravého kanálu a na vývodu 6 článek deefáze pro pravý kanál (viz též obr. 27 a 28 s praktickým zapojením)



Obr. 26. Pouzdra obvodů 1310 a číslování vývodů

Dekódovací část obvodu se skládá z modulatoru-fázového detektoru, v němž se násobí přicházející signál signálem 38 kHz. Do dekodéru se signál 38 kHz přivádí přes elektronický spínač, který se sepne vždy při přítomnosti dostatečně silného pilotního signálu. Součástí obvodu je i spouštěcí obvod ke spínání indikačního prvku přítomnosti stereofonního signálu.

Použitá technika zapojení umožňuje velmi dobré oddělení obou stereofonních kanálů, a to 40 dB.

Zapojení vývodů obou typů obvodu (v pouzdře se šestnácti nebo čtrnácti vývody) je na obr. 26. Na obr. 27 a 28 je pak typické zapojení dekodéru v přijímači VKV-FM.

#### Mezní údaje

Napájecí napětí: 16 V.

Proud indikační žárovkou: 75 mA.

Výkonová ztráta: 625 mW.

Rozsah provozních teplot: -30 až +85 °C.

Teplota při pájení (10 s): 300 °C.

#### Charakteristické údaje

Odběr proudu (indikační žárovka nesvítili): typ. 20, max. 30 mA.

Úroveň pilotního signálu pro rozsvícení indikační žárovky: 15 mV.

Indikační žárovka zhasne při úrovni pilotního signálu: 7 mV.

Oddělení kanálů: 40 dB.

Činitel zkreslení: 0,3 %.

Vstupní odpor: 20 kΩ.

Vstupní impedance: 50 kΩ.

Výstupní nf napětí (efekt.): asi 480 mV.

Napájecí napětí: 8 až 16 V.

#### Tvarovače impulsů pro otáčkoměr – integrované obvody řady SAK

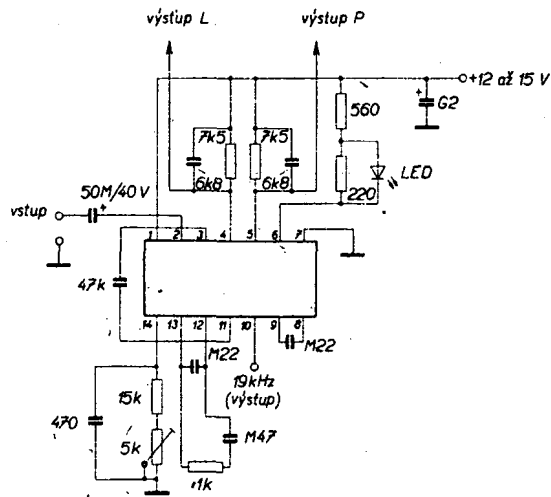
Monolitické integrované obvody řady SAK (vyrábí je Intermetall, ITT) jsou určeny pro použití v otáčkoměrech motorových vozidel. Zatím se vyráběly nebo vyrábějí ve třech provedeních, a to jako SAK110, SAK115 a SAK215.

Všechny tři typy jsou určeny spolu s několika málo vnějšími součástkami ke konstrukci měřičů rychlosti otáčení motorů se dvěma až osmi válci a to pro vozy s palubním napětím 12 V nebo více.

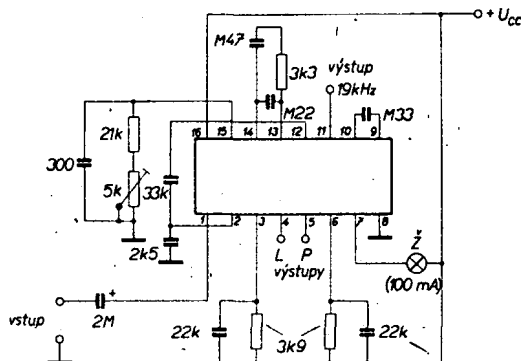
SAK110 a SAK115 obsahují v podstatě monostabilní klopný obvod, který přetváří vstupní signál (např. přímo z kontaktů přerušovače) na pravouhlé impulsy o konstantním napětí a konstantní délce (pro určitou rychlost otáčení). Oba dva tyto typy se používají s měřidlem o citlivosti 8 mA (pro maximální výchylku ručky).

SAK215 může navíc sloužit ještě pro všechny aplikace, u nichž se vyskytuje potřeba převodníku kmitočet-proud, jako měřič rychlosti otáčení vyžaduje měřidlo o citlivosti 10 mA pro plnou výchylku.

Všechny obvody jsou navrženy tak, aby bylo s vhodným měřidlem dosaženo teplotně nezávislé indikace rychlosti otáčení, výstupní obvod s koncovými doplňkovými tranzistory umožňuje použití i při vysokých kmitočtech měřidlo s velkou indukčností cívky. Aby zapojení nebylo ovlivňováno zápornými im-



Obr. 27. Zapojení stereofonního dekodéru s obvodem 1310P (1310) podle údajů firmy Motorola



Obr. 28. Zapojení stereofonního dekodéru s obvodem 1310E podle údajů fy Signetics

pulsy na vstupních přívodech (vývody 2 a 3), je paralelně k těmto přívodům uvnitř integrovaného obvodu dioda, která svádí záporné impulsy na zem.

Integrované obvody SAK110 a SAK115 lze „spouštět“ impulsy o napětí do 8 V. Tyto impulsy lze získat např. z děliče, na nějž se přivádí signál přímo z kontaktů přerušovače.

Základní údaje všech tří typů obvodů jsou uvedeny dále.

#### SAK110

Základní zapojení tohoto integrovaného obvodu jako měřiče rychlosti otáčení (spolu s hlavními rozměry pouzdra a s číslováním vývodů) je na obr. 29a, b.

Všechna napětí a proudy, uvedené v následujících údajích, jsou vztaženy ke společnému bodu – vývody 3, 4 a 5.

#### Mezní údaje

Napájecí napětí: 9 V.

Proudy:  $I_1 = -20$  mA,

střední proud  $I_2 = 2$  mA,

$I_2$  při délce impulsu do 0,5 ms je

20 mA,

$I_2$  při délce impulsu do 0,5 ms je

75 mA,

$I_1$  při délce impulsu do 0,5 ms je

-75 mA.

Doporučené provozní údaje

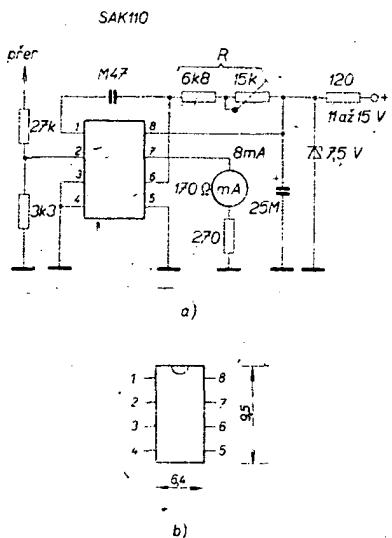
Napájecí napětí: 7,5 až 8 V.

Kmitočet vstupního signálu: do 10 kHz.

Odpor  $R_{0/8}$ : 3 až 20 kΩ.

Trvání výstupních impulsů: 2,7 až 3,1 ms.

Napětí výstupních impulsů: 5 až 5,8 V.

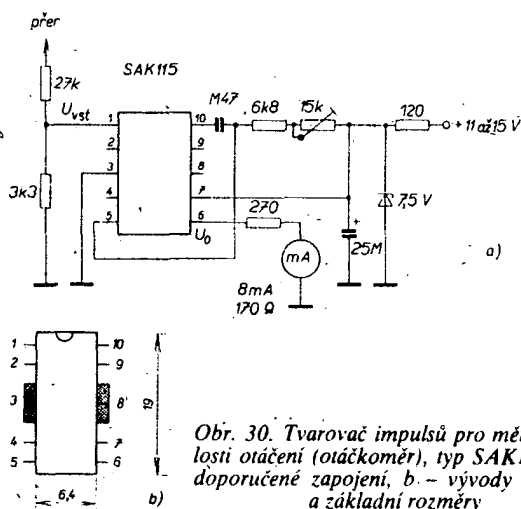


Obr. 29. Tvarovač impulsů pro měřič rychlosti otáčení (otáčkoměr), typ SAK110; a – doporučené zapojení, b – vývody pouzdra a základní rozměry

Střední hodnota výstupního napětí: 3,3 až 4,5 V.  
Zbytkové výstupní napětí: menší než 30 mV.  
Chyba linearity: menší než 0,3 %.

#### SAK115

Základní zapojení tohoto obvodu jako měřiče rychlosti otáčení (spolu s hlavními rozměry pouzdra a s číslováním vývodů) je na obr. 30a, b.



Obr. 30. Tvarovač impulsů pro měřič rychlosti otáčení (otáčkoměr), typ SAK115; a – doporučené zapojení, b – vývody pouzdra a základní rozměry

Všechna napětí a proudy, uvedené v následujících údajích, jsou vztaheny ke společnému bodu – vývodu 3, 8.

#### Mezní údaje

Napájecí napětí: 9 V.  
Výstupní proud: -20 mA.

#### Doporučené provozní údaje

Odběr proudu při  $U_{\text{vst}} = 0$ : 12 až 22 mA.  
Vstupní napětí  $U_{\text{vst}}$ : 6,5 až 8 V.  
Trvání výstupního impulsu: 2,7 až 3,1 ms.  
Napětí výstupních impulsů: 5 až 5,8 V.  
Střední hodnota výstupního napětí: 3,3 až 4,5 V.

#### SAK215

Základní zapojení tohoto nejnovějšího typu uvedené řady integrovaných obvodů je na

obrázku 31a, b (spolu s hlavními rozměry pouzdra a číslováním vývodů). Zapojení je navrženo pro plnou výchylku ručky měřidla při rychlosti otáčení 6000 ot/min a to pro čtyřválcový, čtyřdobý motor a pro palubní síť 12 V.

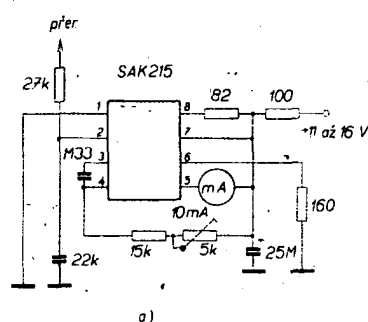
Všechny dále uvedené údaje napětí a proudů jsou vztaheny ke společnému bodu – vývodu 1 integrovaného obvodu.

#### Mezní údaje

Vstupní napětí  $U_2 = \pm 20$  V.  
Měřicí pracovní proud:  $I_5, -I_6 = 40$  mA.  
Rozsah pracovních teplot okolí: -25 až +65 °C.

#### Doporučené provozní údaje

Napájecí napětí: 7,4 až 8,2 V.  
Odběr proudu:  $I_7$  je menší než 12 mA.  
Vstupní napětí: 1,5 až 20 V.  
Při vstupním napětí od -20 do +0,5 V obvod nepracuje, od -0,5 V do 1,5 V obvod nepracuje definovaně (jako vstupní napětí se uvažuje napětí na vývodu 2).  
Vstupní odpor:  $R_{2/1} = 7$  kΩ.



Obr. 31. Tvarovač impulsů pro měřič rychlosti otáčení (otáčkoměr), typ SAK215; a – doporučené zapojení, b – základní rozměry

Amplituda impulsu na vývodu 6: 2 až 2,5 V.  
Trvání výstupního impulsu: 0,64  $R_{2/1} C_{3/4}$ .  
Výstupní proud:  $I_5 = -I_6$ .  
Odpor k nastavení proudu měřidlem:  $R_{6/1}$  je větší než 100 Ω.  
Úbytek napětí na bočnickovém odporu:  $U_{1/k}$  je menší než 7 V.

Podle základního zapojení na obr. 31 byl zkonstruován měřič rychlosti otáčení jednak pro vůz Škoda 110L a jednak pro vůz Wartburg. Při konstrukci obou otáčkoměrů bylo největším problémem obstarat si vhodné měřidlo – pro otáčkoměr je totiž třeba vzhledem ke snadnému čtení údajů měřidlo s co největší výchylkou ručky, např. 270°.

Při konstrukci otáčkoměru pro Š 110L bylo zachováno téměř přesně doporučené zapojení, pro Wartburg bylo zapojení poněkud pozměněno, a doplněno, neboť se měřící rozsah rozdělil do dvou rozsahů – pro malé

a velké rychlosti otáčení (od 0 do 1500 ot/min a od 0 do 6000 ot/min), viz konstrukční část.

#### Dvojitě operační zesilovače s malým šumem $\mu A739$ a $\mu A749$

Dvojitě operační zesilovače  $\mu A739$  a  $\mu A749$  jsou složeny ze dvou identických operačních zesilovačů na jednom křemíkovém čipu. Operační zesilovače se vyznačují malým šumem a stabilními parametry i při velkých rozdílech teplot a různých napájecích napětích. Oba dva zesilovače mohou pracovat se souměrným nebo nesouměrným napájecím napětím, mají zkratu odolný výstupní obvod a velké zesílení. Ekvivalentními obvody k  $\mu A739$  jsou SN76131 (TI) a TBA231 (SGS-ATES).

Zapojení vnitřní struktury je na obr. 32. Na obr. 33 je zapojení vývodů jak pro obvody v pouzdru DIL se čtrnácti vývody, tak i pro obvody v kulatém kovovém pouzdru s osmi vývody. V kulatém pouzdru s osmi vývody se převážně dělá pouze obvod  $\mu A749$ , označuje se pak jako  $\mu A749D$ . Prvním výrobcem obvodů byla fa Fairchild.

#### Technické údaje

##### Maximální údaje

Napájecí napětí:  $\pm 18$  V.  
Výkonová ztráta: 500 mW.  
Diferenční vstupní napětí:  $\pm 5$  V.  
Vstupní napětí:  $\pm 15$  V.  
Rozsah pracovních teplot: 0 až 70 °C.  
Doba zkratu na výstupu: max. 30 s.  
Zkratem na výstupu se rozumí krátké spojení mezi výstupem a zemí nebo výstupem a napájecími větvemi.

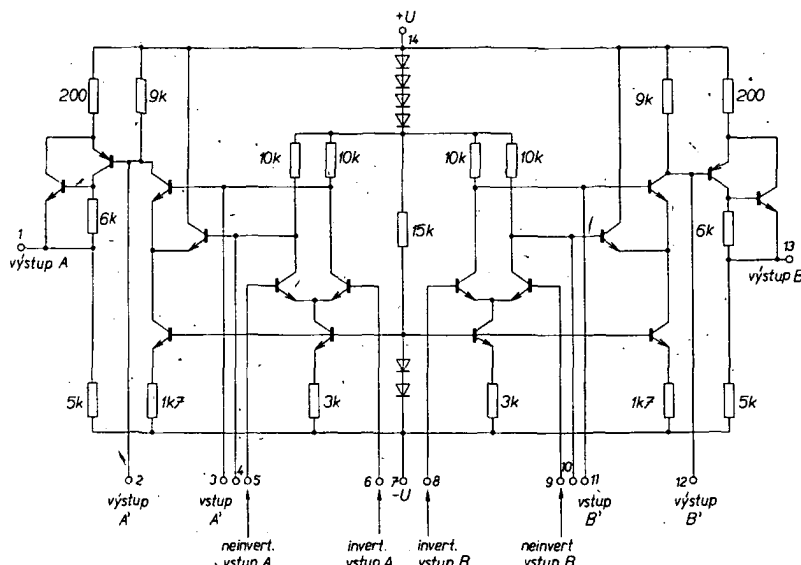
##### Provozní údaje

Vstupní napětový offset: typ. 1, max. 6 mV.  
Vstupní proudový drift: typ. 50, max. 1000 nA.  
Vstupní odpor: min. 37, typ. 150 kΩ.  
Napětové zesílení ( $U_{\text{vst}} = \pm 5$  V): min. 6500, typ. 20 000.  
Výstupní odpor ( $f = 1$  kHz): 5 kΩ.  
Potlačení souhlasných signálů: min. 70, typ. 90 dB.  
Odběr proudu naprázdno: 9 až 14 mA.  
Šumové číslo (10 Hz až 10 kHz): 2 dB.  
Oddělení kanálů (10 kHz): 140 dB.

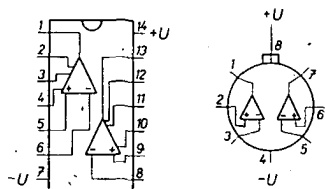
Údaje pro napájecí napětí  $\pm 4$  V, 25 °C  
Vstupní napětový offset: 1 až 6 mV.  
Vstupní proudový offset: typ. 50, max. 1000 nA.  
Vstupní předpětový proud: 300 nA.  
Odběr proudu ( $U_{\text{vst}} = 0$ ): 2,5 mA.  
Napětové zesílení ( $U_{\text{vst}} = \pm 1$  V): min. 2500, typ. 15 000.  
Kladné výstupní napětí: +2,8 V.  
Záporné výstupní napětí: -4 V.

Operační zesilovače lze použít v těchto typických aplikacích: všude, kde se vyžadují dva shodné operační zesilovače, jako předzesilovače pro magnetickou vložku do přenosky, jako předzesilovače pro magnetofonovou hlavu, k dálkovému ovládání televizních přijímačů, jako dvojitě komparátory, jako zesilovač k senzorům a jiným čidlům, jako oscilátory, jako aktivní filtry apod.

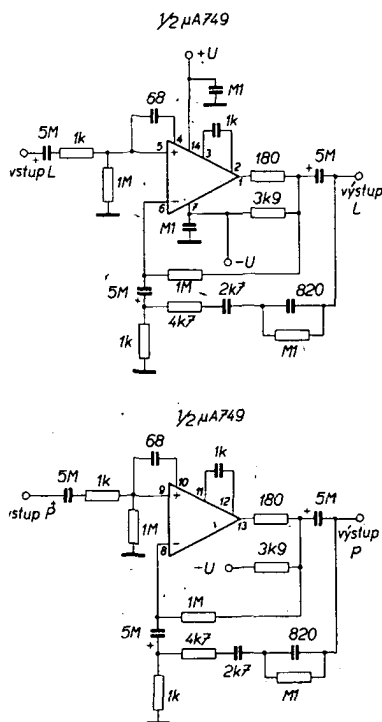
Ve spotřební elektronice je jejich typickým použitím oblast předzesilovačů. Jako příklad je na obr. 35 uveden předzesilovač pro magnetickou vložku do přenosky při napájení zesilovače nesymetrickým napětím, na obr. 34 předzesilovač pro magnetickou vložku do přenosky při napájení souměrným napětím. Z uvedených zapojení je též zřej-



Obr. 32. Ekvivalentní obvod s diskrétními součástkami pro operační zesilovače typu  $\mu A739$  a  $\mu A749$  (u  $\mu A749$  jsou vynechány odpory  $5\text{ k}\Omega$  a  $6\text{ k}\Omega$  v kolektorech výstupních tranzistorů a výstupní tranzistory n-p-n; jako výstupy A a B slouží přímo kolektory výstupních tranzistorů p-n-p)



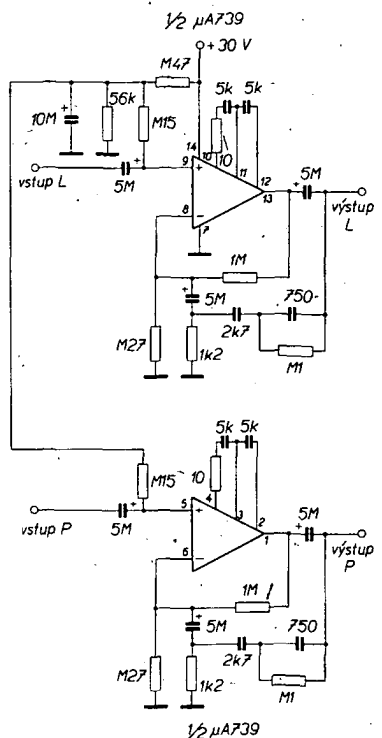
Obr. 33. Zapojení vývodů operačních zesilovačů  $\mu A739$  a  $\mu A749$  – pohled shora. V kulatém pouzdru s osmi vývody se dělá převážně jen obvod  $\mu A749$ , označuje se pak jako  $\mu A749D$



Obr. 34. Zapojení předzesilovače pro magnetickou vložku do přenosky obvodem  $\mu A749$ , napájeného symetrickým napětím  $\pm 15\text{ V}$

mé, jak je třeba postupovat při návrhu zapojení, není-li k dispozici zdroj souměrného napájecího napětí, které se k napájení operačních zesilovačů běžně používá.

Zesilovače na obr. 34 a obr. 35 mají zisk typicky 40 dB na kmitočtu 1 kHz a jejich kmitočtové korekce odpovídají normě RIAA. Vstupní napětí bez přebuzení může



Obr. 35. Zapojení předzesilovače pro magnetickou vložku do přenosky s obvodem  $\mu A739$ , napájeného nesymetrickým napětím  $+30\text{ V}$ . Při napájení ze symetrického zdroje napětí (např.  $\pm 15\text{ V}$ ) odpadne dělič napětí z odporů  $0,47\text{ M}\Omega$ ,  $0,15\text{ M}\Omega$ ,  $56\text{ k}\Omega$  a kondenzátor  $10\text{ }\mu\text{F}$ , dále odpory  $0,27\text{ M}\Omega$  u invertujících vstupů, naopak přibudou odpory  $1\text{ M}\Omega$  z neinvertujících vstupů na zem a blokovácí kondenzátory  $0,1\text{ }\mu\text{F}$  v přívozech napájecích napětí, navíc se změní polarita vstupních elektrolytických kondenzátorů a elektrolytických kondenzátorů ve větvi zpětné vazby ( $5\text{ }\mu\text{F}$ )

dosáhnout až 80 mV. Úroveň šumu je 2  $\mu\text{V}$ , vztaženo ke vstupu. Odstup signál/šum je 74 dB pro vstupní signály menší než 10 mV. Oddělení kanálů na kmitočtu 1 kHz je lepší než 80 dB. Zkreslení je do výstupního napětí 9 V menší než 0,1 %.

### Univerzální operační zesilovač ZN424

Operační zesilovač ZN424 firmy Ferranti je univerzální operační zesilovač s typickým ziskem 86 dB, malým šumem a s výstupním zesilovačem třídy A. Velmi zajímavou vlastností je jeho přímá slučitelnost s obvodem TTL. Operační zesilovač ZN424 lze navíc ovládat i signálem, priváděným na jeho zvláštní vstup, což značně rozšiřuje možnosti jeho použití. Zesilovač lze kompenzovat kmitočtově vně připojeným kondenzátorem nebo členem RC.

Ekvivalentní zapojení operačního zesilovače ZN424 z diskrétních součástek je na obr. 36. Vhodnou kmitočtovou kompenzací lze realizovat sériovým zapojením kondenzátoru  $10\text{ nF}$  a odporu  $68\text{ }\Omega$  mezi vývody „kompenzace“ a  $+U_B$ . Ofset lze nastavit odporovým trimrem  $1\text{ M}\Omega$  mezi vývody „vyvážení“ (balance) a „kompenzace“, běžec trimru je připojen přes odpor asi  $50\text{ k}\Omega$  na kladný přívod napájecího napětí.

Přivede-li se na vstup „hradlování“ (gate) záporný signál, přeruší se činnost operačního zesilovače.

Zapojení vývodů z pouzder, v nichž se operační zesilovač vyrábí, je na obr. 37.

Některá ze základních doporučených zapojení operačního zesilovače jsou na obr. 38 až 40. Na obr. 38 je zapojení OZ jako druhu multiplexeru. Hradlovací přívody jednotlivých operačních zesilovačů se v tomto případě připojují na výstupy kruhového čítače, a to buď jednotlivě za sebou, nebo ve zvolených kombinacích. Na výstupu jsou pak signály právě pracujícího operačního zesilovače. Tento druh zapojení lze použít např. jako několikakanalový nř spínač, který může být ovládán po dlouhém kabelu nebo číslicovými obvody apod.

Vhodnou aplikací tohoto operačního zesilovače je i předzesilovač pro magnetickou vložku do gramofonové přenosky. Předzesilovač je korigován podle křivky RIAA kmitočtově závislým členem RC ( $R_1$ ,  $C_1$ ,  $R_2$ ,  $C_2$ ), člen  $R_3$ ,  $C_3$  slouží jako hlukový filtr. Typické zesílení OZ naprázdno je asi 86 dB, celkové harmonické zkreslení je při výstupním napětí (mezivrcholovém) 2 V asi 1,5 %. Je-li tedy u předzesilovače nastaveno zesílení asi na 34 dB, je zkreslení maximálně řádu tisícín procenta a předzesilovač bude mít při vstupním napětí 5 mV a při napájecím napětí 30 V odstup rušivých napětí lepší než 70 dB.

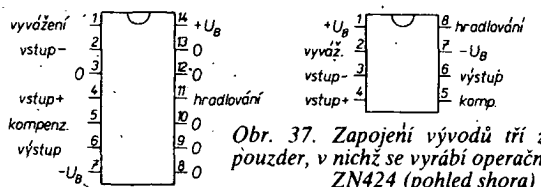
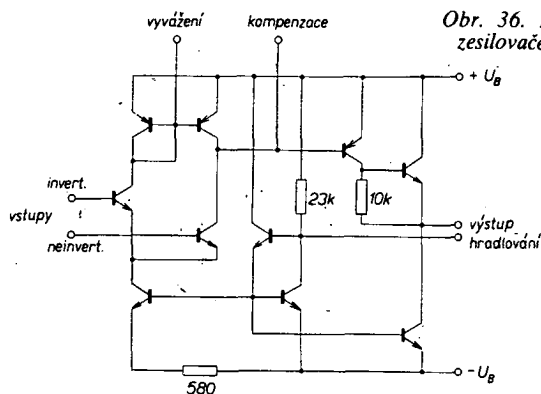
Z dalších možných aplikací (optoelektronický spínač, přesný generátor schodovitého napětí – ve spolupráci s osmibitovým převodníkem A-D/D-A typu ZN425E atd.) si uvedeme ještě zapojení na obr. 40, nazývané sample-and-hold. Výstupní napětí OZ pak závisí na volbě „zpětnovazebního“ tranzistoru. Bude-li mít přívod k hradlovacímu vstupu záporné napětí, pak výstupní signál bude udržován po určitou dobu na konstantní velikosti. Tato doba závisí na kapacitě kondenzátoru  $C$ , svodových proudech tranzistoru a IO.

#### Mezní údaje

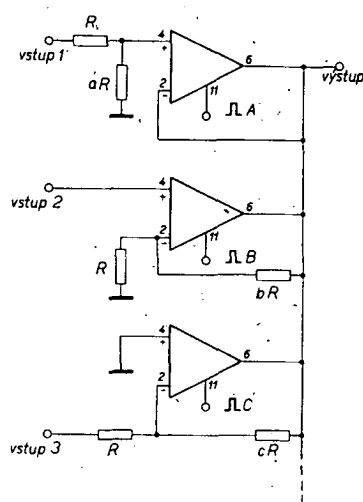
Napájecí napětí:  $\pm 18\text{ V}$ .  
Ztráta pro pouzdro TO: 300 mW.  
Vstupní diferenční napětí: 5 V.

#### Charakteristické údaje

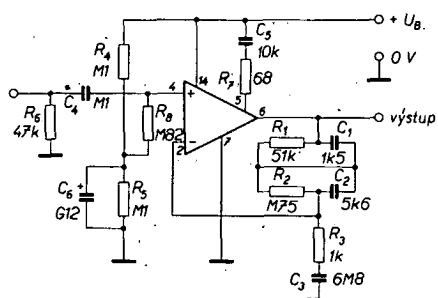
Napájecí napětí:  $\pm 2$  až  $\pm 18\text{ V}$ .  
Pracovní rozsah teplot: 0 až  $\pm 70^\circ\text{C}$ .  
Odběr proudu: 5,5 mA.  
Vstupní proud: 0,5  $\mu\text{A}$ .  
Drift: 5  $\mu\text{V}/^\circ\text{C}$ .  
Vstupní odpor: 200 k $\Omega$ .



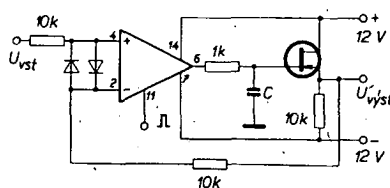
Obr. 37. Zapojení vývodů tří základních pouzder, v nichž se vyrábí operační zesilovač ZN424 (pohled shora)



Obr. 38. Zapojení multiplexeru s libovolným počtem integrovaných operačních zesilovačů typu ZN424



Obr. 39. Korekční předzesilovač pro magnetickou vložku do přenosky gramofonu. Korekce podle RIAA, zisk 34 dB



Obr. 40. Zapojení „sample-and-hold“ s operačním zesilovačem ZN424

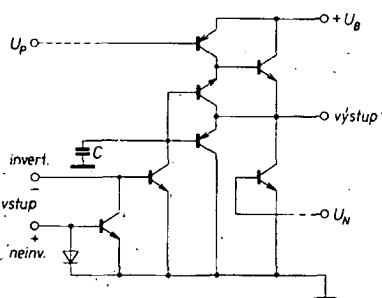
Obr. 36. Ekvivalentní schéma operačního zesilovače ZN424 z diskretních součástek

Mezní kmitočet: 4 MHz.  
Výstupní odpor: 4 kΩ.  
Maximální rozkmit výstupního napětí: ±11 V.  
Doba náběhu: 100 V/μs.  
Doba doběhu: 12 V/μs.

#### Čtveřice operačních zesilovačů v jednom pouzdře, typ LM3900

Integrovaný obvod LM3900, výrobek fy National Semiconductor, obsahuje čtyři univerzální operační zesilovače. Operační zesilovače není třeba vně kompenzovat. Všeobecně lze říci, že čtyři operační zesilovače LM3900 umožňují realizovat velké množství nejruznějších zapojení, z nichž si některé také ukážeme.

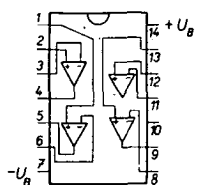
Ekvivalentní zapojení každého ze čtyř operačních zesilovačů v pouzdře LM3900 je na obr. 41. Napětí pro bázi tranzistoru zcela



Obr. 41. Ekvivalentní zapojení jednoho ze čtyř operačních zesilovačů z pouzdra LM3900 z diskretních součástek

nahoru ve schématu a pro bázi pravého spodního tranzistoru se „vyrábějí“ uvnitř struktury pouzdra LM3900.

Zapojení vývodů pouzdra LM3900 je na obr. 42. Pouzdro je běžného typu dual-in-

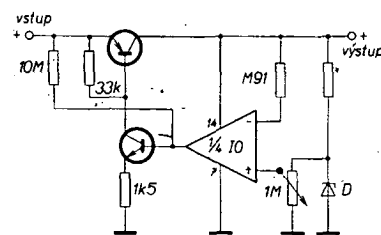


Obr. 42. Zapojení vývodů pouzdra LM3900

line (DIL) se čtrnácti vývody. Napájecí napětí pro všechny čtyři operační zesilovače se přivádí na vývody 14 a 7.

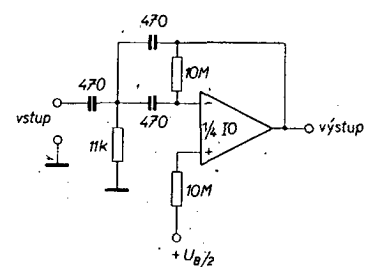
Zajímavé a velmi praktické je zapojení jednoho pouzdra LM3900 jako zdroje čtyř různých stabilizovaných napětí. Zapojení jednoho z takových zdrojů je na obr. 43. Výkonový díl (především tranzistory) je třeba navrhovat podle požadavků na zdroj (vstupní a výstupní napětí; výstupní proud). Zenerovu diodu je třeba vybrat tak, aby bylo možno s použitým typem nastavit požadované výstupní napětí. Odpor v sérii se Zenerovou diodou se má zvolit tak, aby diodou tekla proud asi 1 mA.

Aktivní horní propust z jedné čtvrtiny LM3900 je na obr. 44. V zapojení podle obr. 44 má propust zesílení 1 na kmitočtu 1 kHz. Její jakost je asi 10. Kmitočtová charakteristika má sklon 12 dB/okt., popř. 40 dB na dekádu směrem k horním kmitočtům.



LM3900

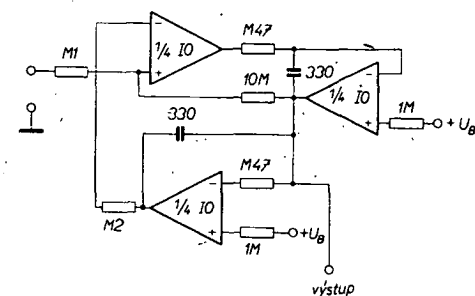
Obr. 43. Říditelný zdroj stabilizovaného napětí z 1/4 pouzdra LM3900



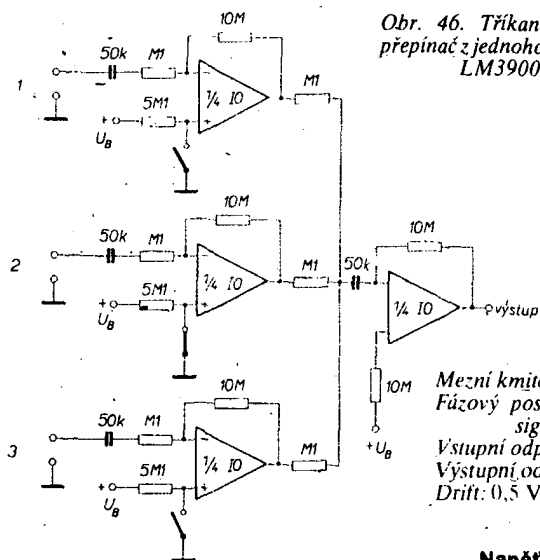
Obr. 44. Aktivní horní propust z 1/4 pouzdra LM3900

Jako další příklad zapojení pouzdra LM3900 je aktivní pásmová propust v uspořádání zvaném „doppel-quad“. U propusti se dosahuje jakosti až 50. Propust je navržena také pro kmitočet 1 kHz, tento kmitočet je však tentokrát kmitočtem rezonančním. Zisk obvodu je na kmitočtu 1 kHz asi 40 dB (zesílení 100). Zapojení se vzhledem k výstupům operačních zesilovačů jeví v podstatě jako horní a dolní pásmová propust – obě se stejnou jakostí (obr. 45).

Velmi zajímavé zapojení pro všechny nf techniky a zájemce o stavbu směšovačích



Obr. 45. Aktivní pásmová propust LM3900



Obr. 46. Tříkanálový nf  
přepínač z jednoho pouzdra  
LM3900

Mezní kmitočet: 2,5 MHz.  
Fázový posuv mezi vstupním a výstupním  
signálem: 40°.  
Vstupní odpor: 1 MΩ.  
Výstupní odpor: 8 kΩ.  
Drift: 0,5 V/μs.

### Napěťový regulátor pro kladná a záporná výstupní napětí, SG1501A

pultů a dalších nf zařízení je na obr. 46. Jedná se o tříkanálový nf přepínač, jehož jednotlivé vstupní signály z libovolných zdrojů lze přepínat jednoduchými přepínači (vlastně spínači s jedním spínacím kontaktem), které spojí neinvertující vstup jednoho ze tří operačních zesilovačů se zemí. Předností tohoto způsobu přepínání kanálů je možnost ovládat přepínání z libovolné vzdálenosti od vlastního zesilovače, aniž by se zhoršovaly brumové poměry (odstup signál/brum), neboť k přepínání se používá stejnosměrné napětí.

K nejrůznějším účelům v profesionální elektronice slouží generátory schodovitého napětí. Takový generátor konstruovaný z jednoho pouzdra LM3900 je na obr. 47. Výstupní napětí schodovitého průběhu se zvětšuje od nuly po „schodech“ až do 80 % napájecího napětí. Po dosažení uvedené úrovně výstupního napětí se pak výstupní napětí vrací zpět k nule (viz diagram na obr. 47 u výstupní svorky).

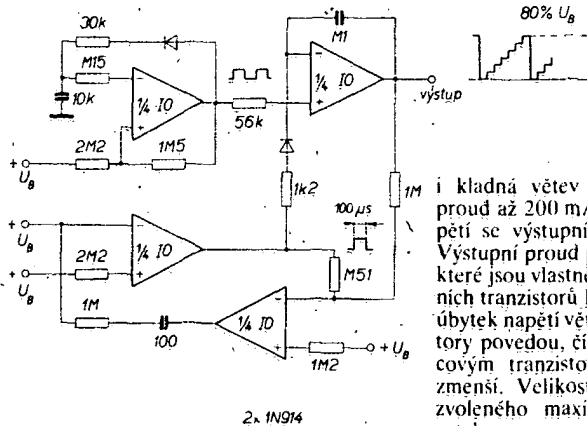
Tyto generátory začínají v poslední době pronikat i do spotřební elektroniky – používají se např. v rozhlasových přijímačích do auta spídkové jakosti, které mají elektronické ladění a elektronický výběr přijímaných programů. Jinak se tyto generátory běžně používají ke grafickému znázornění charakteristiky na obrazovce osciloskopů.

#### Technické údaje

Napájecí napětí: +4 až +36 V, nebo  $\pm 2$  až  $\pm 18$  V.

Klídivý proud: 1,3 mA.

Napěťový zisk při zatěžovacím odporu 10 kΩ: 70 dB.

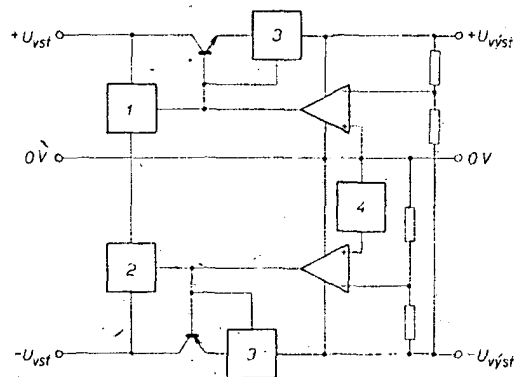


Obr. 47. Generátor napětí schodovitého průběhu z jednoho pouzdra (čtyřice integrovaných operačních zesilovačů) LM3900

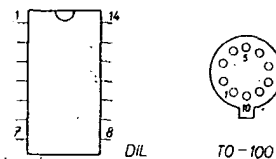
i kladná větve regulátoru může dodávat proud až 200 mA. Při změnách zátěže a napětí se výstupní napětí mění asi o 2 mV. Výstupní proud protéká z vývodu 5 odpory, které jsou vlastně emitterovými odpory vnitřních tranzistorů IO. Je-li na těchto odporech úbytek napětí větší než 0,6 V, vnitřní tranzistory povedou, čímž „odehrají“ proud koncovým tranzistorům a výstupní proud se zmenší. Velikost těchto odporů lze podle zvoleného maximálního proudu určit ze vztahu

$$R_s \approx \frac{0,6 \text{ V}}{I_{\text{max}}}$$

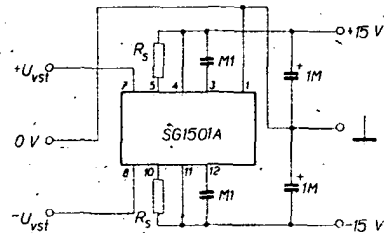
kde  $I_{\text{max}}$  je maximální proud při zkratu na výstupu.



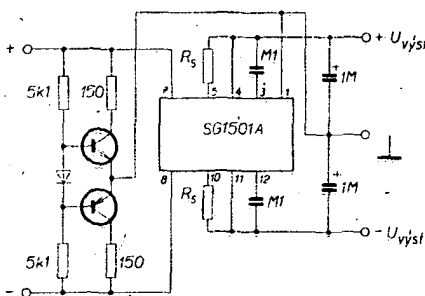
Obr. 48. Blokové schéma dvojitého integrovaného stabilizátoru napětí typu SG1501A. 1 – zdroj kladného napětí, 2 – zdroj záporného napětí, 3 – omezení proudu, 4 – zdroj referenčního napětí



Obr. 49. Dvě základní provedení pouzder, v nichž se obvod SG1501A vyrábí. Vývody pouzder sobě odpovídají takto: (první číslo – vývod pouzdra DIL, druhé číslo – vývod pouzdra TO-100) 1 = 10, 2 = -, 3 = 1, 4 = 2, 5 = 3, 6 = -, 7 = 4, 8 = 5, 9 = -, 10 = 6, 11 = 7, 12 = 8, 13 = -, 14 = 9



Obr. 50. Základní zapojení SG1501A pro výstupní proudy do 200 mA



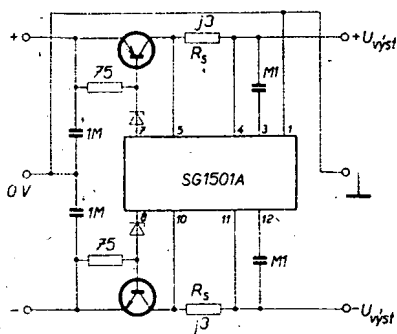
Obr. 51. Zapojení SG1501A, vytvářející umělý střed souměrného výstupního napětí (umělou zem)

Požaduje-li se souměrné výstupní napětí a je-li vstupní napětí nesouměrné, lze využít pomocného zapojení podle obr. 51, které vytváří tzv. umělou zem.

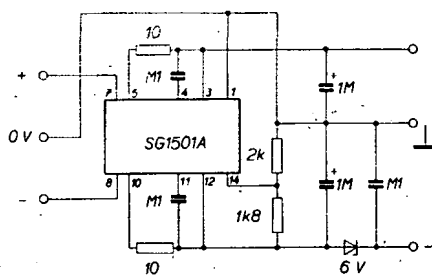
Výstupní proudy větší než 200 mA lze získat při zapojení SG1501A podle obr. 52. Má-li zapojení sklon ke kmitání, použijí se ve vstupu elektrolytické kondenzátory 1 μF. Tranzistory lze volit podle požadovaného výstupního proudu a podle vstupního napětí.

Díky celkem jednoduchému „figlu“ lze monolitický regulátor SG1501A použít i k získání různých napětí obou polarit; zapojení pro +12 V a -6 V je na obr. 53. Děliče napětí 2 kΩ, 1,8 kΩ umožňují nastavit výstupní napětí  $\pm 12$  V, záporná větve regu-





Obr. 52. Zapojení SG1501A s externími tranzistory pro větší výstupní proudy. Zenerovy diody v bázích tranzistorů je třeba použít pouze při vstupních napětích na horní mezi povolené tolerance



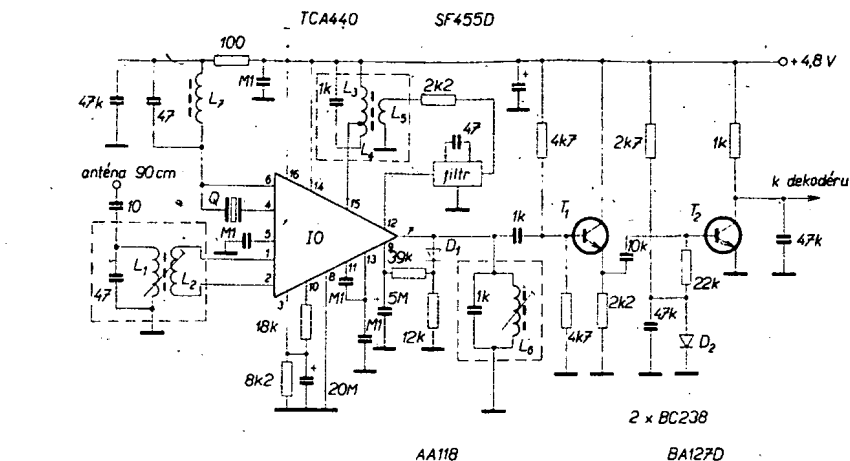
Obr. 53. Zapojení k získání nesymetrického výstupního napětí obou polarit (kladné a záporné).

látoru je však doplněna ještě Zenerovou diodou se Zenerovým napětím podle požadovaného záporného výstupního napětí, podle příkladu na obr. 53 Zenerovou diodou se Zenerovým napětím 6 V.

Při zvlášť velkých vstupních napětích lze obvod regulátoru podle obr. 52 doplnit ještě Zenerovými diodami v bázích výkonových tranzistorů, v kladné větvi katodou k bázi, v záporné anodou k bázi; diody pak chrání vstupy regulátoru před zničením.

### Monolitický obvod pro přijímače AM TCA440

Monolitický integrovaný obvod TCA440 byl vyvinut pro přijímače AM do kmitočtu 30 MHz. Obvod obsahuje řízený vf předzesilovač, multiplikativní protitaktní směšovač s odděleným oscilátorem a řízený mf zesilovač. Zpětnovazební řídicí obvody mají pět stupňů. Řídicí rozsah je 100 dB. Díky vnitřnímu stabilizátoru jsou všechny vlastnosti monolitického obvodu nezávislé na napájecím na-



Obr. 55. Zapojení TCA440 jako výkonného přijímače soupravy dálkového ovládání v pásmu 27 MHz.  $L_1$  má 11 z drátu o  $\varnothing$  0,15 mm,  $L_2$  5 z stejného drátu na kostře Vogt typu D71-2499.1,  $L_3$  má 27 z,  $L_4$  68 z,  $L_5$  28 z,  $L_6$  95 z, všechny drátem o  $\varnothing$  0,05 mm na kostře Vogt typu D71-2498.1,  $L_7$  má 6 z drátu o  $\varnothing$  0,2 mm na jádře B62110-K123, 5 x 1,6 x 6 mm

pět. Obvod má též zesilovač pro připojení měřidla jako ukazatele vyladění.

Z blokového schématu na obr. 54 je patrné, že integrovaný obvod obsahuje dva nezávislé řídicí okruhy zpětnovazebního signálu – jeden řídí předzesilovač a druhý mf zesilovač. Řízením vstupního vf předzesilovače se získala velká odolnost proti přebuzení vstupních obvodů – mezivrcholový vstupní signál 2,6 V je zpracováván ještě bez jakéhokoli zkreslení.

Díky multiplikativnímu protitaktnímu směšovači vzniká při směšování velmi málo vyšších harmonických. Oddělený oscilátor je vhodný i pro rozsah krátkých vln. Z řídicího napětí pro mf zesilovač je odvozeno i napětí pro měřidlo ukazatele vyladění. Pro plnou výchylku ručky měřidla platí následující údaje měřidla:

$R_i$	citlivost
1,5 k $\Omega$	100 $\mu$ A
1 k $\Omega$	170 $\mu$ A
500 $\Omega$	200 $\mu$ A
250 $\Omega$	500 $\mu$ A

Blokové schéma integrovaného obvodu na obr. 57 je doplněno o základní součástky, s nimiž obvod slouží jako přijímač AM.

Velmi zajímavé je zapojení monolitického obvodu TCA440 jako přijímače soupravy dálkového ovládání v pásmu 27 MHz. Přijímač obsahuje minimum vně připojovaných součástek, proto ho lze konstruovat na velmi malé desce s plošnými spoji. K zapojení je třeba uvést, že cívky jsou zhotoveny na stavebnicových přípravcích firmy Vogt

(NSR);  $L_1$ ,  $L_2$ ,  $L_3$  a  $L_4$  spolu s dolaďovacími kondenzátory (1 nF) lze však bez problémů nahradit běžnými mf miniaturními transformátory z tranzistorových přijímačů AM. Jako mf filtr se používá v zapojení keramický filtr Murata (nebo Stettner) typu SF455D.

Přijímač je velmi citlivý – pro stálé výstupní napětí na vývodu k dekodéru potřebuje na vstupu napětí asi 3  $\mu$ V.

Odběr proudu při napájecím napětí 4,5 V: 7 mA.

při napájecím napětí 9 V: 10,5 mA,

při napájecím napětí 15 V: 12 mA.

Citlivost (60  $\Omega$ ,  $f$  = MHz, 30 % modulace)

při odstupu signál/šum = 6 dB: 1  $\mu$ V,

při odstupu signál/šum = 26 dB: 7  $\mu$ V,

při odstupu signál/šum = 57 dB: 1 mV.

Vf díl

Rozsah pracovních kmitočtů: 0 až 50 MHz.

Rozsah řízení: 38 dB.

Vstupní napětí pro začátek omezození: 2,6 V (mezivrcholové).

Potlačení mf signálu: 20 dB.

Mf díl

Vstupní signál: 0 až 2 MHz.

Rozsah řízení při 460 kHz: 62 dB.

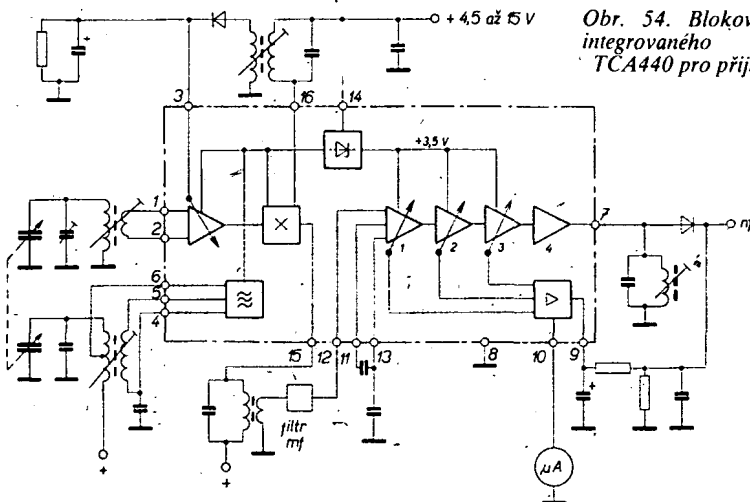
Obvod začíná omezození při ( $f$  = 460 kHz, hloubka modulace

80 % a modulační kmitočet 1 kHz): 200 mV.

## Konstrukční část

### Předzesilovač pro magnetodynamickou vložku do přenosky

Záznam zvuku na gramofonové desce je přes velkou oblibu a jakost magnetického záznamu a reprodukce trvale nejrozšířenějším druhem záznamu. Jeho základní předností je levná a bez potíží velkosériová výroba gramofonových desek a také skutečnost, že ani pokud jde o jakost reprodukováného signálu, nejsou parametry mechanického (gramofonového) záznamu slyšitelně horší, než parametry záznamu magnetického (jsou-li dodržovány určité předpoklady). Jen pro zajímavost si lze zde uvést několik údajů – nejvyšší snímání kmitočet na desce s úzkou drážkou (dnešní typ dlouhohrajících desek) je teoreticky při průměru desky 30 cm a pro rychlost otáčení 33 ot/min (při snímání



Obr. 54. Blokové zapojení integrovaného obvodu TCA440 pro přijímače AM

hrotu o poloměru kulovitého vrchlíku hrotu 25  $\mu\text{m}$ ) asi 25 kHz, v praxi lze dosáhnout kmitočtu kolem 20 kHz. Nejvyšší kmitočet ovšem velmi rychle klesá s opotřebením hrotu (obroušením hrotu kulovitého vrchlíku hrotu) i s opotřebením desky. Tak asi po 30 hodinách provozu hrotu v drážce nové desky je kulovitý vrchlík obroušen u běžných vložek tak, že na obvodu ještě nepřehrávané desky je možno snímat kmitočet maximálně asi 8 kHz (podrobnější údaje viz Radiotechnická příručka II, Práce 1972, kapitola Elektrokustické měniče).

Pro další výklad je třeba ještě upozornit na pojem výstupního napětí vložky do přenosky, který je často špatně chápán. Citlivost vložky do přenosky je číslo, které udává napětí odevzdávané vložkou při záznamové rychlosti 1 cm/s při 1 kHz. Při reprodukci běžné hudební skladby jsou záznamové rychlosti podstatně větší, tak např. maximální záznamová rychlost pro stereofonní drážku je 8 cm/s. Vložka může tedy odevzdávat při reprodukci stereofonní desky napětí asi 8× větší než je její citlivost; toto maximální napětí musí nezkráceně zpracovat vstupy zesilovačů (předzesilovačů), proto vstupní obvody nelze navrhovat pouze vzhledem k citlivosti vložky.

Sledujeme-li naproti tomu potřebné vstupní citlivosti zesilovačů, nemusí být navrženy podle uváděné citlivosti vložek do přenosky, protože střední hodnota záznamové rychlosti u průměrné hudební skladby je 3,5 až 5 cm/s (pro stereofonní desky). Pro vybuzení zesilovače na jmenovitý výkon tedy stačí, je-li jeho vstupní citlivost asi čtyřnásobkem udávané citlivosti vložky do přenosky pro stereofonní záznam.

K lepší orientaci ještě jedno upozornění: má-li vložka do přenosky tři vývody, odlišně barevně značené, bývá obvykle červeně označen vývod pravého kanálu, bíle vývod levého kanálu a společný vývod bývá černý (vložka však může mít až 4 i 5 vývodů, ty pak bývají označeny různými barvami).

Aby bylo možno maximálním způsobem využít možnosti mechanického záznamu, jsou nezbytné nutně určité korekce kmitočtové charakteristiky již při výrobě matrice. Kdybychom do mechanického záznamového rydla, pracujícího vesměs na elektromagne-

tickém principu, přiváděli pro všechny kmitočty nahrávaného signálu stejné vstupní napětí, pak by se podle indukčního zákona zvětšoval proud směrem k nízkým kmitočtům a naopak zmenšoval směrem k vysokým kmitočtům. Protože výchylka rydicího hrotu je přibližně úměrná protékajícímu proudu, byla by do matrice zapisována při vysokých kmitočtech zaznamenávaného signálu drážka s velmi malou amplitudou (velmi úzká) a naopak při nízkých kmitočtech nahrávaného signálu drážka s amplitudou nadměrně (neúměrně) velkou.

To by jednak mělo za následek, že by signály vysokých kmitočtů byly nahrávány s úrovní blízkou úrovni šumu a naopak signály nízkých kmitočtů by byly nahrávány s takovou amplitudou, že by je nebylo možno běžnými snímacími systémy zpracovat, a jednak by bylo nutno podstatně zvětšit rozteč drážek, čímž by se neúměrně zmenšovala kapacita desek.

Proto byl mezinárodně stanoven průběh záznamové charakteristiky, aby byla gramofonová deska z hlediska výše uvedených požadavků využita optimálně. Při záznamu signálu sinusového průběhu sleduje hrot rydla v drážce dráhu ve směru kolmém k drážce. Tato dráha, vyjádřená v cm/s, se nazývá stranovou rychlostí. Její efektivní hodnota je vyjádřena vztahem

$$v = 4,44 f A,$$

kde  $v$  je efektivní stranová rychlost,  
 $f$  kmitočet,  
 $A$  amplituda.

Na obr. 1 je průběh závislosti stranové rychlosti na kmitočtu podle RIAA. Vidíme, že rychlost záznamu (stranová rychlost) se téměř přímo úměrně zvětšuje s kmitočtem. Ve skutečnosti není tento průběh zcela přímo úměrný a je vyjádřen třemi časovými konstantami  $\tau_1 = 3180 \mu\text{s}$ ,  $\tau_2 = 318 \mu\text{s}$ , a  $\tau_3 = 75 \mu\text{s}$ . Díky této výrazné kmitočtové úpravě se dosáhlo velmi dobrého odstupu rušivých napětí i u signálů nejvyšších zaznamenávaných kmitočtů a současně i přijatelné maximální výchylky hrotu i při záznamu signálů nejnižších kmitočtů. To vše umožňuje zajistit dostatečně dlouhou dobu hrani gramofonové desky, protože lze drážky uklá-

dat relativně blízko vedle sebe. Tento způsob záznamu se nazývá, nikoli ovšem zcela přesně, záznamem s konstantní amplitudou.

Při reprodukci gramofonových desek je třeba zajistit, aby na výstupu snímacího systému byla velikost napětí nezávislá na kmitočtu, tj. aby výstupní napětí bylo v celém přenášeném kmitočtovém rozsahu pokud možno co nejstálější (konstantní) pro signály všech kmitočtů.

Použije-li se jako snímač krystalový nebo keramický systém, pak jsou uvedené požadavky splnitelné relativně velmi jednoduše, neboť tyto systémy mají tu vlastnost, že jejich výstupní napětí je úměrné výchylce hrotu (tedy amplitudě záznamu). Protože záznam na deskách je pořizován s přibližně konstantní amplitudou, dostaneme na výstupu těchto snímačů požadovaný lineární průběh výstupního napětí bez velkých problémů.

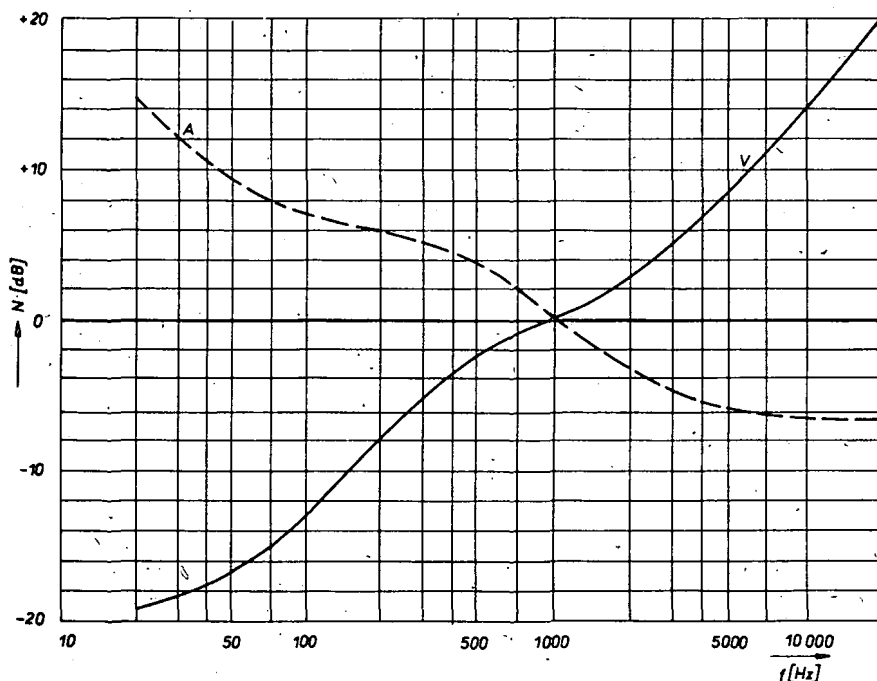
V této souvislosti je nutno připomenout, že krystalové a keramické snímače, tedy snímače, jejichž výstupní napětí je úměrné „výchylce“ drážky, by měly být rovněž opatřeny korekčními obvody, protože ani charakteristika průběhu výchylky drážky v závislosti na kmitočtu není lineární. Všechny moderní snímací systémy tohoto typu jsou však již výrobou upravovány vhodnou volbou mechanických transformací v systému tak, že jejich výstupní napětí je přibližně lineární v závislosti na kmitočtu při snímání záznamu na gramofonové desce, nahanané podle záznamové charakteristiky RIAA.

Na druhé straně ovšem nepatří krystalové a keramické snímače k těm nejvýhodnějším typům snímačů, a to především proto, že jejich snímací prvek je velmi tuhý. I když je jeho spojení se snímacím hrotem mechanicky poddajné, je boční tuhost těchto systémů značná. Proto musí být pro uspokojivé snímání záznamu z drážek desky značná i svislá síla na hrot (nesprávně tlak na hrot) – a to vede nutně k většímu opotřebení přehrávaných gramofonových desek. Proto jsou uvedené systémy používány – především pro snadnou výrobu a tím i pro nízkou cenu – u zařízení, u nichž nejsou vyžadovány špičkové parametry.

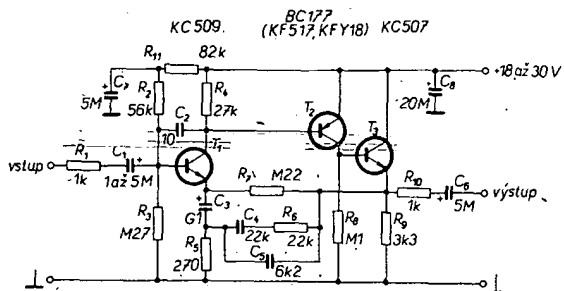
V posledních letech se podstatným způsobem rozšířily velmi jakostní snímací systémy, pracující na magnetodynamickém principu. Tyto systémy mají podstatně větší poddajnost hrotu jak ve vodorovném, tak i ve svislém směru a umožňují proto používat je s mimořádně malými svislými silami. Určitou nezanedbatelnou nevýhodou však je skutečnost, že jejich výstupní napětí je úměrné nikoli amplitudě, ale rychlosti snímacího hrotu. Podíváme-li se na obr. 1 vidíme, že se tedy bude výstupní napětí magnetodynamických snímacích systémů úměrně zvětšovat se zvyšujícím se kmitočtem snímaného signálu. Tyto snímací systémy nelze proto připojit na vstup běžného nf zesilovače – jejich výstupní signál je třeba nejprve upravit korekčním předzesilovačem. Jeho úkolem je jednak zesílit relativně malé výstupní napětí magnetodynamického snímače (přibližně 50× menší než u vložek krystalových snímačů) a jednak upravit výstupní napětí tak, aby byla vykompenzována jeho kmitočtová závislost.

Korekční předzesilovač pro magnetodynamické snímací systémy musí mít proto průběh kmitočtové charakteristiky zrcadlový ke křivce  $v$  na obr. 1 (korekce RIAA).

Jak z tohoto obrázku vyplývá, je získání předzesilovače v oblasti nízkých kmitočtů velmi velký – proto se u předzesilovačů kladou zvětšené nároky na dokonalou filtraci napájecího napětí a případně i na ochranu předzesilovače proti indukovaným napětím nízkých kmitočtů (např. z pohonu gramofonu). Z téhož důvodu je velmi výhodné řešit předzesilovač se speciálními integrovanými obvody – operačními zesilovači, neboť ty zesilují společně signály na svých vstupech



Obr. 1. Záznamová charakteristika, používaná pro záznam signálů v současné době (RIA);  $v$  je průběh záznamové rychlosti a  $A$  jsou odpovídající výchylky (amplituda)



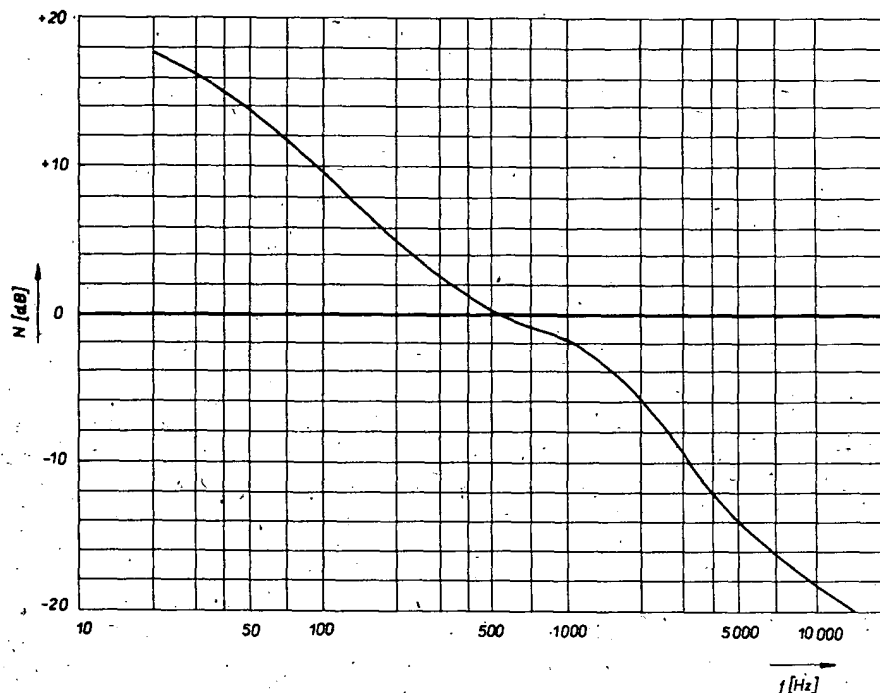
Obr. 2. Předzesilovač pro magnetodynamickou přenosku („magnetickou“) vložku gramofonové přenosky

Kmitočtová charakteristika gramofonového záznamu 3180  $\mu$ s, 318  $\mu$ s a 75  $\mu$ s (v je stranová rychlost, A amplituda)

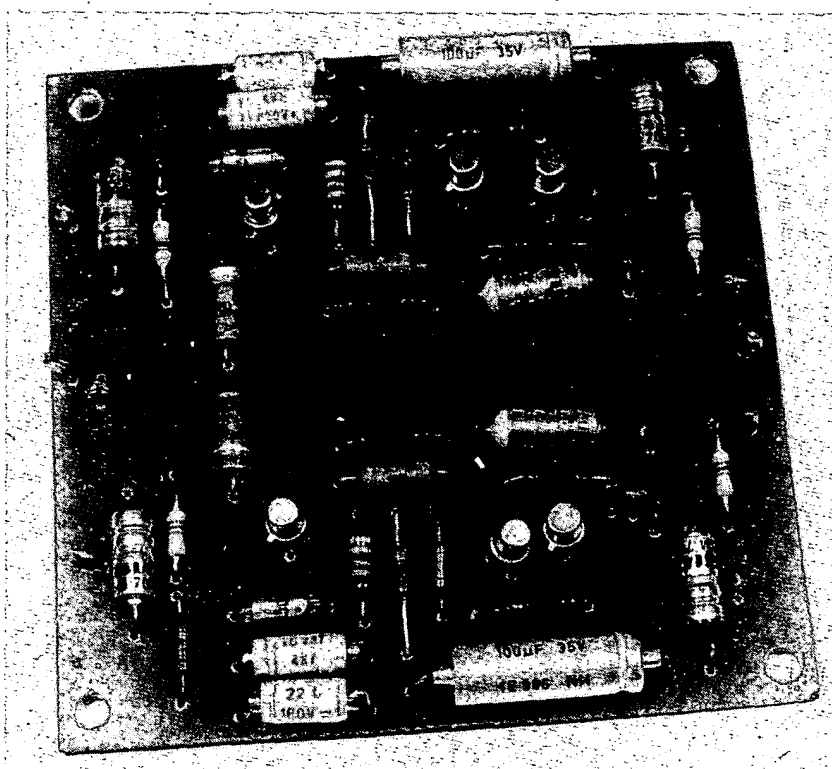
jen velmi málo a rozdílově se získá kolem 30 až 50 dB (i více) podle zapojení; viz kapitola zajímavé integrované obvody, operační monolitické obvody  $\mu$ A739 a  $\mu$ A749.

Pro úplnost a jako doplněk k obr. 1 jsou v následující tabulce údaje ke konstrukci záznamové charakteristiky RIAA (podle ČSN 36 8411, 8412 a 8413).

Kmitočet $f$	Stranová rychlost $v$ [dB]	Amplituda $A$ [dB]
20 Hz	-19,3	+14,7
30	-18,6	+11,7
40	-17,8	+10,2
50	-16,9	+9,1
60	-16,1	+8,3
70	-15,3	+7,8
80	-14,5	+7,4
100	-13,1	+6,9
120	-11,8	+6,6
150	-10,3	+6,2
200	-8,2	+5,8
250	-6,7	+5,4
300	-5,5	+5
400	-3,8	+4,2
500	-2,6	+3,4
600	-1,8	+2,6
700	-1,2	+1,9
800	-0,8	+1,2
1 kHz	0	0
1,5	+1,4	-2,1
2	+2,6	-3,4
3	+4,7	-4,8
4	+6,6	-5,4
5	+8,2	-5,8
6	+9,6	-6
7	+10,8	-6,1
8	+11,9	-6,2
10	+13,7	-6,3
12	+15,3	-6,3
14	+16,6	-6,4
15	+17,2	-6,4
16	+17,7	-6,4
18	+18,7	-6,4
20	+19,6	-6,4



Obr. 3. Kmitočtová charakteristika předzesilovače ( $U_{vst.} = 2,5$  mV,  $U_B = 30$  V)



Osazená deska s plošnými spoji předzesilovače podle obr. 2

Dále si ukážeme dvě praktické konstrukce předzesilovačů pro magnetodynamické snímání systémy, jeden s běžně dostupnými tranzistory a druhý s integrovaným monolitickým operačním zesilovačem, který se na našem trhu nevyskytuje, občas je však nabízen v inzerci AR řady A. Jde o dvojité operační zesilovač s malým šumem typu  $\mu$ A749. Tento předzesilovač je vhodný pro všechny zesilovače, napájené symetrickým napětím, neboť vyžaduje symetrické napětí kolem  $\pm 15$  V.

Předzesilovač s diskrétními prvky je na obr. 2. Jako napájecí napětí je vhodné použít co největší napětí až do 30 V, neboť je třeba dosáhnout co největšího zesílení. Zesilovač pracuje ovšem uspokojivě již od napájecího napětí asi 18 V – čím menší bude napájecí napětí, tím větší činitel zesílení by měl mít především vstupní tranzistor.

Aby byl zesilovač stabilní i při velkém zesílení, používá se v něm proudová zpětná vazba, která stabilizuje pracovní režim zesilovače tak, aby se kompenzovaly výrobní rozptyly parametrů použitých tranzistorů.

Z emitoru třetího stupně předzesilovače, který slouží jako měnič impedance, je vedena kmitočtově závislá zpětná vazba přes členy RC na emitor prvního stupně. Zpětná vazba je volena tak, aby zesílení na nízkých kmitočtech bylo větší než na vysokých kmitočtech. Aby byl dodržen průběh reprodukční charakteristiky zrcadlově k záznamové charakteristice, je třeba, aby součástky  $R_7$ ,  $R_8$  a  $C_3$ ,  $C_5$  měly tolerance lepší než 5 %. Kapacita kondenzátoru  $C_3$ , 6,2 nF, se získá paralelním spojením kondenzátorů s kapacitou 4,7 nF a 1,5 nF.

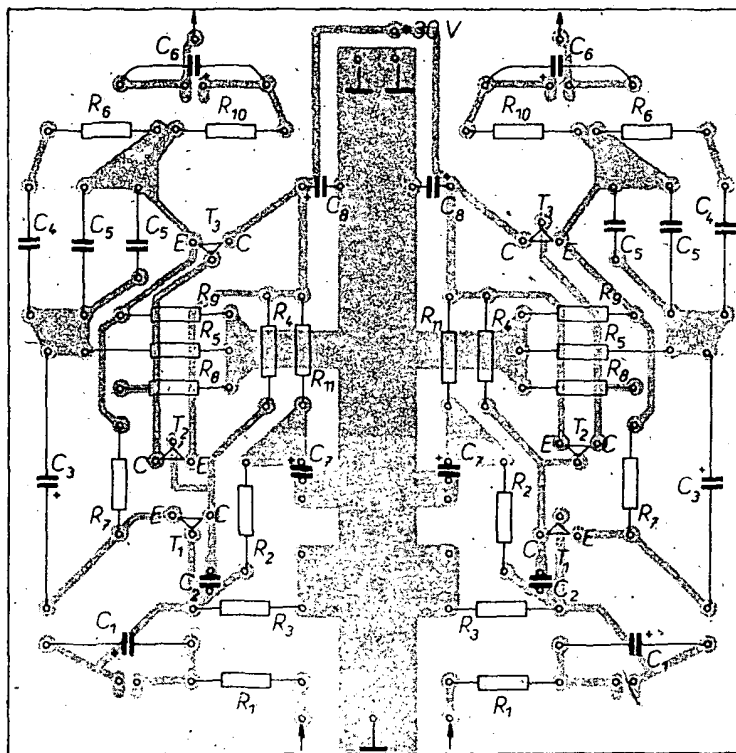
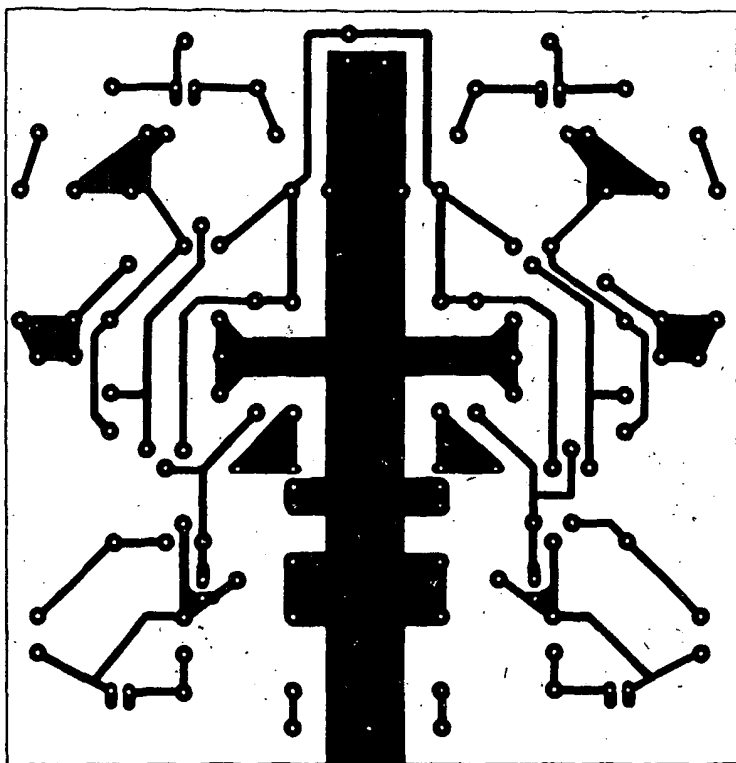
Elektrolytický kondenzátor má při přenášeném signálu o kmitočtu kolem 30 Hz a nižších kmitočtech impedanci rovnou odporu  $R_s$ , proto bude zpětnovazební napětí při těchto kmitočtech větší a zesílení předzesilovače se bude zmenšovat, takže budou potlačeny i hluky vznikající činností mechanických dílů gramofonového šasi.

Při výběru součástek je třeba zdůraznit, že do obvodu zpětné vazby nejsou vhodné keramické kondenzátory, neboť jejich kapa-

#### Napětí na elektrodách tranzistorů

Tranzistor	$T_1$	$T_2$	$T_3$
C	23 V	10.7 V	24 V
B	14.9 V	23.5 V	10.6 V
E	15.2 V	24 V	10.2 V

Napětí jsou měřena přístrojem DU 20, rozsah 30 V.  
 $U_b = 24$  V, vstup zkratován na zem



Obr. 4. Deska s plošnými spoji předzesilovače podle obr. 2, deska osazená součástkami (M 214)

cita velmi závisí na teplotě a jejichž výrobní tolerance jsou obvykle velmi značné, takže by je k dodržení tolerance 5 % bylo nutno vybírat z velkého množství kusů. Ke kontrole zapojení jsou v tabulce napětí na elektrodách jednotlivých tranzistorů.

#### Technické údaje předzesilovače

Napájecí napětí: 30 V (18 až 30 V).

Odběr proudu při napájecím napětí 30 V: asi 10 mA.

Napětové zesílení na kmitočtu 1 kHz: asi 50 (tj. asi 34 dB).

Maximální vstupní napětí ( $f = 1$  kHz): 110 mV.

Maximální nezkreslené výstupní napětí ( $f = 20$  Hz až 50 kHz): 6,2 V.

Kmitočtový průběh: viz obr. 3 (tolerance  $R_7$ ,  $R_8$ ,  $C_4$  a  $C_5$  5 %)

Předzesilovač byl zkonstruován na desce s plošnými spoji podle obr. 4. Jako  $T_1$  lze nejlépe použít tranzistor KC509 s co největším zesílením a s nejmenším šumem. Jako  $T_2$  je výhodný jakýkoli křemíkový tranzistor p-n-p s velkým zesílením, např. BC177 (BC178, BC179), který má na skladě v současné době vzorová prodejna TESLA v Pardubicích. Lze však použít i typy KF517 nebo KFY18, které jsou běžné k dostání. Opět by bylo výhodné, kdyby měl tranzistor pokud možno co největší zesílení. Jako  $T_3$  je vhodné, především při napájecím napětí kolem 30 V, použít typ KC507 nebo jeho ekvivalent v pouzdře z plastické hmoty (KC147). I jako  $T_1$  lze použít tranzistor v pouzdře z plastické hmoty, ekvivalent KC509, tj. KC149. Kondenzátor  $C_2$  omezuje přenos kmitočtů nad hranici slyšitelnosti, v některých případech (při menším činiteli zesílení  $T_1$ ) ho lze vypustit. Jako  $C_1$  lze použít elektrolytický kondenzátor s kapacitou od 1  $\mu$ F, popř. i papírový kondenzátor např. z řady TC 171 nebo TC 180, jako  $C_3$  lze použít elektrolytický kondenzátor s libovolně větší kapacitou.

#### Seznam součástek (pro dva kanály)

Odporů (TR 151, TR 152, TR 161, TR 181)

$R_{10}$	1 k $\Omega$ , 4 ks
$R_2$	56 k $\Omega$ , 2 ks
$R_3$	0.27 M $\Omega$ , 2 ks
$R_4$	27 k $\Omega$ , 2 ks
$R_5$	270 $\Omega$ , 2 ks
$R_6$	22 k $\Omega$ , max. 5 %, 2 ks
$R_7$	0.22 M $\Omega$ , max. 5 %, 2 ks
$R_8$	0.1 M $\Omega$ , 2 ks
$R_9$	3.3 k $\Omega$ , 2 ks
$R_{11}$	82 k $\Omega$ , 2 ks

Kondenzátory

$C_1$	1 až 5 $\mu$ F, TE 158 (TE 984, TE 004, TC 180, TC 171) 2 ks
$C_2$	10 pF, keramický, 2 ks
$C_3$	100 $\mu$ F, TE 986
$C_4$	(TE 981, TE 984) 2 ks
$C_5$	22 nF, TC 235, max. tolerance 5 %, 2 ks
$C_6$	4.7 nF + 1.5 nF, TC 237 polyesterové (popř. TC 276, TC 237), 5 %, 2 ks
$C_7$	5 $\mu$ F, TE 158 (TE 984, TE 004), 2 ks
$C_8$	5 až 20 $\mu$ F, TE 004, 2 ks
$C_9$	20 $\mu$ F, TE 004, 2 ks

Tranzistory

$T_1$	KC509 (KC149)
$T_2$	BC177 až 9 (KF517, KFY18)
$T_3$	KC507 (KC147)

deska s plošnými spoji M 214

Na desce s plošnými spoji jsou pro  $C_1$  a  $C_3$  díry tak, aby bylo možno použít všechny typy, uvedené v rozpisce součástek.

Na obr. 5 je zapojení předzesilovače pro magnetodynamickou vložku do přenosky se zahraničním integrovaným operačním zesilovačem  $\mu$ A739. Protože popis tohoto dvojitého operačního zesilovače v jednom pouzdře

je v kapitole Zajímavé integrované obvody, je zde uvedena jen deska s plošnými spoji (obr. 6) a seznam použitých součástek.

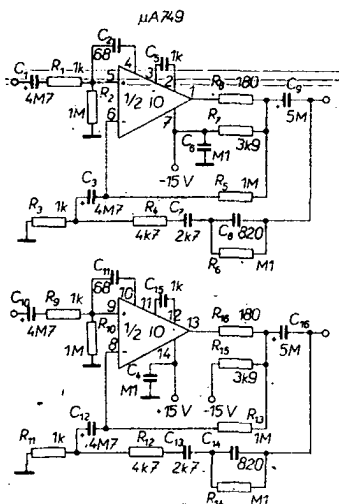
### Seznam součástek předzesilovače podle obr. 5

#### Odpory (všechny TR 151)

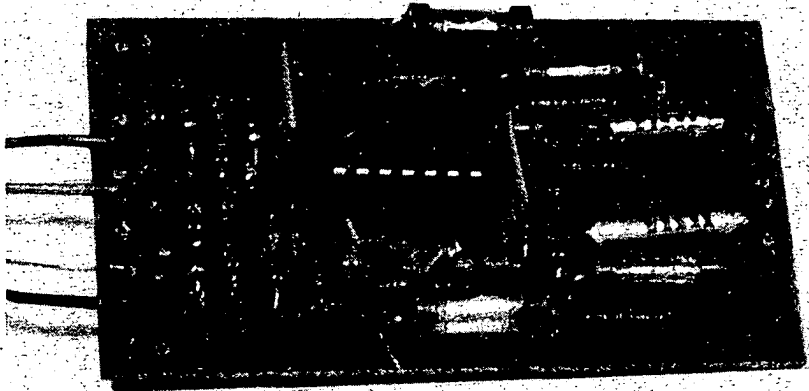
R <sub>1</sub>	1 kΩ
R <sub>2</sub>	1 MΩ
R <sub>3</sub>	1 kΩ
R <sub>4</sub>	4,7 kΩ, max. 5 %
R <sub>5</sub>	1 MΩ, max. 5 %
R <sub>6</sub>	100 kΩ, max. 5 %
R <sub>7</sub>	3,9 kΩ
R <sub>8</sub>	180 Ω
R <sub>9</sub>	1 kΩ
R <sub>10</sub>	1 MΩ
R <sub>11</sub>	1 kΩ
R <sub>12</sub>	4,7 kΩ, max. 5 %
R <sub>13</sub>	1 MΩ, max. 5 %
R <sub>14</sub>	100 kΩ, max. 5 %
R <sub>15</sub>	3,9 kΩ
R <sub>16</sub>	180 Ω

#### Kondenzátory

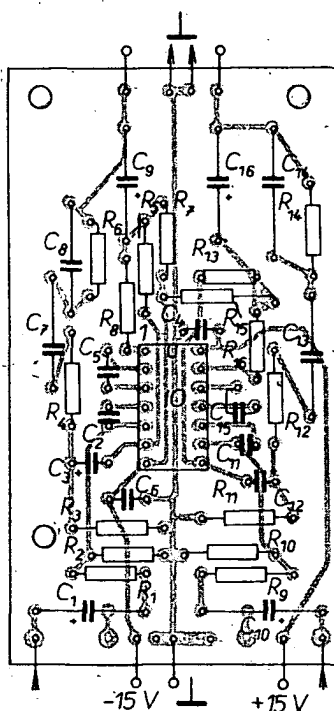
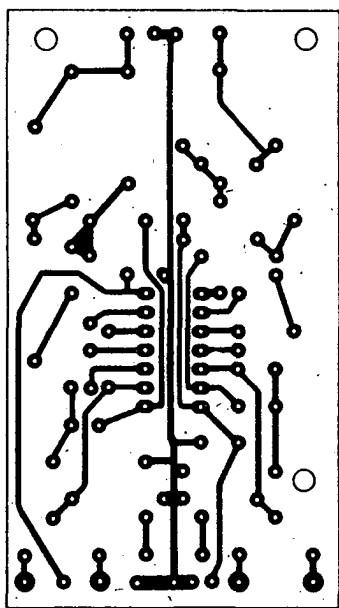
C <sub>1</sub> , C <sub>3</sub>	4,7 μF, tantalový (kapkový na 25 V, TE 124) (C <sub>1</sub> a C <sub>10</sub> popř. 5 μF/70 V, TE 158)
C <sub>2</sub> , C <sub>11</sub>	68 pF, keramický (řbovolný polštářek)
C <sub>4</sub> , C <sub>6</sub>	0,1 μF, TK 781 (keramický)
C <sub>5</sub> , C <sub>15</sub>	1000 pF, keramický miniaturní
C <sub>7</sub> , C <sub>13</sub>	2700 pF, viz pozn., max. 5 %
C <sub>8</sub> , C <sub>14</sub>	820 pF, viz pozn., max. 5 %
C <sub>9</sub> , C <sub>16</sub>	5 μF, TE 158 (nebo tantalový kapkový), popř. TE 004, TE 984



Obr. 5. Předzesilovač pro magnetodynamickou vložku se zahraničním integrovaným obvodem – dvojitým operačním zesilovačem s malým šumem typu μA749



Osazená deska s plošnými spoji podle obr. 6



Obr. 6. Deska s plošnými spoji předzesilovače z obr. 5 (M 215)

Integrovaný obvod  
IO μA 749  
deska s plošnými spoji M 215

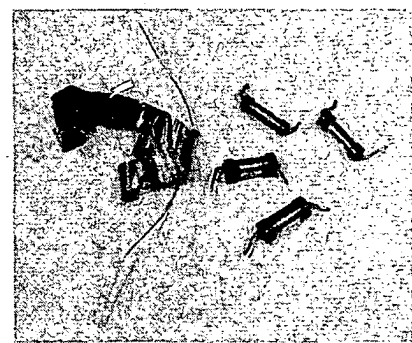
Pozn. Kondenzátory C<sub>7</sub> a C<sub>13</sub>, popř. C<sub>8</sub> a C<sub>14</sub> s uvedenými kapacitami se v u nás vyráběných typech nevyrábějí. Proto je třeba vybrat z dostupných typů kondenzátory s nejbližší větší kapacitami (např. TC 237, 3300 pF a popř. 1000 pF) a odvíjením kovových fólií za současného měření na můstku upravit kapacitu na požadovanou velikost. Takto lze nastavit kapacitu s přesností na 1 % i lepší. Po skončení práce je vhodné kondenzátor izolovat proti vlivům vnějšího prostředí buď ponořením do Epoxý 1200, nebo alespoň přelepením páskem Isolepy. Stejně lze upravovat i kondenzátory z řady TC 235 až 7, jejich úprava je však obtížnější, neboť fólie kondenzátoru je spolu s polystyrovou izolační fólií zalita v čelech kondenzátoru zalévací hmotou, z níž vyčnívají vývody kondenzátoru.

Při práci postupujeme takto: ostrou žiletkou nařízneme, ochrannou fólii z plastické hmoty, fólii sejmeme a vyjmeme typový štítek s označením kapacity kondenzátoru. Po odvinutí několika dalších vrstev fólie z plastické hmoty se začnou odvíjet i kovové fólie, tvořící kondenzátor. Fólie opatrně odvíjíme (jsou dvě – dva „polepy“ kondenzátoru, mezi nimi je fólie z plastické hmoty), část po části odstříhujeme a měříme kapacitu. Po odstříhování fólií kondenzátoru musíme vždy jednu z fólií zkracovat o něco více, aby mezi ustrženými konci fólií nenastal zkrat.

Po dosažení správné kapacity kondenzátor obalíme Isolepou a znovu změříme jeho kapacitu. Pak ho již můžeme zapájet do desky s plošnými spoji.

Namáčíme-li po úpravě kondenzátory např. do Epoxý 1200 nebo do jiného ochranného prostředku (laku), musíme počítat s tím, že se při této operaci kapacita kondenzátoru opět poněkud zvětší. Podle mé praxe však zvětšení kapacity nepřesáhne 1 %.

Vzhled „rozebraného“ kondenzátoru je pro názornost zřejmý z fotografie.



Pro C<sub>1</sub> a C<sub>10</sub> jsou na desce s plošnými spoji (obr. 6) dvojce díry tak, aby nebylo nutno dělat úpravy na desce při použití kondenzátorů s různou roztečí vývodů.

### Měřiče rychlosti otáčení pro motorová vozidla (otáčkoměry)

Otáčkoměry jsou přístroje, které na rozdíl od jiných doplňkových přístrojů do auta mají své nesporné výhody a to jak pro řidiče – začátečníky, tak pro zkušené řidiče. Především lze podle jejich údaje jezdit ekonomicky, tj. při vhodném provozním režimu motoru tak, aby motor měl co největší výkon při co

nejmenší spotřebě pohonných hmot. To oceňují zkušební řidiči. (Pro vůz Škoda 110 L odpovídá maximální točivý moment při nejmenší spotřebě rychlosti otáčení 3500 ot/min). Pro začátečníky je pak otáčkoměr výhodný tím, že lze podle něj dobře odhadnout, kdy je třeba přejít z jednoho rychlostního stupně na jiný, čímž se šetří motor a tím opět i spotřeba pohonných hmot.

V dalším textu budou popsány celkem tři různé konstrukce otáčkoměrů pro motorová vozidla – dva se zahraničním integrovaným obvodem SAK215 a jeden s diskretními součástkami, křemíkovými tranzistory, běžně dostupnými v maloobchodní síti.

Dosud byl při konstrukci otáčkoměru největším problémem nedostatek vhodných měřidel s výchylkou ručky 270°. V době, kdy jsem připravoval konstrukce pro toto číslo AR řady B, bylo však v prodeji Radioamatér v Žitné ulici v Praze 1 běžně k dostání měřidlo o citlivosti 1 mA s výchylkou ručky 270°, navíc ocechované již přímo v otáčkách za minutu, a to od 0 do 6000 ot/min, což vyhoví pro všechny vozy na našem trhu. Toto měřidlo bylo použito ve dvou případech, ve třetím případě byl otáčkoměr zkonstruován se starším inkurantním měřidlem, které mělo citlivost pro plnou výchylku ručky asi 0,5 mA (0,95 V na plnou výchylku).

Všechny otáčkoměry pracovaly na první zapojení, pouze u druhé varianty (otáčkoměr se dvěma rozsahy a s indikací zmenšení rychlosti otáčení pod určitou mez) je třeba nastavit příslušný odporový trimr tak, aby indikační dioda (LED) svítila v požadovaném rozsahu rychlosti otáčení.

Ještě než si popíšeme konstrukci otáčkoměrů, uvedeme si stručně několik údajů, potřebných k cejchování otáčkoměrů ať již s integrovanými obvody, nebo s diskretními součástkami. Otáčkoměr po dohodování je nejvhodnější zkoušet a cejchovat na pracovním stole, a to běžným generátorem nf signálu. Kmitočet zkušebního signálu pro zvolenou rychlost otáčení lze vypočítat ze vztahu

$$f = \frac{kn}{120} \quad (\text{pro čtyřdobý motor}),$$

nebo

$$f = \frac{kn}{60} \quad (\text{pro dvoudobý motor}),$$

kde  $f$  je kmitočet zkušebního signálu v Hz,

$n$  rychlost otáčení v ot/min,

$k$  počet válců.

Aby byl výpočet kmitočtu zkušebního signálu naprosto jasný, uvedeme si jako příklad výpočet kmitočtu zkušebního signálu pro rychlost otáčení např. 6000 ot/min pro čtyřdobý čtyřválec:

$$f = \frac{4 \cdot 6000}{120} = 200 \text{ Hz}.$$

Přivedeme-li tedy na vstup otáčkoměru signál o kmitočtu 200 Hz, musí ručka měřidla ukazovat rychlost otáčení 6000 ot/min. Z uvedeného vztahu lze snadno vypočítat kmitočty, odpovídající různým rychlostem otáčení, tedy např.

$$\begin{aligned} \text{pro } 1000 \text{ ot/min je } f &= \\ &= \frac{4 \cdot 1000}{120} = 33,3 \text{ Hz}, \end{aligned}$$

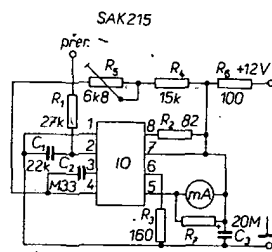
$$\begin{aligned} \text{pro } 1500 \text{ ot/min je } f &= 50 \text{ Hz}, \\ 2000 &66,7 \text{ Hz}, \\ 3000 &100 \text{ Hz}, \\ 4000 &133 \text{ Hz}, \\ 5000 &167 \text{ Hz atd.} \end{aligned}$$

Není-li pro cejchování k dispozici nf generátor, lze použít alespoň informativně síťový transformátor, který má sekundární vinutí pro napětí asi 8 až 12 V – odpovídající výchylka ručky by měla být 1500 ot/min.

### Otáčkoměr s integrovaným obvodem SAK215

Nejjednodušší provedení otáčkoměru je na obr. 7. V zapojení je použit integrovaný obvod zahraniční výroby, jehož parametry jsou uvedeny v kapitole Zajímavé integrované obvody v tomto čísle AR-B (str. 103). Kromě jiného zapojení dokumentuje i to, jak jednoduché jsou nejrůznější elektronické obvody, použijí-li se v nich integrované obvody – a nejde ovšem jen o jednoduchost, zlepšuje se především spolehlivost, neboť se i řádově zmenšuje počet použitých součástek. Navíc mívají zapojení s integrovanými obvody i lepší parametry.

Integrovaný obvod v obr. 7 vlastně pouze upravuje vstupní impulsy, které přicházejí z přerušovače na vývod 2IO přes dělič  $R_1$ ,  $C_1$ , na tvar, vhodný k indikaci měřidlem. Napětí palubní sítě, přiváděné na otáčkoměr, se zmenšuje odporem  $R_6$  a filtruje kondenzátorem  $C_3$ . Kondenzátor též částečně zamezuje kmitání ručky měřidla při malých rychlostech otáčení motoru.



Obr. 7. Zapojení otáčkoměru integrovaným obvodem SAK215

Odpor  $R_7$  slouží jako bočník k použitému měřidlu, neboť prodávané měřidlo má citlivost 1 mA a pro tento otáčkoměr se vyžaduje měřidlo s citlivostí 10 mA. Nejvhodnější je použít jako  $R_7$  odporový trimr, který se po nastavení a ocechování přístroje změní a nahradí pevným odporem (nebo kombinací pevných odporů). Ostatní odpory omezují proudy jednotlivými vývody IO a je třeba dodržet (pro bezporuchový provoz). Stejně tak je třeba dodržet kapacitu kondenzátoru  $C_2$  podle schématu.

Otáčkoměr byl postaven na desce s plošnými spoji podle obr. 8. Deska je upravena tak, aby ji bylo možno přišroubovat přímo pod upevňovací šrouby použitého měřidla.

### Uvedení do chodu a ocechování

Při uvádění do chodu nastavíme trimr  $R_7$  na polovinu odporu (běžec asi v polovině odporové dráhy), pak připojíme napájecí napětí. Ručka měřidla by měla mít nulovou výchylku. Odběr ze zdroje by měl být asi do 10 mA.

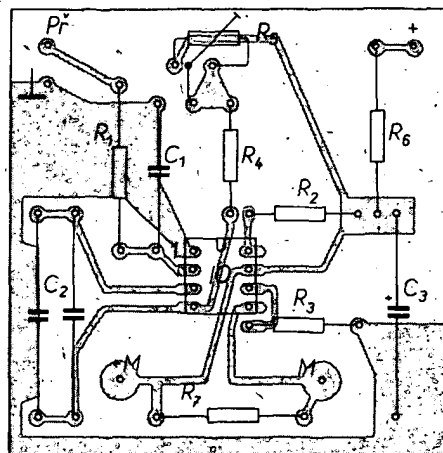
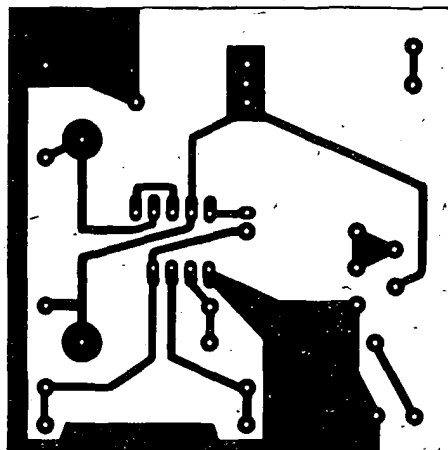
Je-li vše v pořádku, připojíme generátor zkušebního nf signálu. Na generátoru nastavíme kmitočet 200 Hz, výstupní napětí asi 3 až 10 V. Trimrem  $R_5$  zvětšíme výchylku ručky na maximum, neboť tento kmitočet odpovídá rychlosti otáčení, kterou jsme zvolili za horní mezní údaj – 6000 ot/min. Není-li možno trimrem nastavit ručku na konec stupnice, změníme odpor v sérii s trimrem ( $R_4$ ), případně změníme odpor  $R_7$ .

Dále ověříme souhlas stupnice při dalších kmitočtech. Budou-li rozdíly mezi cejchováním stupnice a odpovídajícími rychlostmi otáčení příliš velké, stupnici bude třeba překreslit podle skutečných údajů ot/min (podle mých zkušeností to však není při použití měřidla Metra D 70cn třeba).

Po skončení práce umístíme měřidlo s desíčkou s plošnými spoji někde na palubní desku do zorného pole řidiče, přivedeme signál od přerušovače, připojíme napájecí napětí a nezapomeneme zem přístroje spolehlivě propojit se šasi – kóstrou motorového vozidla.

### Seznam součástek

Odpor	
$R_1$	27 kΩ, TR 152
$R_2$	82 Ω, TR 152
$R_3$	160 Ω, TR 152 (popř. vybrat ze 150 Ω/A)
$R_4$	15 kΩ, TR 152 nebo TR 151
$R_5$	odporový trimr 6,8 kΩ, TP 011 (TP 110)
$R_6$	100 Ω, TR 153



Obr. 8. Deska s plošnými spoji otáčkoměru z obr. 8 a deska osazená součástkami (M 216)



#### Kondenzátory

$C_1$	22 nF, např. TC 279 nebo pod.
$C_2$	0,33 $\mu$ F, TC 180 (popř. složit ze dvou 0,15 $\mu$ F nebo z 0,1 $\mu$ F + 0,22 $\mu$ F)
$C_3$	20 $\mu$ F, TE 154 (TE 984, TE 986, popř. TC 974)

#### Integrovaný obvod

SAK215 (ITT)

#### Měřidlo

D 70 cn, citlivost 1 mA  
deska s plošnými spoji M 216

Hotový vzorek otáčkoměru je na fotografii na obálce.

### Otáčkoměr se dvěma rozsahy a s indikací malých rychlostí otáčení

Variantou zapojení otáčkoměru s integrovaným obvodem SAK215 je otáčkoměr na obr. 9. Otáčkoměr byl postaven pro vůz Wartburg 353. Pro seřizování volnoběhu u tohoto vozu je výhodné, má-li otáčkoměr dva rozsahy, takže lze údaj ve zvoleném rozsahu číst velmi přesně, neboť výrobce doporučuje v technických údajích rychlost

otáčení pro volnoběh kolem 900 ot/min. Proto byl otáčkoměr podle obr. 7 doplněn o spínač, kterým lze do série s původními odpory  $R_4$  a  $R_5$  zapojit další dva odpory, opět jeden pevný a jeden proměnný. Spínač tyto odpory přemostuje při rozsahu 0 až 6000 ot/min, při prvním rozsahu (tj. 0 až 1000 ot/min) je spínač rozpojen.

Původní zapojení otáčkoměru však bylo doplněno ještě obvodem k indikaci malých rychlostí otáčení, a to z ryze praktických důvodů (jako novopecení šoféři zasedli za volant další členové rodiny). Začínající řidiči totiž někdy nedovedou odhadnout okamžik, v němž je třeba při jízdě do kopce přehadit na nižší rychlostní stupeň, aby byly zachovány optimální provozní podmínky („otáčky“) motoru. Aby nebylo nutno sledovat stále ručku otáčkoměru, byl přístroj doplněn optickým návěstím, signalizujícím zmenšení rychlosti otáčení motoru pod určitou mez.

Jak vyplývá ze zapojení na obr. 9, byl otáčkoměr doplněn o dva tranzistory a další pasivní součástky. Jako indikační prvek byla zvolena svítivá dioda (LED).

Tranzistor  $T_1$  je úbytkem napětí na diodě  $D_1$  udržován v zavlženém stavu a tím je

uzavřen i tranzistor  $T_2$ , takže svítivá dioda  $D_2$  svítí. Zvětšuje-li se na výstupu IO (vývod 5) záporné napětí při zvětšování rychlosti otáčení, tranzistory se otevírají. Proud protékající tranzistorem  $T_2$  zvětší úbytek napětí na kolektorovém odporu  $R_{14}$ , napětí na diodě  $D_2$  se zmenšuje a dioda zhasíná.

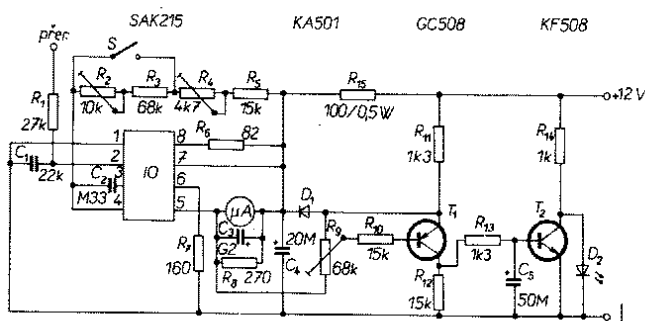
Kondenzátor  $C_3$  filtruje napětí na bázi tranzistoru  $T_2$ , aby dioda  $D_2$  při indikaci neblíkala. Práh sepnutí tranzistorů (zhasnutí LED) lze měnit nastavením odporového trimru  $R_9$ .

Na místě  $T_1$  byl použit germaniový tranzistor p-n-p (bližší neidentifikovatelný). Jak jsem si ověřil, lze na jeho místě použít prakticky libovolný tranzistor p-n-p. Z hlediska teplotní stability indikace by bylo nejvýhodnější použít jako  $T_1$  křemíkový tranzistor (např. KF517 nebo KSY18 apod.), což by si však patrně vyžádalo zapojit jako  $D_1$  dvě diody v sérii.

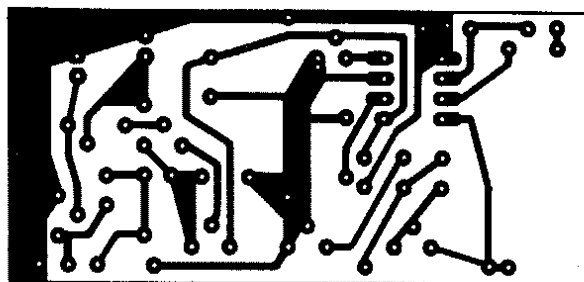
Jako  $T_2$  lze použít libovolný křemíkový tranzistor n-p-n, vyhoví např. typy KF506 až 508, KFY36 nebo KFY46 apod.

Použije-li se místo spínače S přepínač s více polohami, lze měřidlo otáčkoměru použít po ocejchování i jako voltmetr, indikující napětí palubní sítě apod.

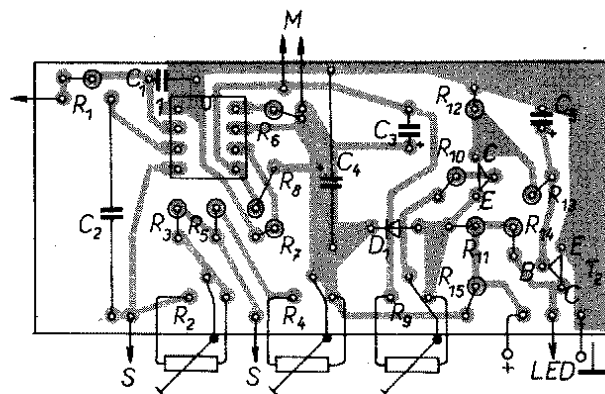
Otáčkoměr i s dodatkovými obvody byl zapojen na desce s plošnými spoji podle obr. 10. Všechny odpory podle rozpisky jsou poněkud předimenzovány pokud jde o jejich zatížení, pro náročný provoz do motorového vozidla je to však zárukou jejich spolehlivého provozu. Z tohoto hlediska lze místo TR 152 použít i typy TR 151 nebo TR 112, pouze odpor  $R_{15}$ , 100  $\Omega$ , musí být minimálně na zatížení 0,5 W. Jako odporové trimry je z důvodu stálosti a spolehlivosti vhodné použít typy s keramickým nosníkem odporové dráhy, vyhoví však i běžné typy do plošných spojů.



Obr. 9. Zapojení otáčkoměru se dvěma rozsahy a s indikací malých rychlostí otáčení se zahraničním integrovaným obvodem SAK215



Obr. 10. Deska s plošnými spoji otáčkoměru z obr. 9 a deska, osazená součástkami (M 217)



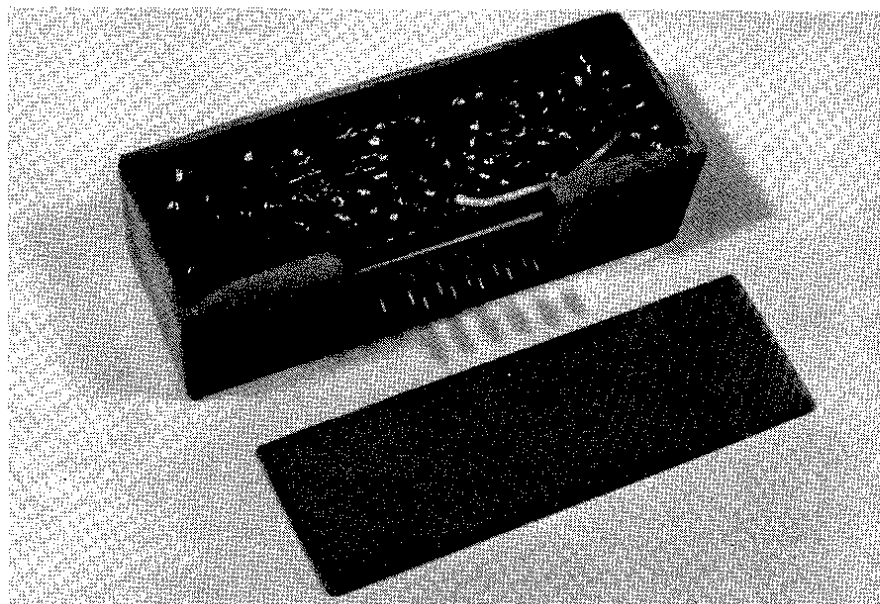
#### Seznam součástek

##### Odpory

$R_1$	27 k $\Omega$ , TR 151 (TR 152)
$R_2$	odporový trimr 10 k $\Omega$ , viz text
$R_3$	68 k $\Omega$ , TR 151 (TR 152)
$R_4$	odporový trimr 4,7 k $\Omega$ , viz text
$R_5$	15 k $\Omega$ , TR 151 (TR 152)
$R_6$	82 $\Omega$ , TR 152
$R_7$	160 $\Omega$ , TR 152
$R_8$	270 $\Omega$ , TR 151 (podle použitého měřidla)
$R_9$	odporový trimr 68 k $\Omega$ , viz text
$R_{10}$	15 k $\Omega$ , TR 151 (TR 152)
$R_{11}$	1,3 k $\Omega$ , TR 152
$R_{12}$	15 k $\Omega$ , TR 152 (TR 151)
$R_{13}$	1,3 k $\Omega$ , TR 152
$R_{14}$	1 k $\Omega$ , TR 152 (TR 151)
$R_{15}$	100 $\Omega$ , TR 153 (nebo jiný alespoň 0,5 W)

##### Kondenzátory

$C_1$	22 nF, keramický polštářek
$C_2$	0,33 $\mu$ F, TC 180
$C_3$	200 $\mu$ F, TE 002



Osazená deska s plošnými spoji podle obr. 10, připravená v pouzdře k montáži do palubní desky

C<sub>1</sub> 200 µF, TC 984  
C<sub>2</sub> 50 µF, TE 002 (TE 004)

#### Polovodičové prvky

IO integrovaný obvod SAK215 (ITT)  
T<sub>1</sub> tranzistor p-n-p (viz text)  
T<sub>2</sub> tranzistor n-p-n (KF506 až 8 apod., viz text)  
D<sub>1</sub> KA501 až 504  
D<sub>2</sub> LED (libovolný typ)

#### Měřidlo

µA starší typ o citlivosti 0,5 mA (0,95 V) pro plnou výchylku ručky

spínač S jednopólový nebo přepínač (viz text)  
deska s plošnými spoji M 217

### Otáčkoměr s diskretními prvky

Zapojení otáčkoměru s diskretními prvky využívá toho principu elektronického měření rychlosti otáčení, při němž se využívá setrvačnosti ručkového měřidla při měření proudových impulsů určitého konstantního tvaru s opakovacím kmitočtem, proporcionálním rychlosti otáčení.

Sled impulsů o kmitočtu, který je úměrný rychlosti otáčení, je v motorovém vozidle zpravidla napříkladem na kontaktech přerušovače jednotlivých impulsů na kontaktech přerušovače není však konstantní, závisí na nastavení a na rychlosti otáčení. Proto je třeba před tím, než projdou impulsy měřidlem, upravit jejich tvar. Ve velké většině otáčkoměrů s diskretními prvky se k tomuto účelu používá klopný obvod, v zapojení na obr. 11 je to monostabilní klopný obvod se dvěma tranzistory n-p-n.

V klidovém stavu je tranzistor T<sub>2</sub> otevřen. Při každém rozpojení kontaktu přerušovače se uvede do vodivého stavu i tranzistor T<sub>1</sub> a to kladným impulsem na bázi. Zapojení se přepne do metastabilního stavu. Měřidlo v kolektorovém obvodu tranzistoru T<sub>1</sub> ukáže výchylkou ručky střední proud tranzistorem T<sub>1</sub> při jeho otevření. Čím častěji přicházejí impulsy na bázi T<sub>1</sub> (tj. čím větší je rychlost otáčení), tím větší bude výchylka ručky měřidla. Údaj měřidla je nezávislý na tvaru budících impulsů a je úměrný rychlosti spínání kontaktu přerušovače (rychlosti otáčení motoru).

Doba, po níž je tranzistor T<sub>1</sub> ve vodivém stavu (doba jeho sepnutí) je asi 3,5 ms, což stačí ke spolehlivé činnosti, avšak vylučuje přitom ovlivňování činnosti tranzistoru vnějšími vlivy (k nimž lze počítat např. indukci rušivých impulsů při přeskoku jiskry na svíčke apod. do přívodů k otáčkoměru, které by mohlo uvést tranzistor T<sub>1</sub> do vodivého stavu i během jednoho pracovního cyklu vícekrát). Na druhé straně ovšem zvolená

doba přepnutí tranzistoru umožňuje měřit impulsy o opakovacím kmitočtu asi 7500 ot/min (pro čtyřdobý čtyřválec). To však v praxi bohatě vyhoví, neboť převážná většina motorových vozidel na našem trhu má maximální rychlost otáčení kolem 6000 ot/min.

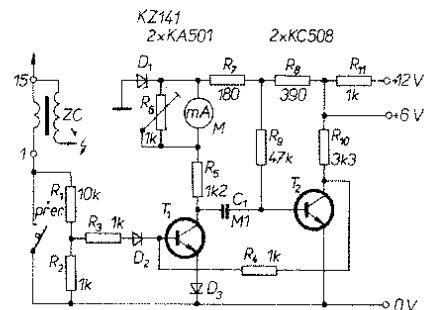
Aby byly údaje měřidla v co nejširším rozsahu nezávislé na teplotě okolí, je do emitorového přívodu tranzistoru T<sub>1</sub> zapojena dioda D<sub>3</sub>, která kompenzuje teplotní závislost prahového překlápěcího napětí tranzistoru T<sub>2</sub>. Bez této diody by se se zvyšující se teplotou snižovala mez přepnutí tranzistoru T<sub>2</sub> klopného obvodu a tím zkracovala vypínací doba tohoto tranzistoru. To by mělo za následek jinou výchylku ručky měřícího přístroje, než jaká by odpovídala měřené rychlosti otáčení.

Tímto způsobem kompenzovaná teplotní závislost přístroje umožnila zmenšit chybu údaje v závislosti na teplotě tak, že je pro teplotní rozdíl 50 °C menší než 1 %.

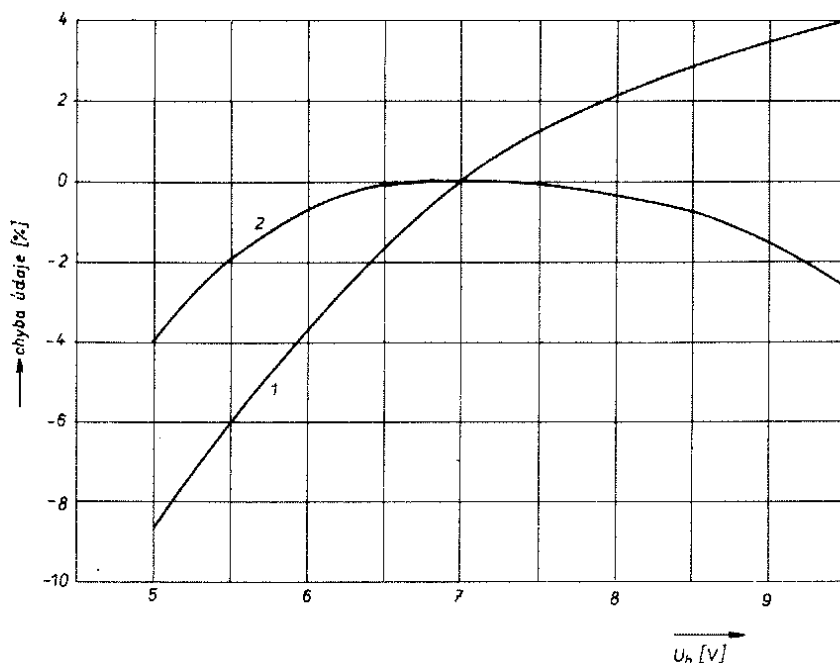
Při konstrukci otáčkoměrů je vždy zvláštní zřetel brán na nezávislost jejich údaje na napájecím napětí, neboť napětí palubní sítě při provozu značně kolísá v závislosti na stavu akumulátoru, nastavení a stavu regulátoru, počtu zapojených spotřebičů apod.

Aby byl údaj měřidla na napájecím napětí nezávislý, je třeba napájecí napětí pro otáčkoměr vhodně stabilizovat. V nejjednoduš-

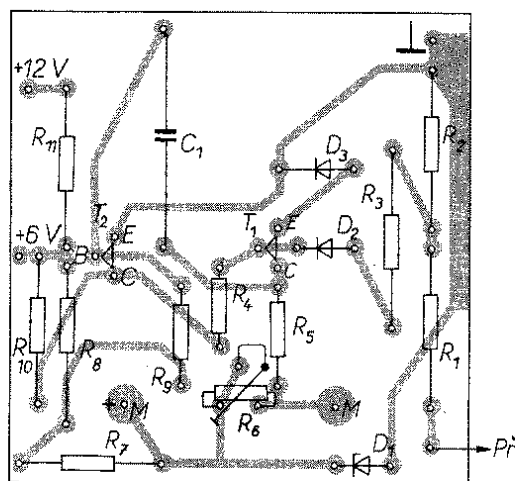
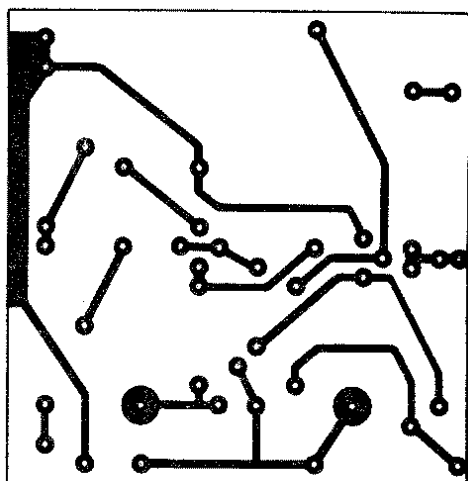
ším případě se to řeší tak, že se stabilizuje napájecí napětí pro celý otáčkoměr Zenerovou diodou. Při větších nárocích na přesnost měření rychlosti otáčení se však ukázal tento způsob stabilizace jako málo účinný, neboť Zenerovy diody s malým Zenerovým napětím mají relativně velký diferenciální odpor. Pro názornost je na obr. 12 závislost přesnosti údaje měřidla na napájecím napětí, použije-li se ke stabilizaci celkového napájecího napětí Zenerova dioda se Zenerovým napě-



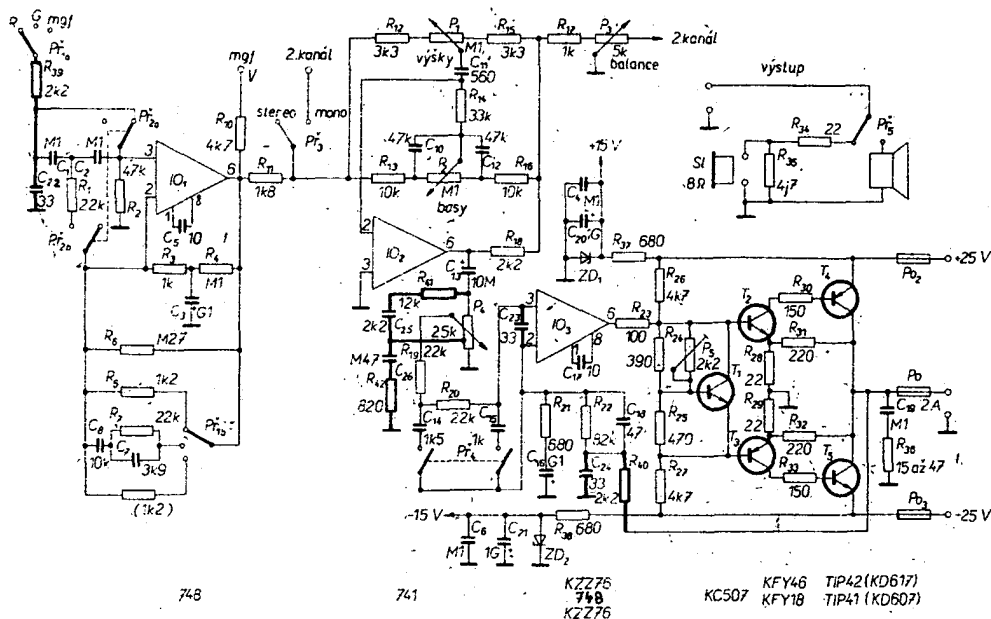
Obr. 11. Zapojení otáčkoměru s diskretními prvky. Otáčkoměr může být použit ve vozech s napětím palubní sítě 6 nebo 12 V, rozsah měření je 0 až 6000 ot/min



Obr. 12. Závislost chyby údaje měřidla na napájecím napětí. Křivka 1 odpovídá chybě při stabilizaci celkového napájecího napětí, křivka 2 při stabilizaci napětí pouze pro T<sub>1</sub> (obr. 11)



Obr. 13. Deska s plošnými spoji pro otáčkoměr z obr. 11 a deska, osazená součástkami (M 218)



Obr. 14. Upravené zapojení nf zesilovače z AR A12/76. Tučně zakreslené součásti byly do zapojení přidány na základě zkušeností z provozu. Zesilovač má zakresleny jen tři vstupy – jejich počet lze však libovolně rozšířit, je pak třeba jen vhodně zvolit odpory, přepínané Př<sub>1b</sub>.

tím kolem 4 V (křivka 1, graf byl změřen při napájecím napětí 5 až 9,5 V, které bylo přiváděno na spoj odporů  $R_8$  a  $R_{10}$ , tj. na přívod, určený pro napájecí napětí u motorových vozidel s napětím palubní sítě 6 V).

Jak se pokusy ukázalo, lze mnohem lepších výsledků dosáhnout stabilizováním napájecího napětí podle zapojení na obr. 11, tj. pouze pro tranzistor  $T_1$ . Tranzistor  $T_2$  se sice v tomto případě napájen napětím, kolísajícím v závislosti na kolísání napětí palubní sítě, díky stabilizaci napájecího napětí pro první tranzistor je však vliv většího napájecího napětí na proud měřidlem zcela nepatrný, současně se však i rychleji vybíjí kondenzátor  $C_1$  přes odpor 47 k $\Omega$  ( $R_9$ ), na jehož horním konci je nyní větší napětí. Protože kondenzátor  $C_1$  určuje spínací dobu tranzistoru  $T_1$ , bude mít popsáný jev za následek, že se bude se zvětšujícím se napájecím napětím spínací doba tranzistoru zkracovat. Údaj měřidla, který je proporcionální jednak kolektorovému proudu  $T_1$ , a jednak jeho spínací době, bude proto v určitém rozsahu do jisté míry nezávislý na napájecím napětí. Pro porovnání je na obr. 12 křivka 2, charakterizující nezávislost údaje přístroje na velikosti napájecího napětí pro tento druhý případ – stabilizaci napájecího napětí pouze prvního tranzistoru. Jak vysvitá z průběhu křivky, je vliv relativního přírůstku proudu při zvětšování napájecího napětí zprvu ještě větší než vliv zkracování spínací doby tranzistoru. Tento druhý činitel se však začne výrazně uplatňovat při větších napájecích napětích a výsledkem je chyba údaje měřidla menší než asi 0,5 % při napájecím napětí v rozsahu 6 až 8 V. Tato přesnost vynikne obzvláště ve srovnání s případem, kdy bylo stabilizováno napájecí napětí pro celý otáčkoměr – u něho je ve stejném rozsahu napájecího napětí chyba údaje větší než 5 %.

Pro vozy s palubním napětím 12 V, tj. pro napájecí napětí 11 až 17 V je údaj měřidla správný s tolerancí 0,5 %, a to v celém rozsahu měřených rychlostí otáčení.

Otáčkoměr byl zkonstruován na desce s plošnými spoji, která byla navržena k připevnění přímo pod šrouby vývodů měřidla. Měřidlo má již stupnici ocejchovanou od 0 do 6000 ot/min, takže po osazení desky součástkami a po jejím připojení (přisroubování) k měřidlu třeba podle kmitočtu vstupního signálu pouze nastavit odporový trimr  $R_8$ ,

aby údaj měřidla v ot/min odpovídal kmitočtu zkušebního signálu.

#### Seznam součástek

Odpory (vesměš TR 152)	
$R_1$	10 k $\Omega$
$R_2, R_3, R_4$	1 k $\Omega$
$R_5$	1,2 k $\Omega$
$R_6$	odporový trimr 1 k $\Omega$ , TP 011 (TP 110)
$R_7$	180 $\Omega$
$R_8$	390 $\Omega$
$R_9$	47 k $\Omega$
$R_{10}$	3,3 k $\Omega$
$R_{11}$	1 k $\Omega$
Kondenzátory	
$C_1$	0,1 $\mu$ F, TC 180, popř. TC 279
Polovodičové prvky	
$T_1, T_2$	KC507 (KC508, KC147-KC148, KS500)
$D_1, D_2$	KA501 (KA504)
$D_3$	Zenerova dioda 4,7 V, KZ141
Měřidlo	
mA	typ D 70 cn Metra, citlivost 1 mA
deska s plošnými spoji M 218	

#### Úpravy zesilovače TEXAN z AR A12/76

Jednou z neúspěšnějších konstrukcí posledních let, která byla uveřejněna v AR, je bezesporu zesilovač, jehož schéma bylo uveřejněno v AR A12/76 (deska s plošnými spoji v AR A1/77 a poznámky redakce ke stavbě v AR A2/77). Byl jsem též jedním z těch, kteří si zesilovač postavili a byl jsem s ním velmi spokojen.

Při stavbě zesilovače jsem realizoval již úpravy, popsané v poznámkách redakce ke stavbě. Během doby mi však začaly vadit dvě základní konstrukční „vady“ zesilovače – jednak to, že se při přepínání vstupů ozývaly (byl-li potenciometr hlasitosti nastaven na určitou, byť i malou hlasitost) z reproduktorů rázy, silné lupání, a jednak to, že díky kmitočtové závislosti sluchu bylo třeba při tichém poslechu nastavovat regulátory hloubek a výšek téměř na maximum, při silnějším poslechu pak znovu korekce příslušně upravovat, aby v reprodukci nebyly okrajové kmitočty příliš zdůrazněny.

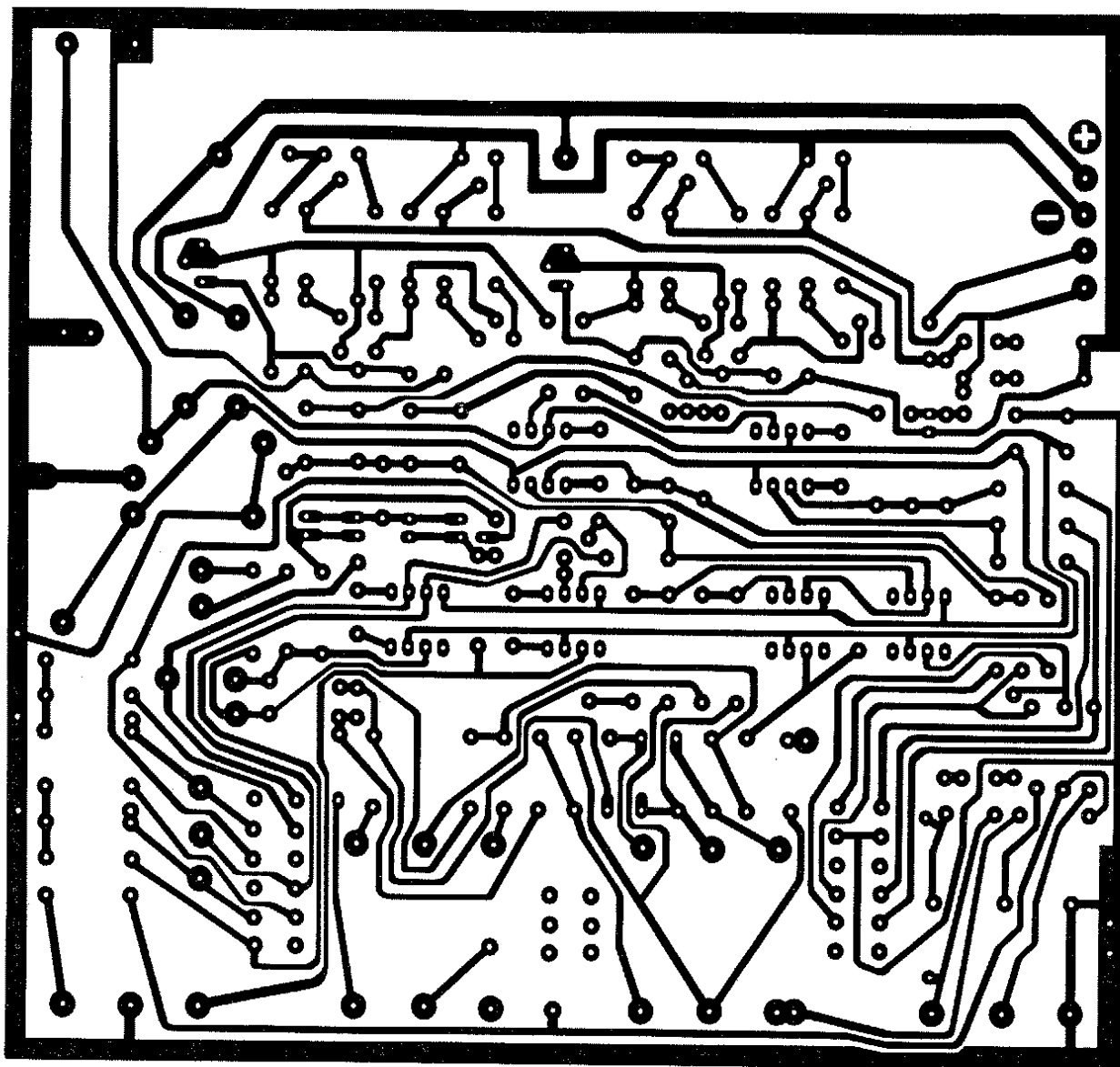
Zesilovač jsem proto upravil. První nedostatek, vznikající proto, že se při rozpojení

kontaktů přepínače vstupů na okamžik rozpojila větev zpětné vazby, omezující zesílení vstupního operačního zesilovače, takže byly zesíleny a přeneseny do koncového zesilovače všechny rušivé signály ze vstupu, se mi podařilo do značné míry odstranit tím, že jsem odpor  $R_8$  (součást korekčního členu RC pro magnetodynamickou vložku do přenosky) připojil napevno z běžce přepínače na společný bod, tj. na vývod 2 prvního operačního zesilovače (obráz. 14). Odpor je sice v tomto případě zapojen paralelně k předřadným odporům všech vstupů, ty jsou však 1,2 k $\Omega$ , takže výsledný odpor této kombinace, 1,194 k $\Omega$ , nijak charakter vstupů nezmění. Přitom je vhodné použít k přepínání vstupů takový přepínač, u něhož přechází při přepínání běžec z jednoho kontaktu na druhý tak, aby ještě než opustí jeden kontakt, byl již sepnut další kontakt, tedy tak, aby nebyl běžec při přepínání „ve vzduchu“. Tím lze rušivé rázy při přepínání zcela odstranit.

Pokud jde o druhý nedostatek, je zřejmé, že by pomohla fyziologická regulace hlasitosti. Lidský sluch má totiž základní nedostatek v tom, že se jeho relativní citlivost k signálům různých kmitočtů mění v závislosti na hlasitosti těchto signálů. V praxi to znamená, že při maximálních hlasitostech zvukových signálů vnímá ucho hlasitost signálů nízkých, středních i vysokých kmitočtů celkem rovnoměrně, zatímco při zmenšující se hlasitosti se zmenšuje i sluchový výjem relativní hlasitosti nízkých a nejvyšších tónů. V praxi to znamená, že se při malých hlasitostech reprodukce „zploštuje“, zdá se, jakoby v ní chyběly nízké a vysoké tóny.

Tento nedostatek lze odstranit relativně snadno, použije-li se jako potenciometr k regulaci hlasitosti potenciometr s odbočkou na odporové dráze, k níž se připojí doplňkový elektrický obvod, který při zmenšování hlasitosti regulátorem (tedy v dolní části dráhy jeho běžce, vztaženo k zemi) zdůrazní oblasti nízkých a nejvyšších kmitočtů přenášeného signálu tak, aby byla popsána závislost ucha kompenzována.

Celá věc má však jeden háček – při řešení korekčních obvodů regulátorů hlasitosti musí



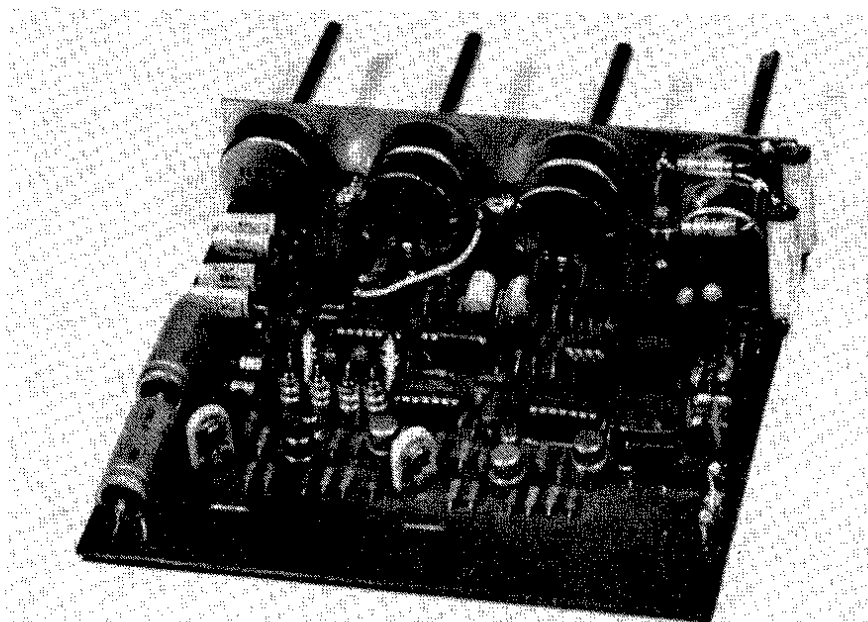
Obr. 15. Deska s plošnými spoji M 219 zesilovače z obr. 14. Prázdné díry v plošných spojích jsou určeny pro připojení součástek fyziologického regulátoru hlasitosti (jde o díry po obou stranách  $P_1$ )

být v tomto případě dodržena podmínka optimálního napětí signálu. Kdyby bylo totiž signálové napětí příliš velké, pak bychom museli nastavovat potenciometr hlasitosti tak, že by byl jeho běžec na počátku odporové dráhy, „fyziologie“ by pracovala a tím by se nepříznivě ovlivňoval kmitočtový průběh zesilovače – zdůrazňovaly by se nežádoucím způsobem signály nízkých i nejvyšších kmitočtů. Kdyby naopak bylo signálové napětí příliš malé, pak bychom museli nastavovat běžec potenciometru na horní konec odporové dráhy, čímž by se fyziologická regulace přestávala uplatňovat.

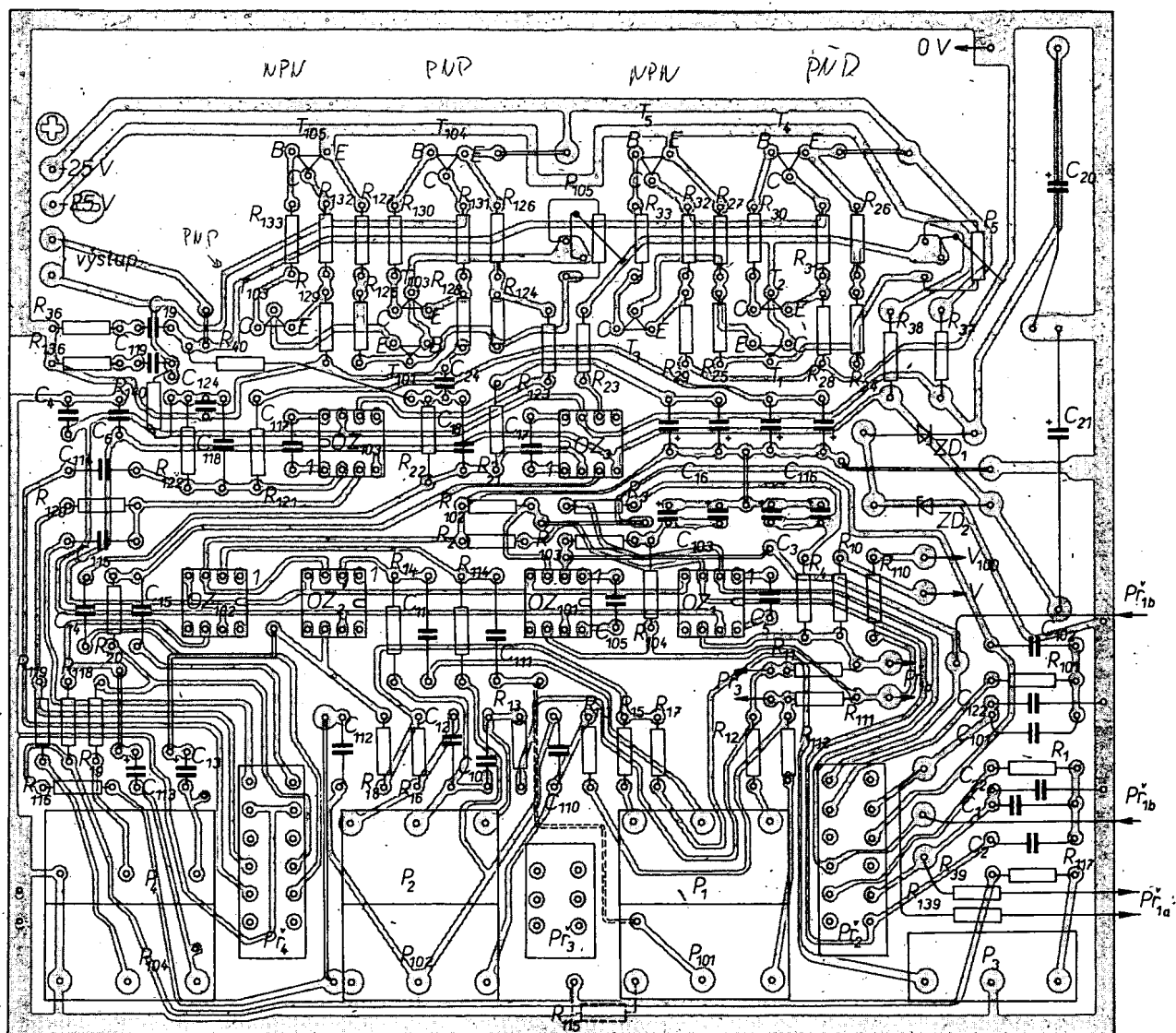
Proto je třeba podle konkrétních zdrojů signálu upravit při použití fyziologické regulace zesílení operačního zesilovače tak, aby pro výsledný vjem stejné hlasitosti reprodukce byl při jednotlivých zdrojích signálu běžec regulátor hlasitosti přibližně ve stejné poloze. Vzhledem k tomu, že výstupní napětí kanálu pro magnetodynamickou přenosku nemůžeme jednoduše ovlivňovat, přizpůsobíme výstupní napětí ostatních zdrojů signálu podle signálu z vložky přenosky. V praxi to znamená, že podle výstupního napětí tuneru (popř. mikrofonu, kazetového magnetofonu apod.) upravíme odpor zpětné vazby, zařazovaný přepínačem  $P_{1b}$ .

Proti původnímu zapojení je tedy jako potenciometr hlasitosti v upraveném zapojení použit tandemový potenciometr 25 k $\Omega$

s odbočkou, na níž jsou připojeny  $R_{41}$ ,  $C_{25}$ ,  $C_{26}$  a  $R_{42}$ . Vzhledem k tomu, že by bylo složité upravovat celou desku s plošnými



Osazená deska M219 upravené verze původního zapojení zesilovače



Deska M219, osazená součástkami

spoji, jsou součástky fyziologické regulace zapojeny tak, jak je zřejmé z fotografie – v desce s plošnými spoji (obr. 15) jsou pro ně příslušné díry po stranách potenciometru hlasitosti  $P_4$ .

K mechanickému uspořádání ještě několik slov – dodatkové odpory filtrů proti vř. rušení (a příslušné kondenzátory) jsou zapojeny v desce s plošnými spoji kromě odporů  $R_{39}$  a  $R_{139}$  (součástky druhého kanálu jsou značeny stejným číslem jako součástky prvního kanálu, jejich pořadové číslo je však o 100 větší), které jsou na přepínači  $P_{1a}$ .

Protože je vhodné spojit všechny kostry potenciometrů a spoj připojit na zem, byla k jejich propojení použita „kulisa“ z kuprexitu, která současně slouží ke zlepšení mechanického upevnění potenciometrů, především

pak potenciometru vyvážení kanálů  $P_3$ . Kulisa je zřejmá z fotografie osazené desky s plošnými spoji.

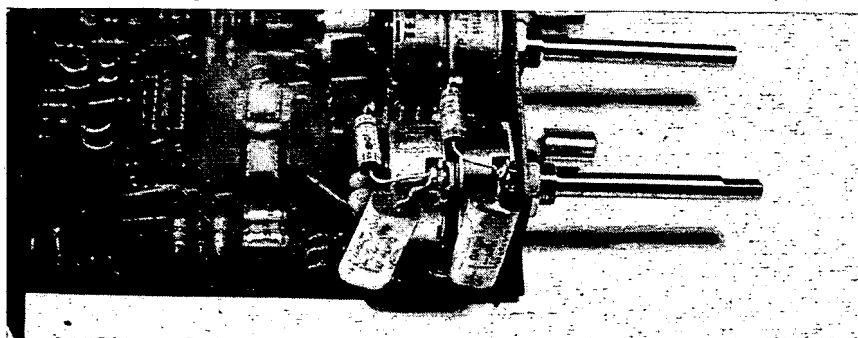
Protože byl k přepínání vstupů použit otočný přepínač (a nikoli jako v původním provedení tlačítková souprava), bylo do středu mezi potenciometry hloubek a výšek umístěno tlačítko mono-stereo. Díry pro vývody tlačítka jsou na desce s plošnými spoji, přívody k tlačítku jsou vedeny dráty z bodů na desce s plošnými spoji, označenými  $P_{13}$  a šipkami.

Kdo by chtěl upravit podle zapojení na obr. 14 již hotový zesilovač, může se snadno orientovat ve schématu, kde jsou všechny přidávané součástky zakresleny tučněji.

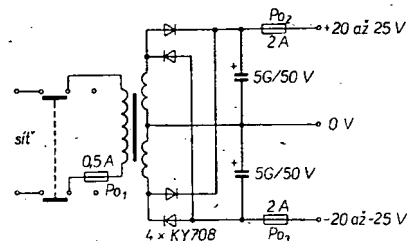
Jen pro úplnost je na obr. 16 síťový zdroj pro zesilovač. Pokud jde o síťový transformá-

tor, stačí typ se sekundárním napětím v mezích 14 až 18 V pro proud asi 1,5 A – výstupní výkon zesilovače bude pak asi kolem 20 W.

Ještě několik slov k součástkám. Doposud bylo největším problémem sehnat operační zesilovače a doplňkovou dvojici koncových tranzistorů. V současné době má prodejna TESLA v Pardubicích na skladě všechny polovodičové součástky, potřebné ke stavbě. Jako koncová dvojice tranzistorů byla použita dvojice KD606 + KD616, která se velmi osvědčila, stejně jako operační zesilovače tuzemské výroby. Kromě toho všem zájemcům o stavbu výšla vstříc prodejna TESLA v Pardubicích tím, že pro ně připravila jednak kompletní sadu součástek podle „Seznamu součástek“, který je uveden na závěr tohoto



Umístění součástek obvodu pro fyziologickou regulaci hlasitosti u potenciometru hlasitosti



Obr. 16: Zapojení zdroje pro zesilovač z obr. 14

článku, a jednak kompletní sadu polovodičových součástek k osazení zesilovače.

Ke konstrukci zesilovače platí ovšem vše, co bylo již uveřejněno v AR A12/76, A1/77 a A2/77. Protože starší čísla AR však nejsou obvykle k dispozici, a protože zesilovač může při pečlivé práci postavit i méně zkušený zájemce, zopakují stručně alespoň postup při ožiování.

### Ožiování a seřizování

Pro ožiování a seřizování je vhodné, máme-li na pracovním stole (pod izolační podložkou) kus plechu, který připojíme na zem zesilovače (zabráníme tak indukci brumu do nestíněných obvodů zesilovače). Výborně se osvědčuje např. i větší kus jednostranně plátovaného kuprextitu, položený měděnou fólií dolů. Sestavený zesilovač propojíme s napájecím zdrojem (zdroj odpojen od sítě, filtrační elektrolytické kondenzátory vybity). Do jedné z větví napájecího napětí zapojíme miliampérmetr; trimr  $P_3$  je nastaven tak, aby měl minimální odpor. Provizorně připojíme zpětnovazební odpory vstupního předzesilovače, odpovídající připojení tuneru (odpory 1,2 kΩ). Výstupy zesilovače zatížíme odpory asi 10 Ω. Do napájecích větví vložíme pojistky nejprve asi 250 mA (0,25 A), regulátor hlasitosti nastavíme na minimum, ostatní potenciometry dáme asi do střední polohy. Máme-li možnost, připojíme paralelně k zatěžovacím odporům osciloskop. Vstupy zesilovače zůstanou „otevřeny“.

Připojíme napájecí zdroj k síti. Kontrolujeme odběr proudu – měl by být asi 10 až 30 mA. Jediný nastavovací prvek – trimr  $P_3$  – pak nastavíme tak, aby nejen na 1 kHz, ale i na 10 kHz bylo přechodové zkreslení nezatelné. Bez osciloskopu většinou stačí nastavit klidový proud koncových tranzistorů asi na 20 mA a – zesilovač je nastaven. Změříme stejnosměrné napětí na výstupech pro připojení reproduktorů, mělo by být maximálně 10, spíše však 1 až 3 mV. Protáčením ovládacích prvků prověříme stabilitu za všech podmínek provozu.

Takto oživený zesilovač můžeme vestavět do skříně a po propojení všech obvodů a přepínačů seřadit definitivně: nastavíme klidový proud koncových zesilovačů na velikost, při níž zmizí přechodové zkreslení (trimrem  $P_3$ ).

Při jakékoli manipulaci se zesilovačem při uvádění do chodu a při nastavování je třeba mít vždy připojenou zátěž a pro jistotu navíc vždy po odpojení zesilovače od napájecího napětí vybijeme elektrolytické kondenzátory 5000 μF ve zdroji – v opačném případě by při opětovném zapnutí mohly proniknout do zesilovače napěťové špičky, které by mohly poškodit tranzistory, popř. i OZ.

K indikaci zapnutí přijímače jsem ve vzorku použil dvě diody LED, napájené z větví napájecího napětí – pak je i optická kontrola neporušenosti pojistek za usměrňovačem. Místo svítivých diod lze použít i telefonní žárovky na 24 V/50 mA, především je-li dostatečně dimenzován síťový transformátor.

A nakonec ještě jedna poznámka. Dělič pro připojení sluchátek je navržen tak, aby hlasitost reprodukce z reproduktorových soustav odpovídala hlasitosti reprodukce ze sluchátek. Je ovšem třeba použít sluchátka s malou impedancí, 4 až 16 Ω.

### Seznam součástek

Odpor	
$R_1$	22 kΩ, TR 151, 2 ks
$R_2$	47 kΩ, TR 151, 2 ks

$R_3$	1 kΩ, TR 151, 2 ks
$R_4$	0,1 MΩ, TR 151, 2 ks
$R_5$	1,2 kΩ, TR 151, 2 ks
$R_6$	0,27 MΩ, TR 151, 2 ks, 5 %
$R_7$	22 kΩ, TR 151, 2 ks, 5 %
$R_8$	–
$R_9$	–
$R_{10}$	4,7 kΩ, TR 151, 2 ks
$R_{11}$	1,8 kΩ, TR 151, 2 ks
$R_{12}$	3,3 kΩ, TR 151, 2 ks
$R_{13}$	10 kΩ, TR 151, 2 ks
$R_{14}$	33 kΩ, TR 151, 2 ks
$R_{15}$	3,3 kΩ, TR 151, 2 ks
$R_{16}$	10 kΩ, TR 151, 2 ks
$R_{17}$	1 kΩ, TR 151, 2 ks
$R_{18}$	2,2 kΩ, TR 151, 2 ks
$R_{19}$	22 kΩ, TR 151, 2 ks
$R_{20}$	22 kΩ, TR 151, 2 ks
$R_{21}$	680 Ω, TR 151, 2 ks
$R_{22}$	82 kΩ, TR 151, 2 ks
$R_{23}$	100 Ω, TR 151, 2 ks
$R_{24}$	390 Ω, TR 151, 2 ks
$R_{25}$	470 Ω, TR 151, 2 ks
$R_{26}, R_{27}$	4,7 kΩ, TR 151, 4 ks
$R_{28}, R_{29}$	22 Ω, TR 152, 4 ks
$R_{30}$	150 Ω, TR 151, 2 ks
$R_{31}, R_{32}$	220 Ω, TR 151, 4 ks
$R_{33}$	150 Ω, TR 151, 2 ks
$R_{34}$	22 Ω, TR 510, 2 ks
$R_{35}$	4,7 Ω, TR 144, 2 ks
$R_{36}$	15 Ω, TR 152, 2 ks
$R_{37}, R_{38}$	680 Ω, TR 152, 2 ks
$R_{39}, R_{40}$	2,2 kΩ, TR 151, 4 ks
$R_{41}$	12 kΩ, TR 151, 2 ks
$R_{42}$	820 Ω, TR 151, 2 ks

### Kondenzátory

$C_1, C_2, C_4, C_6$	0,1 μF, TK 782 nebo 3, 6 ks
$C_3$	2 × 47 μF, TE 121, nebo 2 × 50 μF, TE 156, 4 ks
$C_5$	10 pF, TK 650, 2 ks
$C_7$	3,9 nF, TC 235, 2 ks, 5 %
$C_8$	10 nF, TC 235, 2 ks, 5 %
$C_{10}, C_{12}$	47 nF, TK 783 nebo TC 235, 5 %, 4 ks
$C_{11}$	560 pF, TK 754, 2 ks
$C_{13}$	10 μF, TE 152, 2 ks
$C_{14}$	1,5 nF, styroflex, 2 ks
$C_{15}$	1 nF, styroflex, 2 ks
$C_{16}$	2 × 47 μF, TE 121, nebo 2 × 50 μF, TE 156, 4 ks
$C_{17}$	10 pF, TK 650, 2 ks
$C_{18}$	47 pF, TK 754, 2 ks
$C_{19}$	0,1 μF, TK 783, 2 ks
$C_{20}, C_{21}$	1000 μF, TE 984, 2 ks
$C_{22}, C_{23}, C_{24}$	33 pF, TK 650, 6 ks
$C_{25}$	2,2 nF, TC 237, 2 ks, 5 %
$C_{26}$	0,47 μF, TC 180, 2 ks, 5 %

### Potenciometry

$P_1, P_2$	2 × 0,1 MΩ, lin., TP 283, 2 ks
$P_3$	5 kΩ, lin., TP 280, 1 ks
$P_4$	2 × 25 kΩ, TP 289/Y, 1 ks
$P_5$	2,2 kΩ, odporový trimr, TP 011, 2 ks

### Polovodičové prvky

$IO_1, IO_3$	MAA748, 4 ks
$IO_2$	MAA741, 2 ks
$T_1$	KC507, 2 ks
$T_2$	KFY46, 2 ks
$T_3$	KFY18, 2 ks
$T_4$	KD617, 2 ks (KD616)
$T_5$	KD607, 2 ks (KD606)
$ZD_1, ZD_2$	KZZ76, 2 ks

### Přepínače

$Pf_2, Pf_4$	Isostat 4 × 2 polohy, s aretací, 2 ks
$Pf_1$	otočný přepínač 4 × 3 polohy, 1 ks
$Pf_3$	Isostat, 2 × 2 polohy, 1 ks
$Pf_5$	Isostat, 4 × 2 polohy, 1 ks

síťové tlačítko Isostat nebo páčkový síťový spínač pojistková pouzdra 5 ks  
síťový transformátor 2 × 16 V až 18 V, 1 až 2 A  
elektrolytické kondenzátory 5000 μF, TC 937a, 2 ks  
diody KY708, 4 ks  
pětikolíkové konektorové zásuvky 3 ks  
tříkolíkové konektorové zásuvky 1 ks (pro sluchátka)  
reproduktorové konektorové zásuvky 2 ks  
deska s plošnými spoji M219

### Postup kontroly průběhu funkce fyziologického regulátoru hlasitosti

Na vstup zesilovače připojíme tónový generátor, na výstup pak nízkofrekvenční mili-

voltmetr. Na tónovém generátoru nastavíme napětí asi 7 mV při kmitočtu 1 kHz. Regulátor hlasitosti nastavíme naplna a přečteme napětí, které nám ukáže milivoltmetr připojený na výstupu. Připomínáme, že v tomto případě není nutná náhradní zátěž, protože vzhledem k zcela zanedbatelnému vnitřnímu odporu zesilovače se výstupní napětí se zátěží a bez zátěže prakticky nezmění.

Napětí přečtené na milivoltmetru budeme považovat za výstupní úroveň 0 dB a k této úrovni budeme vztahovat všechna další na výstupu zjištěná napětí.

Na tónovém generátoru postupně nastavíme různé kmitočty signálu, aniž bychom však nadále měnili jeho výstupní napětí. Budou to kmitočty 50, 100, 200, 500, 1000 a 10 000 Hz. Pro signál každého kmitočtu přečteme napětí na výstupu zesilovače a odchylky vyjádříme v decibelech.

Pak při signálu o kmitočtu 1 kHz zmenšíme výstupní napětí zesilovače o 10 dB pootočením regulátoru hlasitosti. Připomínáme, že napětí tónového generátoru musí zůstat nezměněno. Znovu nastavujeme postupně řadu kmitočtů a kontrolujeme výstupní napětí zesilovače. Tak postupujeme po skocích – 10 dB a naměřené výsledky zkontrolujeme s následující tabulkou podle měření na vzorku zesilovače.

	50 Hz	100 Hz	200 Hz	500 Hz	1000 Hz	10 000 Hz
0	0	0	0	0	0	0
-9	-10	-10	-10,5	-10	-8	-
-16,5	-18	-19	-20	-20	-16	-
-21	-23	-26,5	-30	-30	-20,5	-
-31	-33	-36	-40	-40	-30,5	-
-41	-43	-46,5	-50	-50	-40	-

Pokud by se naměřené kmitočtové průběhy podstatněji lišily, pak by bylo vhodné překontrolovat součástky v obvodu fyziologické regulace. Autor si je plně vědom, že zdůraznění signálů nízkých kmitočtů při větším zeslabení hlasitosti reprodukce není takové, jaké by vyžadovaly příslušné křivky subjektivního vnímání. Na našem trhu se však nevyskytuje potenciometr se dvěma odbočkami a tak i dosažený průběh můžeme považovat za přijatelné kompromisní řešení, které se již uspokojivě projeví při reprodukci.

## OVĚŘENO V REDAKCI

V redakci jsme tentokrát ověřili kromě úprav zesilovače TEXAN všechny popisované konstrukce, s tuzemskými i zahraničními součástkami.

K předzesilovači pro magnetickou vložku do přenosky nemáme žádné připomínky, stejně jako ke všem typům otáčkoměrů. Pokud jde o otáčkoměr s diskretními prvky, který je jako stavebnice dodáván prodejnou Radioamatér v Praze (viz str. 120), upozorňujeme pouze, že nepracuje ve spojení s kondenzátorovým zapalováním (tyristorovým zapalováním). Při zkouškách vzorků se také stalo, že zřejmě podle tolerance použitých součástek bylo nutno u jednoho ze vzorků změnit odpor  $R_2$ , 1 kΩ, ve vstupním děliči za menší, bezpečně vyhověl odpor 470 Ω, neboť u tohoto otáčkoměru nebyla indikace rychlosti otáčení nad 4000 ot/min jednoznačná, ručka měřidla kmitala a otáčkoměr ukazoval všeobecně větší rychlost otáčení, než jaká byla ve skutečnosti. Po zmenšení odporu je vše v pořádku.

Pokud jde o nastavování otáčkoměru s diskretními prvky, stačí přivést napětí síťového kmitočtu (asi 10 až 15 V) do středu vstupního děliče a nastavit odporový trimr tak, aby ručka otáčkoměru ukazovala 1500 ot/min. Linearita stupnice je velmi uspokojivá, takže otáčkoměr stačí ocejchovat pro jediný kmitočet (jednu rychlost otáčení).



# Vybrané rádioamatérom

Vám, ktorí si chcete prehĺbiť vedomosti oblasti rádiotechniky, televízie, elektroniky a oznamovacej techniky, sme pripravili malý výber kníh. Upozorňujeme, že knihy vyjdú do konca tohto a v budúcom roku a objednávateľom ich budeme posilať postupne, ako budú vychádzať. Uvedené ceny sú približné.

Svoje požiadavky posielajte na adresu:  
SLOVENSKÁ KNIHA, n. p., ODBYT, 010 91 ŽILINA, Rajecká cesta 7

ednávam(e)	Plán. cena Kčs	KNIHY, KTORÉ MÔŽEME ZASLAŤ OBRATOM:
výtl. Arendáš–Ručka: <b>Nabíječe a nabíjení.</b> (Vlastnosti akumulátorov, ich meranie, kontrola, opravy a údržba, návody na stavbu nabíjačov akumulátorov)	... 16,-	... výtl. Aisberg: <b>Farebná televízia? Nič jednoduchšie!</b> (Súčasný stav farebnej televízie, najmä tri základné normy: NTC – americká, PAL – nemecká, SECAM – francúzska.) ... 18,-
výtl. Český: <b>Stavba malé společné antény.</b> (Návody a pokyny pre vlastnú výrobu a montáž malej spoločnej antény, vrátane hlavných častí rozvodov, ako sú zlučovače, odbočovače, predzosilovače apod.)	... 15,-	... výtl. Dvořáček: <b>Kurs radiotechniky</b> (Základné vlastnosti rádiotechnických súčiastok a obvodov, návrhy elektronických a polovodičových prístrojov.) ... 46,-
výtl. Jurkovič–Zadl: <b>Průručka nf obvodové techniky.</b> (Súbor elektrotechnických vzorcov, pasívnych a aktívnych súčiastok, rozbor základných obvodov a zariadení nf techniky – praktické údaje, spôsob návrhu nf zariadení)	... 36,-	... výtl. Fortušenko: <b>Družicové spoje II.</b> (Základy technického projektovania systému družicových spojení, organizačnotechnické princípy výstavby sústav.) ... 28,-
výtl. Krejčí–Krejčí: <b>Elektrické měřící přístroje.</b> (Stručný prehľad, princíp funkcie, vhodnosť použitia a spôsob zachádzania a údržby)	... 26,-	... výtl. Fortušenko: <b>Družicové spoje I</b> (Základy technického projektovania systému družicových spojov.) ... 27,-
výtl. Kroupa–Lab–Šimeček: <b>Zesilovače T 74/78</b> (Stavba zaujímavých a kvalitných modulóvo koncipovaných elektroakustických zariadení a prístrojov, princíp, obsluha, optimálne využitie.)	... 20,-	... výtl. Jezierski: <b>Transformátory</b> (Zhrňuje základné teoretické poznatky účinnosti transformátorov, ich konštrukciu a javy, ktoré v nich prebiehajú.) ... 86,-
výtl. Kubát: <b>Výkonová polovodičová technika</b> (Výklad fyzikálnych základov, funkcií, technológie a konštrukcie silnoprúdových polovodičových súčiastok, prehľad základných výkonových obvodov.)	... 26,-	... výtl. Mihálka: <b>Moderné polovodičové součástky</b> (Polovodičové súčiastky, ich fyzikálne funkcie, závislosti ich elektrických veličín, použitie, praktické zapojenia.) ... 36,-
výtl. Kubát: <b>Zvukař – amatér</b> (Informácie a poznatky dôležité k dosiahnutiu najlepších výsledkov pri zázname a reprodukcii zvuku, návody k stavbe niektorých doplnkov pre elektroakustickú prax.)	... 28,-	... výtl. <b>Rádiotechnická příručka 1.</b> (Najnovšie zapojenia základných prvkov – elektróniek a tranzistorov v oblasti vysokofrekvenčnej rádiotechniky.) ... 29,-
výtl. Moerder–Henke: <b>Praktické výpočty v tranzistorové technice</b> (Kniha vysvetľuje princípy jednoduchých polovodičových obvodov, pokyny pre samostatný návrh základných elektrotechnických obvodov.)	... 17,-	... výtl. <b>Rádiotechnická příručka 2.</b> (Poznatky o vývoji tranzistorových zariadení z oblasti oznamovacej techniky, elektroniky a elektroakustiky.) ... 29,-
výtl. Möschwitzer: <b>Polovodičová elektronika</b> (Systematické usporiadanie najdôležitejších faktov a súvislostí polovodičovej techniky, tabuľky, obrázky, charakteristiky polovodičových prvkov a integrovaných obvodov.)	... 31,-	... výtl. <b>Rádiotechnická příručka 3.</b> (Stručné teoretické úvahy a vzorce, praktické poznatky z oblasti polovodičovej techniky.) ... 26,-
výtl. Petrov: <b>Elektrické stroje I – Transformátory</b> (Trojdielna kniha sov. autora je súborným dielom a teórii všetkých elektrických strojov podľa posledného stavu. Preklad je upravený na čs. pomery. Tematikou I. dielu sú transformátory, II. – všeobecné otázky teórie striedavých strojov, III. – teória jednosmerných strojov, II. a III. diel vyjdú neskôr.)	... 39,-	... výtl. <b>Rádiotechnická příručka 4.</b> (Obsahuje údaje o princípoch farebného videnia; spôsoby rozkladania a skladania farebných signálov.) ... 26,-
výtl. Štöfa: <b>Otázky a odpovědi z elektrotechnických materiálů</b> (Problematika elektrotechnických materiálov, spracovaná moderným spôsobom, otázky o vodivých materiáloch, polovodičoch, izolantoch apod.)	... 15,-	... výtl. <b>Rádiotechnická příručka 5.</b> (Obsahuje vyskúšané zapojenia z elektrotechniky, rádiotechniky a elektroakustiky.) ... 29,-
výtl. Tříška: <b>Zkoušky a jednoduchá měření v praxi elektromotora</b> (Prehľad o skúšackách a meracích prístrojoch, návody na zhotovovanie jednoduchých skúšacích a prípravkov uľahčujúcich meranie v prevádzke.)	... 18,-	... výtl. <b>Sčítací technika – Oborové encyklopédie SNTL</b> (V 3600 heslách a 1700 odkazoch preberá jednotlivé oblasti oznamovacej techniky, vykladá fyzikálne javy, na ktorých je založená moderná oznamovacia technika.) ... 98,-
výtl. Wojciechowsky: <b>Dířkové ovládání elektrických modelů</b> (Prehľad ovládacích modelov áut, lodí a systémov generátorov riadiacich signálov, antén, zosilovačov zdrojov, prijímačov, vysielateľov, zoznam výrobcov.)	... 34,-	

Vyznačené knihy pošlite dobierkou na adresu:

Meno a priezvisko: .....

Bydlisko: .....

PSČ a pošta: .....

Okres: .....

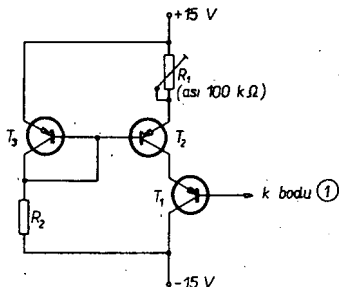
Dátum: .....

Podpis: .....



# Dodatek ke konstrukci voltohmmetru z AR B6/77

V AR B6/77 byla uveřejněna konstrukce měřicího přístroje. V návodu ke stavbě a ožiování chybí informace o kompenzaci vstupního proudu neinvertujícího vstupu OZ<sub>1</sub>. Jako nejvhodnější bylo při konstrukci přístroje shledáno zapojení, použité již dříve v zapojení číslicového multimetru DMM1000. Zapojení kompenzačního obvodu je na obrázku.



Nejvhodnější tranzistory k jeho osazení jsou BC178, které nabízí prodejna TESLA v Pardubicích. Jejich předností jsou nejen nižší cena oproti např. KF517, KFY16 nebo KFY18, ale i větší zesilovací činitel při malých prouděch, což je důležité především u T<sub>1</sub>. Protože obvody kompenzace jsem řešil v přístroji až nakonec, není pro ně místo na desce s plošnými spoji, je je třeba zapojit improvizovaně, např. na volné kontakty přepínačů předřazeného děliče.

Vstupní proud se kompenzuje seřízením R<sub>1</sub>. Přístroj je přepnut na nejcitlivější rozsah, na vstupních svorkách je připojen odpor 1 až 10 MΩ. Odpor R<sub>1</sub>, potřebný k nastavení nulové výchylky ručky měřidla, bude záviset

na velikosti vstupních proudů a na zesilovacím činiteli T<sub>1</sub>. Aby bylo možno nastavit kompenzaci dostatečně jemně, je vhodné rozdělit R<sub>1</sub> na pevný odpor a odporový trimr.

Podrobnější informace o činnosti obvodu pro kompenzaci vstupního proudu operačních zesilovačů jsou v [1] na str. 172.

Autorem se omlouvá za opomenutí, které mohlo přivodit nesnáze při konstrukci přístroje především méně zkušeným konstruktérům. Bylo způsobeno tím, že, jak již uvedl, řešil kompenzaci až po dohotovení celého přístroje.

[1] AR B5/76

## POZOR!

V rámci socialistických závazků a spolupráce s redakcí AR připravily dvě prodejny sady součástek ke konstrukci zařízení, popisovaných v tomto čísle AR pro konstruktéry.

**Prodejna TESLA, Pardubice, Palackého 580, PSČ 530 00**, připravila jednak stavebnici předzesilovače pro magnetickou přenosku včetně desky s plošnými spoji (cena přibližně 200 Kčs) a jednak stavebnici zesilovače Texan. Stavebnice zesilovače Texan se dodává kompletní podle „Seznamu součástek“, tj. včetně síťového transformátoru, všech polovodičových součástek apod. Cena celého kompletu včetně desky s plošnými spoji je asi 3390,- Kčs. Kromě toho připravila prodejna TESLA sadu polovodičových prvků k osazení ze-

silovače, cena sady s polovodičovými prvky jakosti A je 2378,- Kčs, jakosti B (k osazení zcela vyhovuje) 1474,- Kčs. Jen pro úplnost uvádíme, že jako koncový pár tranzistorů budou dodávány tuzemské typy KD606 a KD616.

Uvedené stavebnice lze zakoupit přímo v prodejně nebo objednat na dobírku.

Pražská prodejna **Radioamatér v Žitné ulici 7, Praha 1**, připravila stavebnici otáčkoměru s diskrétními prvky. Součástí stavebnice je i měřidlo Metra, použité ke konstrukci autorem tohoto čísla AR B. Cena stavebnice včetně desky s plošnými spoji je asi 350,- Kčs. I v této prodejně lze stavebnici zakoupit přímo, nebo objednat na dobírku.

**mimořádná  
NABÍDKA**

**mimořádná  
NABÍDKA**

**polarizovaných relé  
pro výrobu  
elektronických  
zařízení**

HL 100 11, 15, 16, 18, 21, 26, 35, 39, 41

HL 110 01/1, 03/1, 04/1

VC-121 až 127 Kčs.

Výrobce:  
VEB  
ELEKTRO-SCHALT-  
GERÄTE AUERBACH,  
NDR

**Během roku  
můžeme dodat  
celý sortiment  
dalších  
dovážených  
typů:**

HL 100 02, 03, 04, 05, 06, 07 ALU,  
08, 09, 10, 11, 13, 15, 16,  
18, 20, 23, 24, 25, 29, 30, 31,  
33, 34, 38, 39, 41, 43, 44, 45,  
51, 52, 54

HL 110 01/1  
RLS 0373 002 = 10165  
HL 110 03/1, 04/1

**Bližší informace podá  
a objednávky vyřizuje**

**TESLA**

Obchodní podnik

Oblastní středisko služeb

Umanského 141

688 19 UHERSKÝ BROD